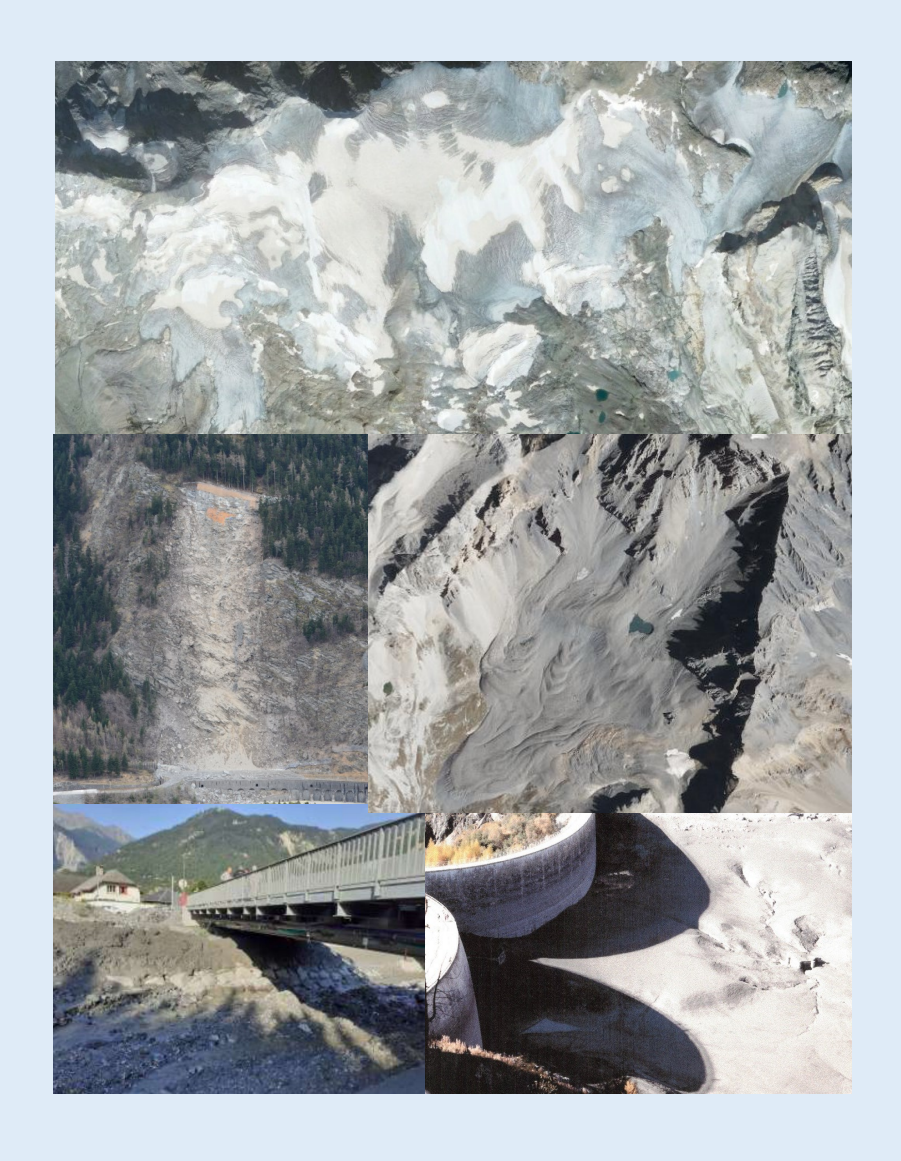


### INTERNATIONAL GLACIOLOGICAL SOCIETY

**Section des Alpes Occidentales** 

# Tournée 2024 Haute Maurienne

5 au 8 septembre 2024



**Sylvain JOBARD et Alain MARNEZY** 

#### Légende de la page de garde



- 1- Photo aérienne des Dômes de la Vanoise, IGN (2022)
- 2- Ecroulement du Freney, S.JOBARD (2023)
- 3- Photo aérienne du lac proglaciaire de la Fournache, IGN (2022)
- 4- Laisse de crue du St Antoine sous le pont de la RD1006, Syndicat Pays de Maurienne (2023)
- 5- Retenue du Plan d'Aval lors de la vidange décennale de sécurité, A. MARNEZY (1997)

Recherches bibliographiques: Alain MARNEZY et Sylvain JOBARD

Mise en page et production graphique : Sylvain JOBARD

#### Citer ce document :

JOBARD S. et MARNEZY A., 2024. Livret guide de la Tournée 2024 en Haute Maurienne de l'International Glaciological Society—Section des Alpes Occidentales (IGS-SAO).

# **Table des matières**

1- Introduction et généralités 3
2- Ecroulement du Freney (la Brèche)
3- Crues torrentielles du Charmaix et du St Antoine le 13 août 2023 19
4- Lac proglaciaire de la Fournache
5- Hydroélectricité et colmatage sédimentaire d'origine glaciaire 31
6- Usages locaux de l'eau (Aussois et alentours) 41
7- Suivis glaciologiques en Haute Maurienne 44
Annexes 53
Références bibliographiques55
Table des figures57

# 1- Introduction et généralités

### 1.1- Programme de la tournée

#### Jeudi 5 septembre après-midi : risques naturels dans le bassin de Modane

- ♦ Ecroulement du Freney : Contexte géologique et géomorphologique, impacts sur les voies de communication, actions mises en œuvre... Aperçu du chantier Lyon-Turin (attaque par la descenderie de La Praz).
- Crues torrentielles récentes: le torrent du Charmaix (Fourneaux) et le torrent du St Antoine (Modane). Crues du 13 août 2023, enjeux (axes de communication, accès au chantier Lyon-Turin), dégâts sur les cônes de déjection urbanisés.
- Soirée au Fort Marie Christine : conférence de Thomas Echelard sur les glaciers rocheux

#### Vendredi 6 septembre : sortie glaciaire Vallon de la Fournache, au pied de la Dent Parrachée.

- Le glacier rocheux de la Fournache. Sortie accompagnée par Thomas Echelard.
- ♦ Le lac proglaciaire de la Fournache formé depuis 2010-2011, à 3000m d'altitude sous la Dent Parrachée : contexte géologique et géomorphologique, degré de risque de vidange, enjeux... Rappel : vidange du lac glaciaire de Lesché en 1979, à proximité immédiate.
  - Attention : sortie avec environ 1000m de dénivelé, possible de réduire à 700m pour quelques participants avec une approche partielle en 4x4.
- Soirée : présentation de Sylvain Jobard sur les glaciers locaux en Haute Maurienne : retrait glaciaire, monitoring hydro-météo et photogrammétrie sur le glacier du Baounet.

#### Samedi 7 septembre :

- Problématique du colmatage sédimentaire du barrage de Plan d'aval : fonctionnement hydroélectrique de la Haute Maurienne – colmatage sédimentaire du Plan d'Aval – impacts - solutions EDF et expérimentations diverses – relations avec le retrait récent des glaciers de la Vanoise?
- Après-midi: usages locaux de l'eau (cas d'Aussois et alentours): irrigation traditionnelle par gravité, Irrigation par aspersion, eau potable (captages historiques, évolution...), neige de culture, retenue d'altitude, projet de microcentrale, énergies renouvelables (stockage gravitaire). Lien avec la raréfaction des ressources et des impacts du chantier Lyon-Turin (modification des débits des sources captées, mesures compensatoires).
- ♦ Soirée « banquet »

#### Dimanche 8 septembre :

Sortie terrain commentée par notre collègue Jean-Loup Boisset (retraité Service RTM) : l'amont du bassinversant du St Antoine. Contexte géomorphologique, historique des aménagements de correction torrentielle, effets de la crue récente...

+ Les gypses : projet de ZSC Maurienne (Zone Spéciale Carrière). Géologie, projet d'exploitation, enjeux, réac tions locales... Durée : journée jusqu'en milieu d'après-midi.

Ou bien, 2 possibilités pour le matin uniquement :

- la nouvelle exposition « gravures rupestres » dans le Fort Victor- Emmanuel de l'Esseillon. Durée 2h environ.
- balade « Le sentier des sculptures en forêt ». 23 sculptures réalisées dans la forêt de Plan Bois, entre Aussois et Sardières par un artiste local. Durée 2h30.

# 1.2- Localisation

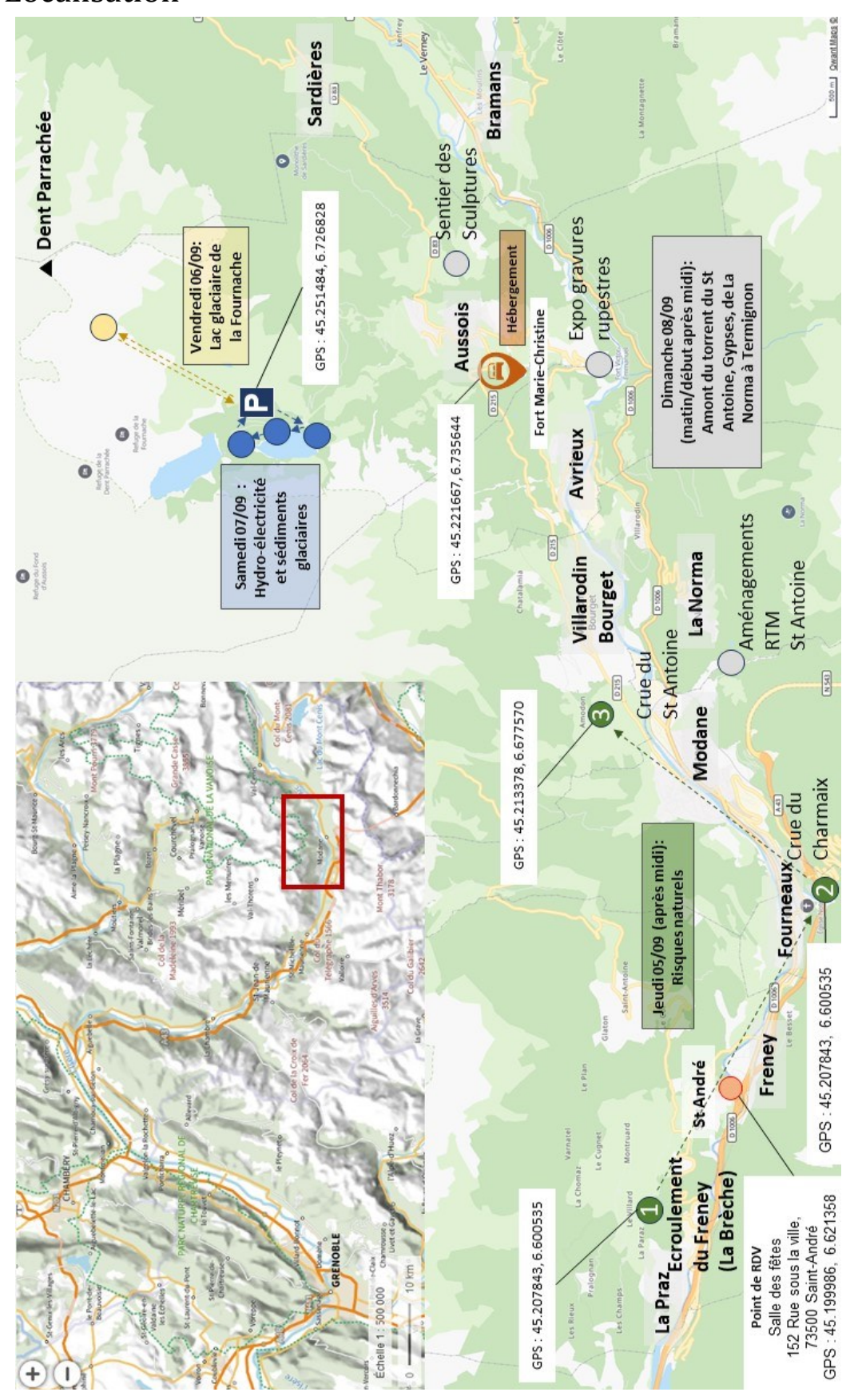


Fig. 1.1 — Localisation et parcours de la tournée

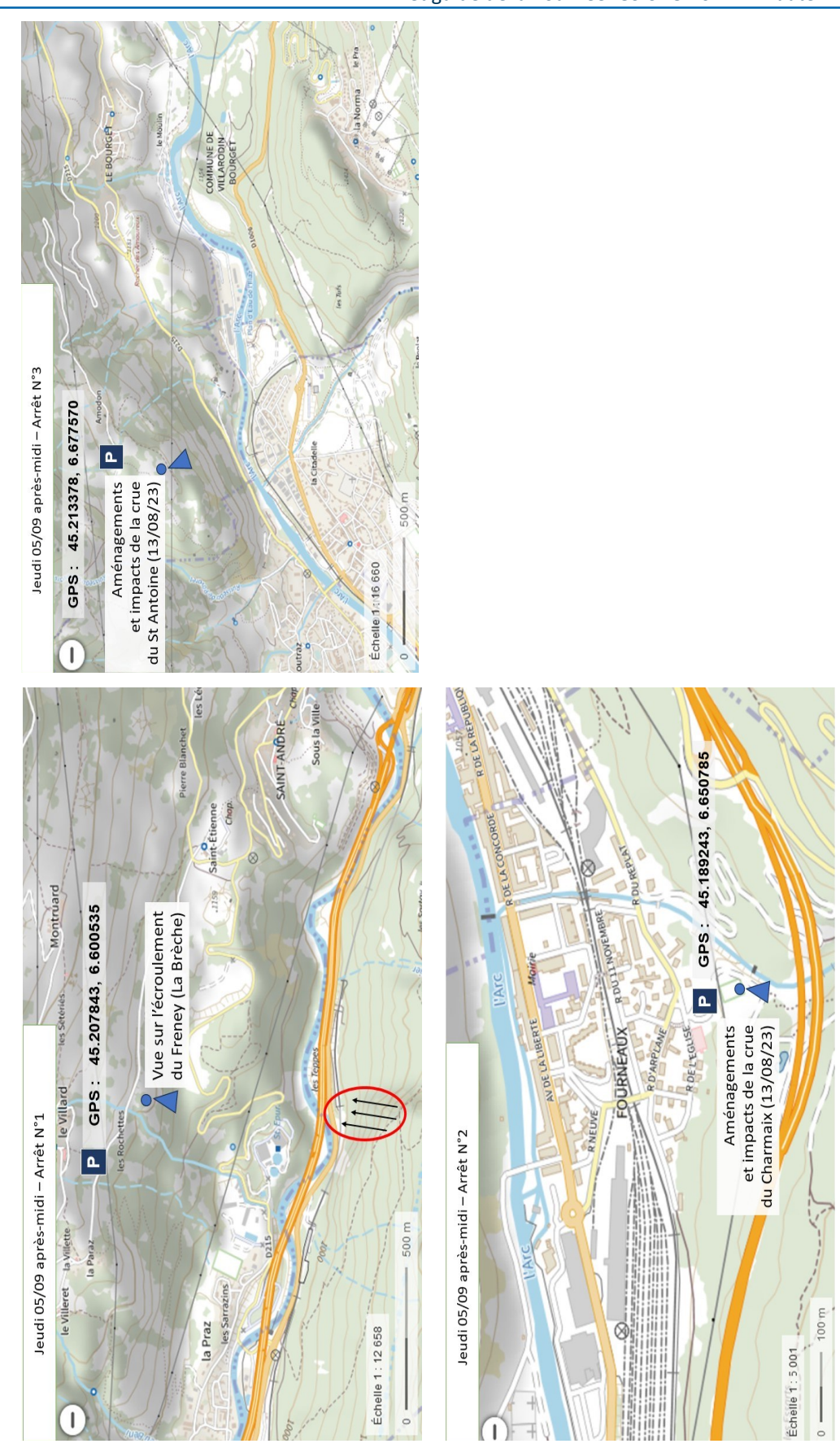


Fig. 1.2 — Localisations des arrêts du jeudi 05 septembre après-midi

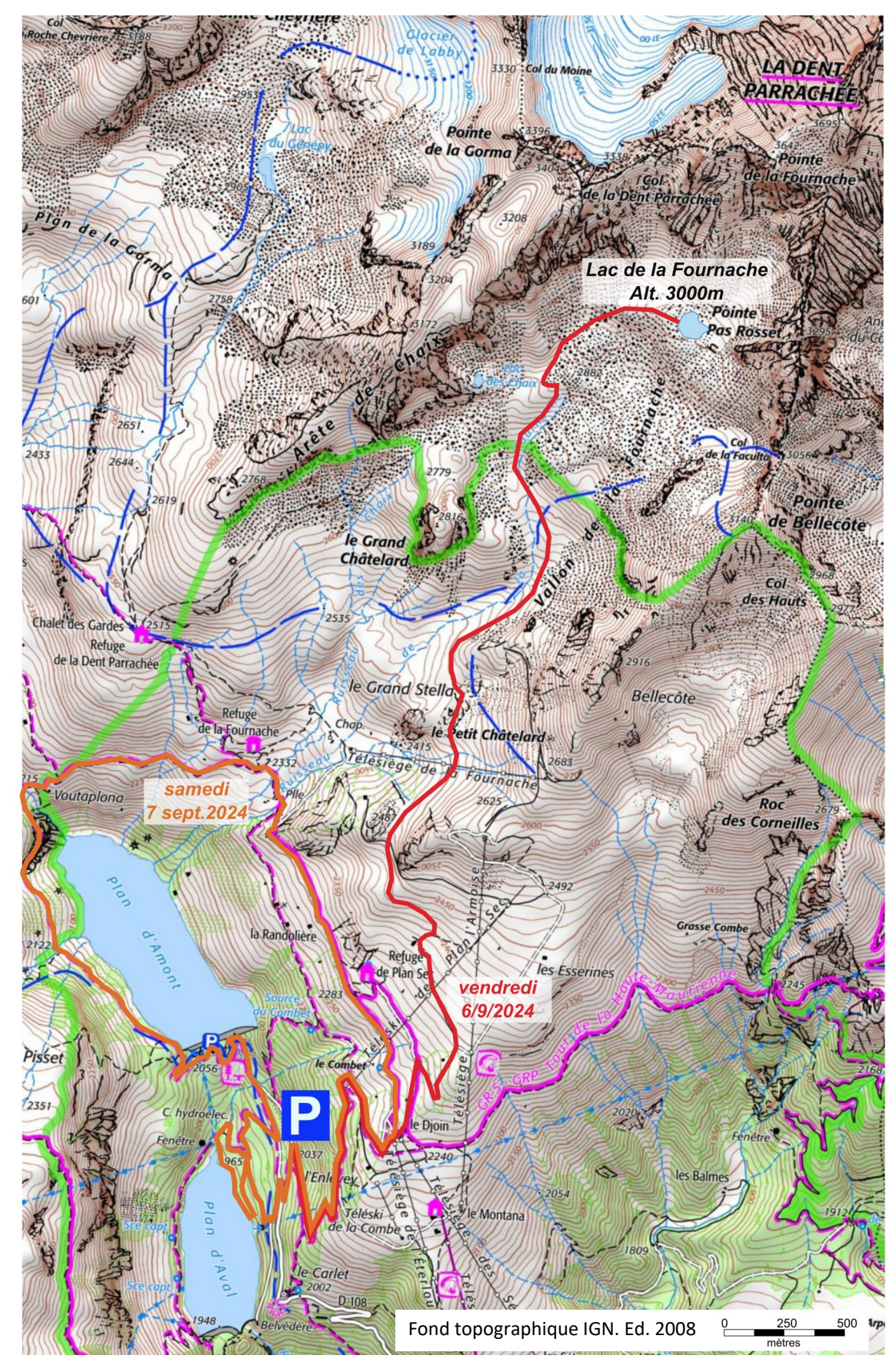


Fig. 1.3 — Excursions du vendredi 6 et samedi 7 septembre 2024

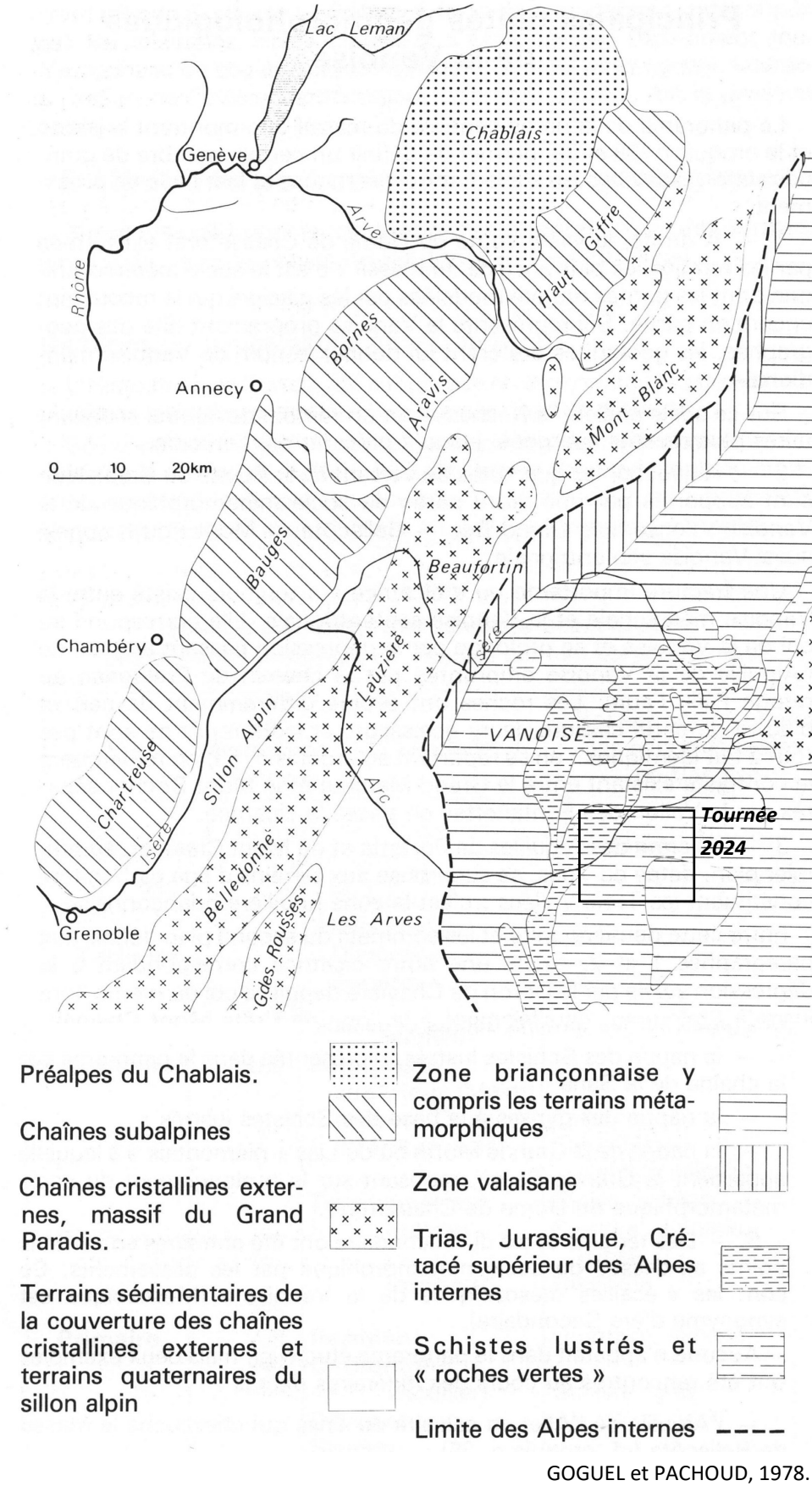


Fig. 1.4—Schéma de situation de la Vanoise

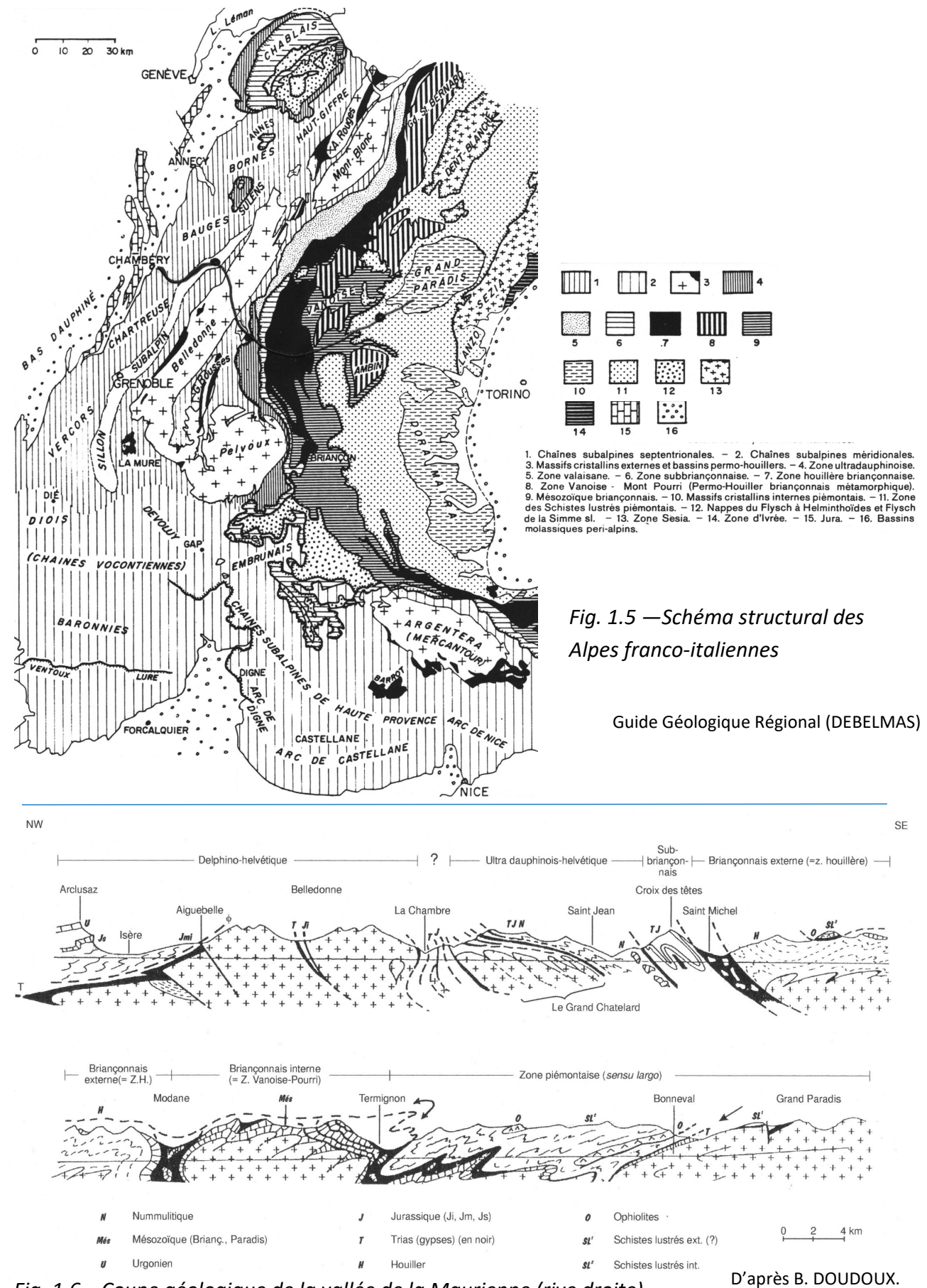
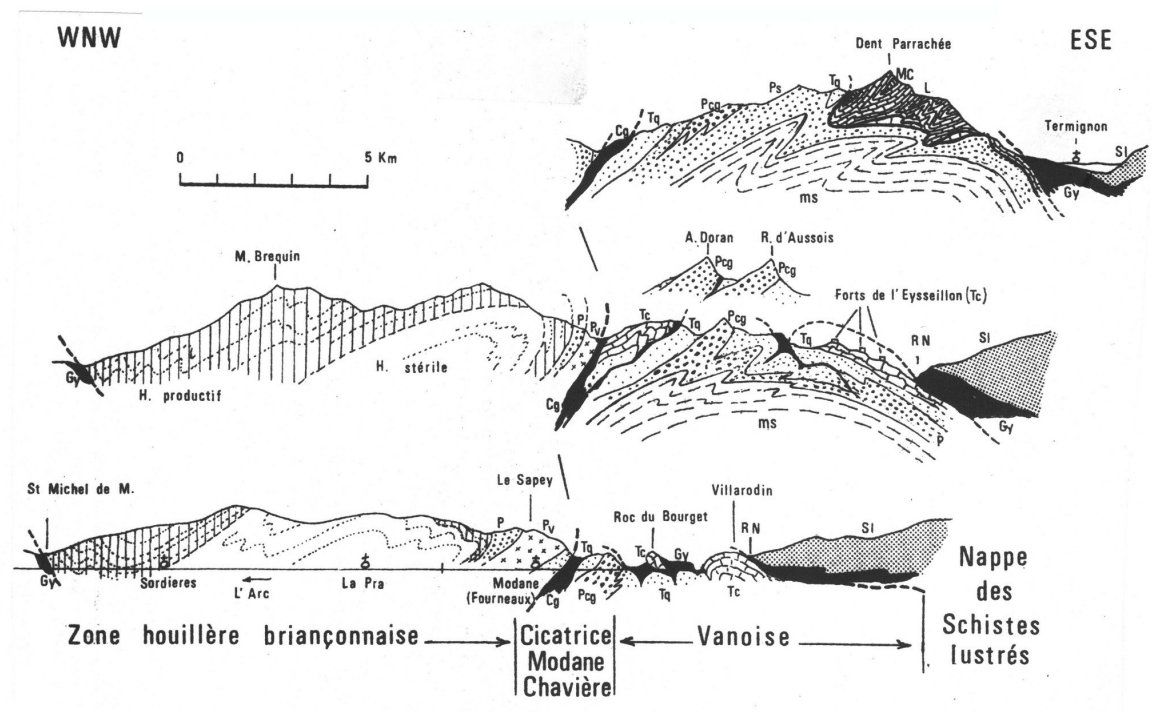
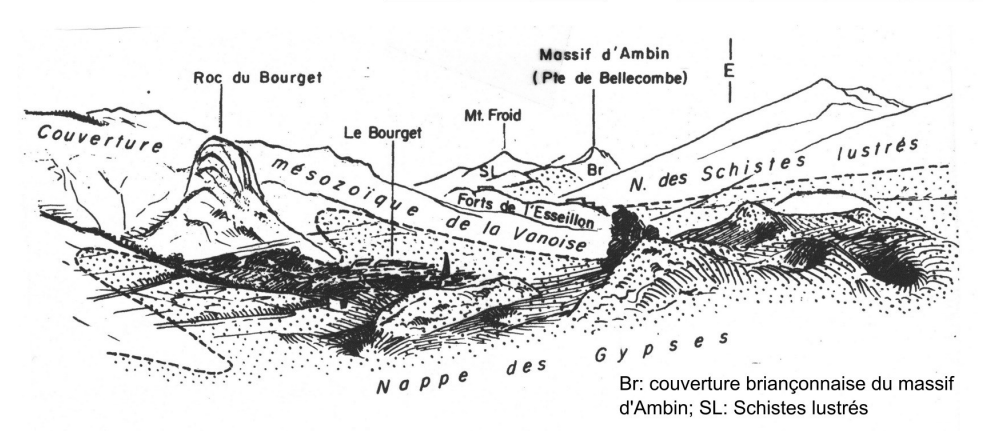


Fig. 1.6—Coupe géologique de la vallée de la Maurienne (rive droite)



a- La zone briançonnaise en Haute-Maurienne (d'après F. ELLENBERGER)



b- Panorama de la vallée de l'Arc, près du Roc Tourné, en amont de Modane

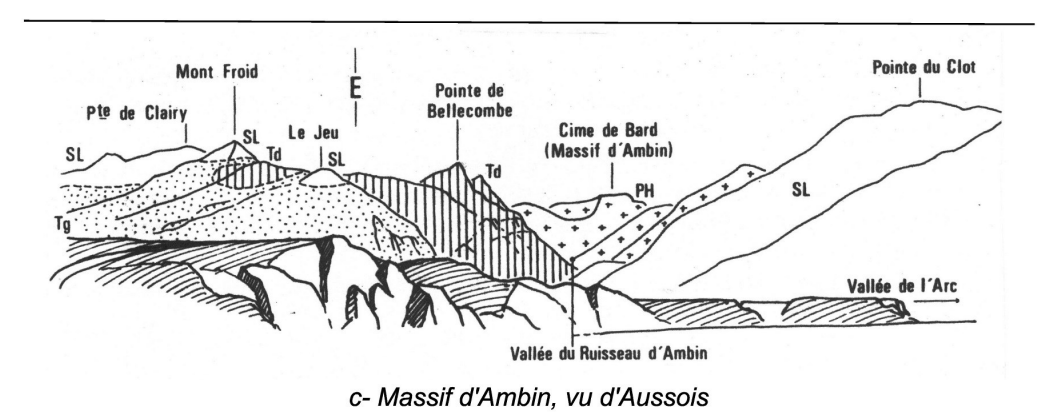


Fig. 1.7 — Coupes géologiques dans la Vanoise

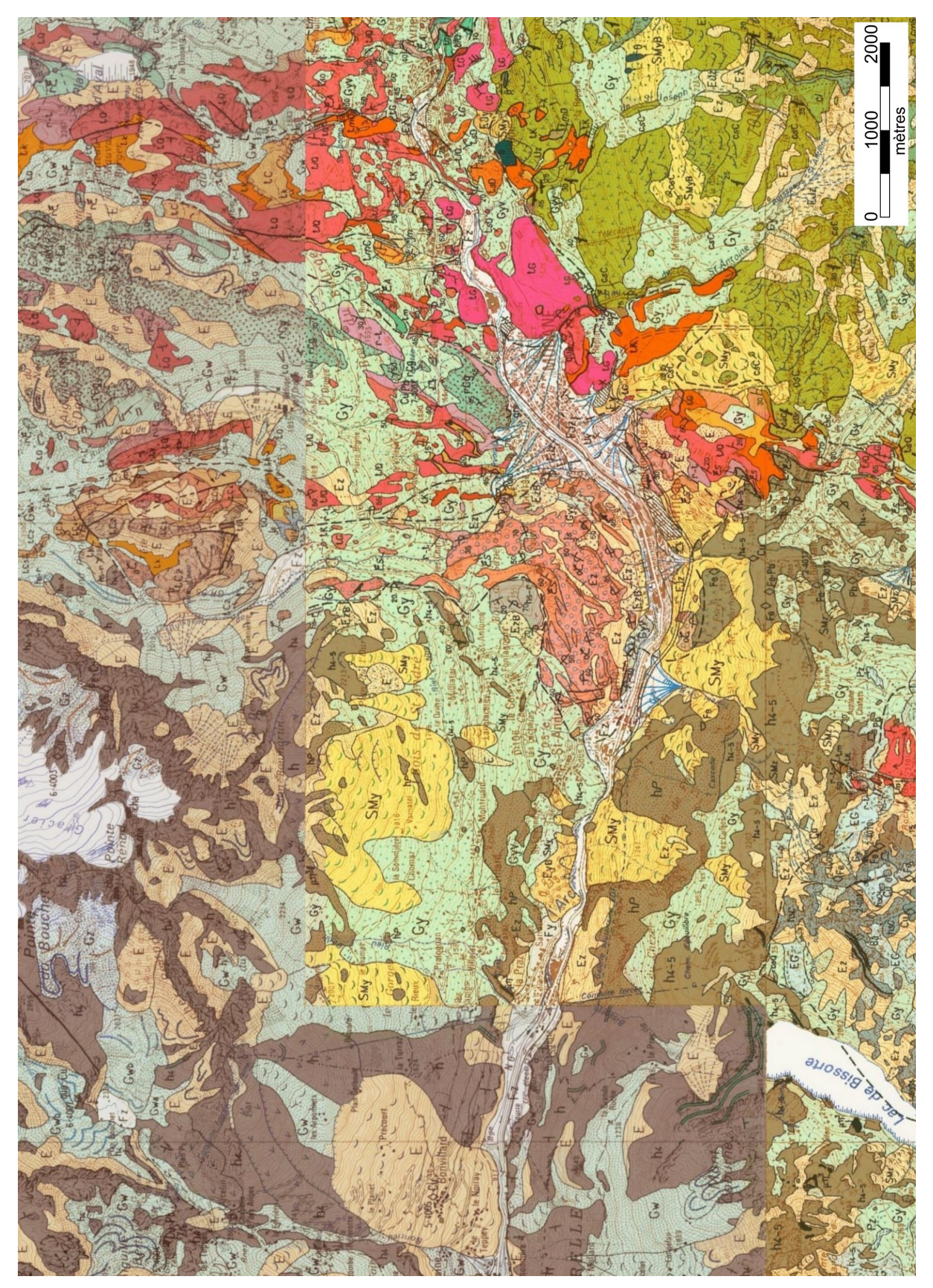


Fig. 1.8 — Carte géologique : secteur de Modane

Source : BRGM

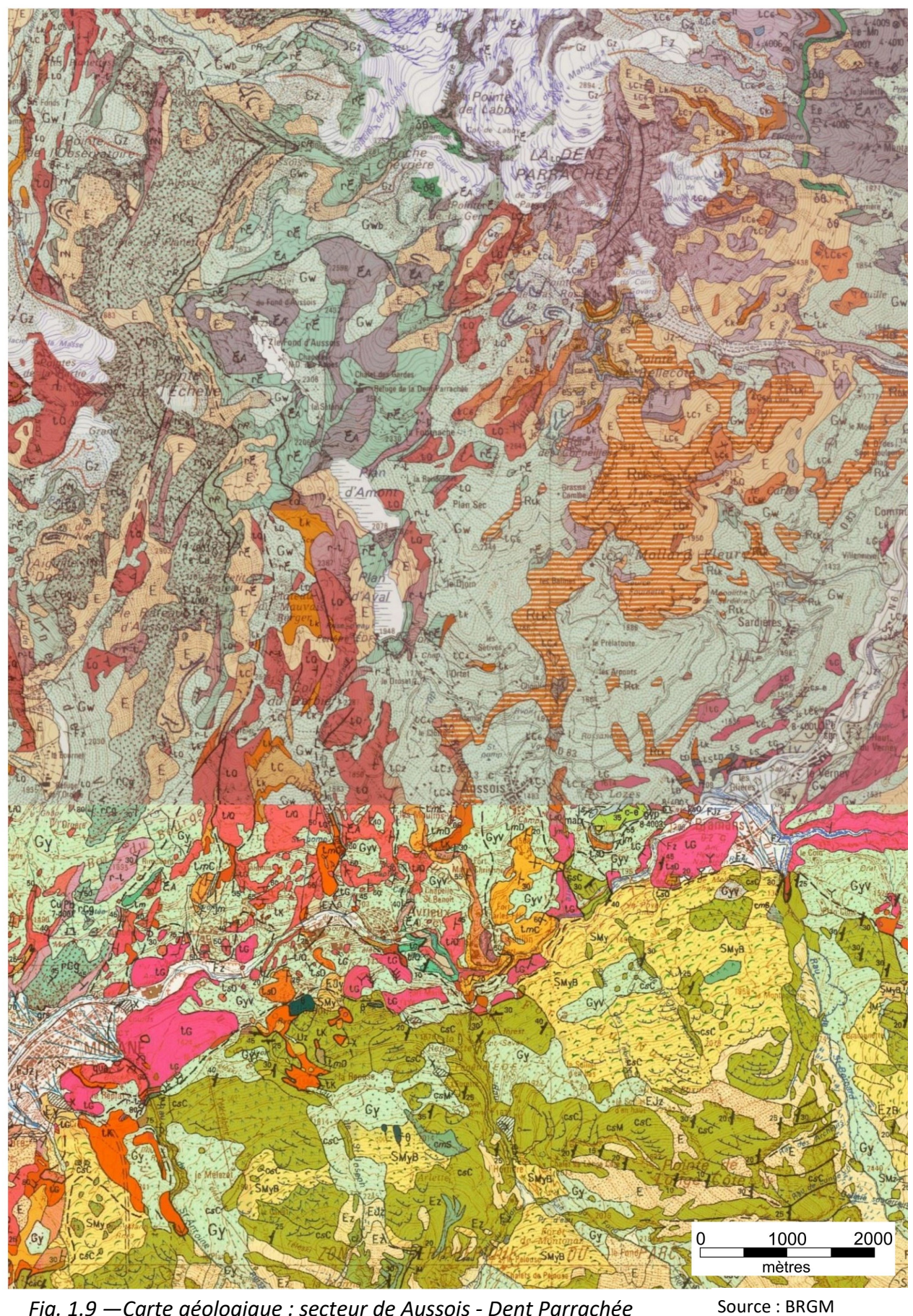


Fig. 1.9 — Carte géologique : secteur de Aussois - Dent Parrachée

11

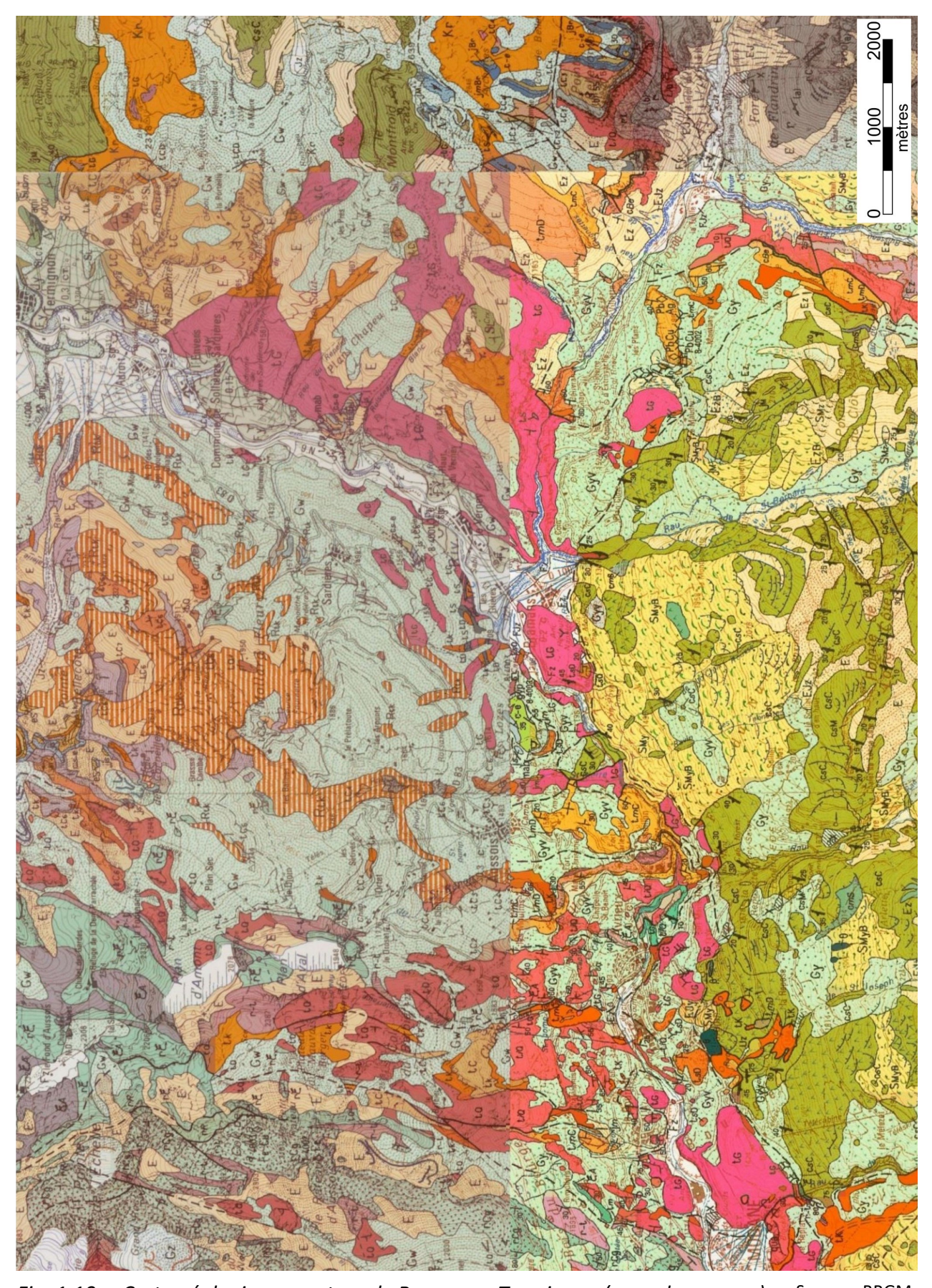
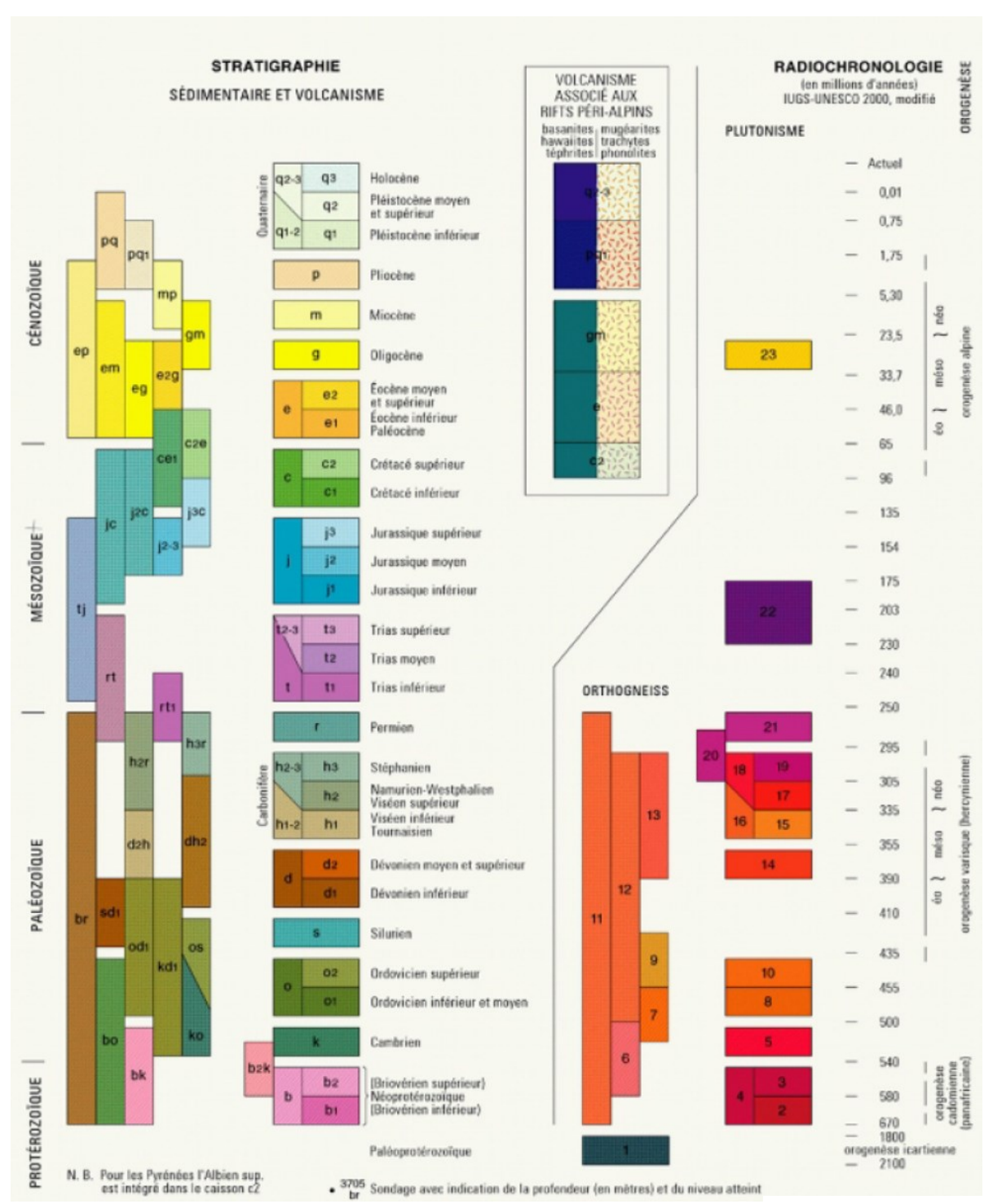


Fig. 1.10 — Carte géologique : secteur de Bramans - Termignon (zone des gypses) Source : BRGM



Source: BRGM

Fig. 1.11 —Légende de la carte géologique

## 2—Ecroulement du Freney (la Brèche) le 27 août 2023

L'écroulement de la Brèche (commune du Freney) se situe dans le contexte géomorphologique global d'un grand écroulement de versant (écroulement de St André). Cet effondrement de terrain ancien (probablement lors du dernier retrait du glacier de l'Arc) a mobilisé un volume de l'ordre de 50 millions de m3, barrant la vallée de l'Arc pour former un lac de barrage. La rivière a ensuite incisé ce dépôt.

L'éboulement actuel de la Brèche du 27 août 2023 concerne initialement environ 15 000m3 et se localise sur la base du flanc aval de la niche d'arrachement de l'écroulement de St André. La circulation routière sur la D1006 est interrompue (trafic dévié sur l'A43), ainsi que le trafic ferroviaire local et international (ligne de la Maurienne).

La circulation sur le viaduc de l'A43 est restreint à 2 voies de circulations à une seule file et vitesse réduite, protégées des projections et des petites chutes de blocs par un merlon formé d'un assemblage de conteneurs maritimes. La purge de la paroi est essentiellement réalisée par minage à l'explosif par des cordistes.

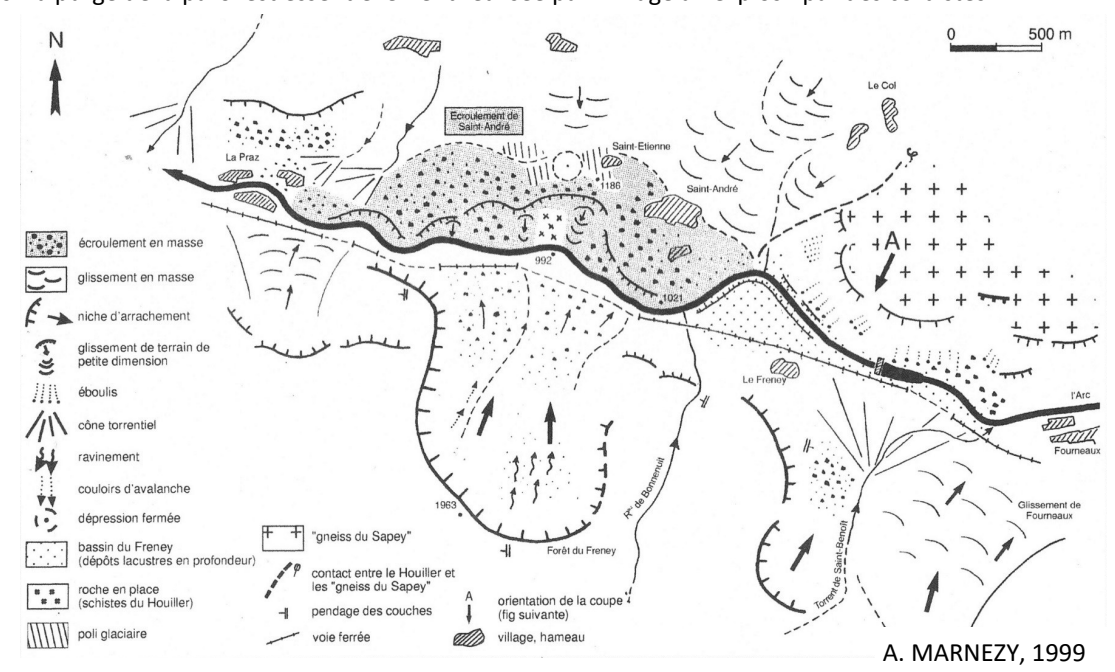


Fig. 2.1—L'écroulement de Saint-André et le bassin du Freney

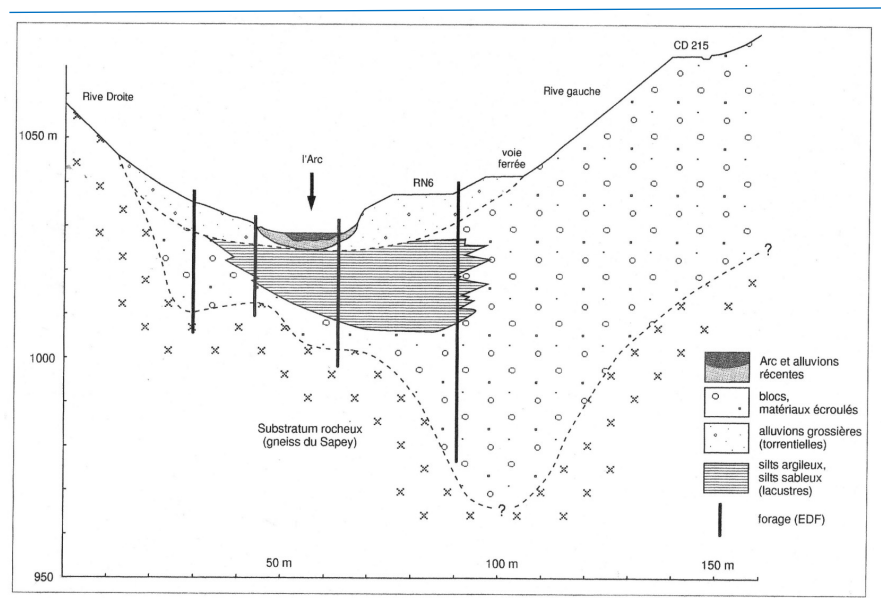


Fig. 2.2—Coupe transversale du bassin du Freney, à l'amont de l'écroulement de St André

A. MARNEZY, 1999.

D'après forages EDF



D'après vidéo de L. Borella (2023).

Fig. 2.3— Aperçu de l'écroulement du 27 août 2023.

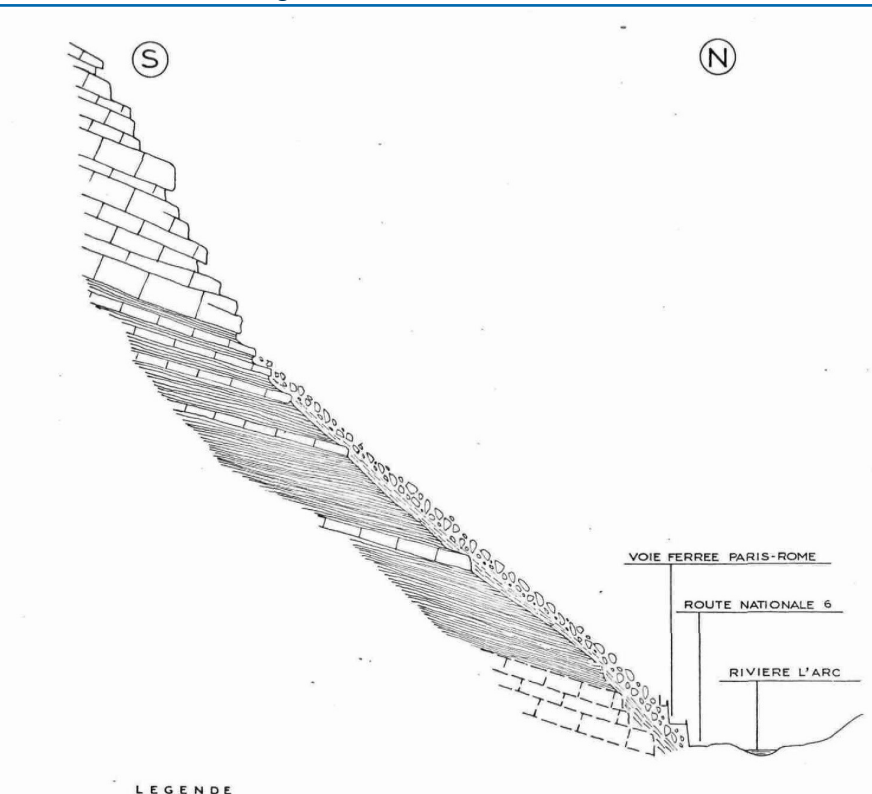


Fig. 2.4 —Coupe géologique au droit de l'écroulement de la Brèche



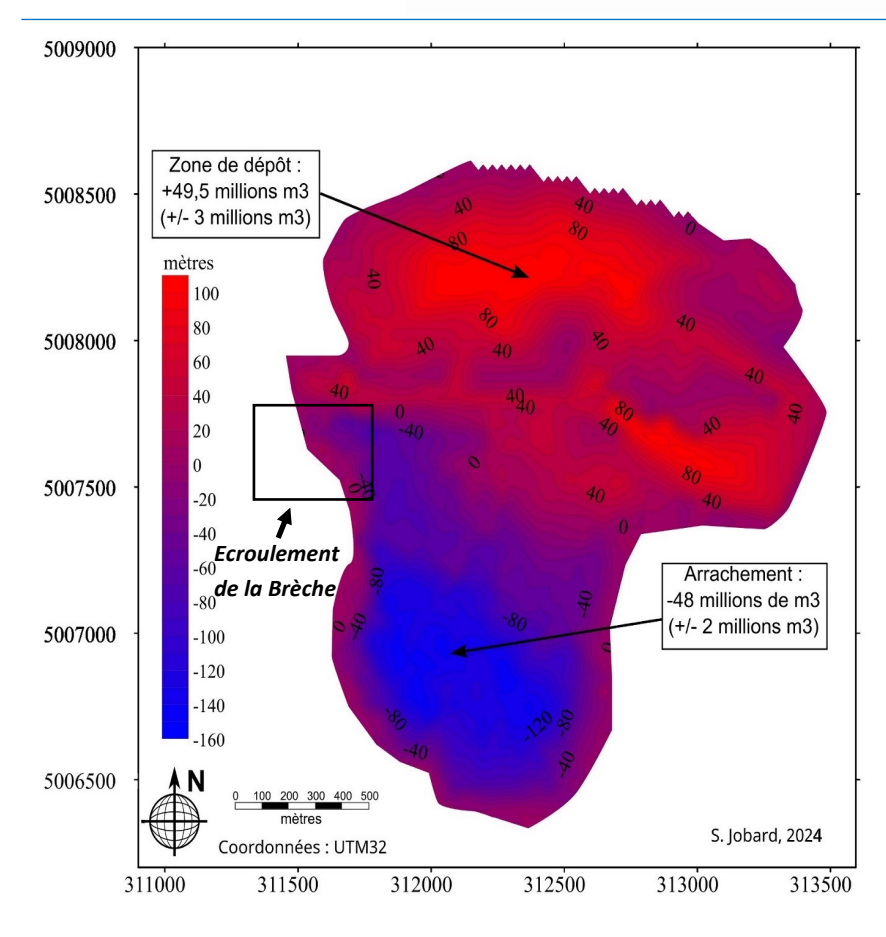
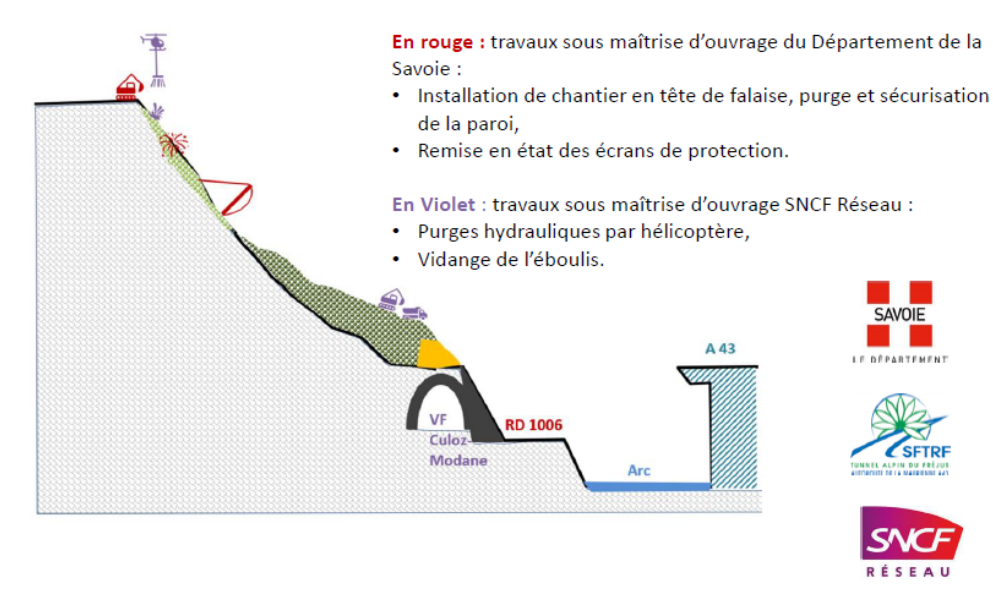


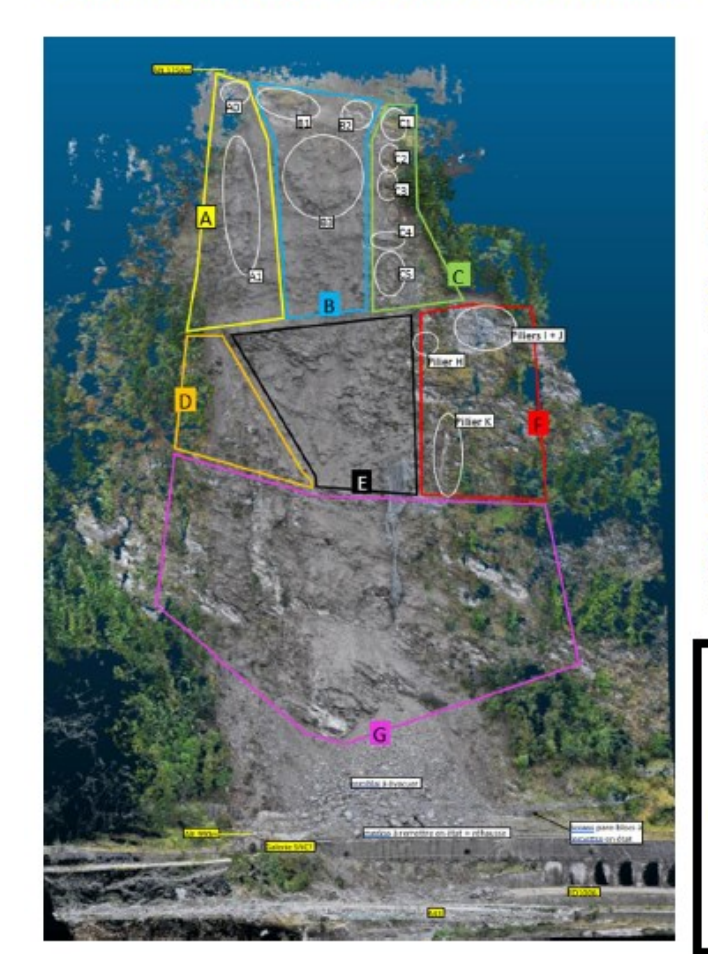
Fig. 2.5—Reconstitution volumétrique du grand écroulement de St André

#### Trois gestionnaires d'infrastructure et des actions coordonnées :



DIRECTION TERRITORIALE AUVERGNE-RHONE-ALPES

#### Zoom sur la stratégie de protection de la falaise



7 zones : A, B, C, D, E, F et G

Objectif visé: sécuriser la falaise zone par zone pour pouvoir travailler en sécurité et pouvoir réaliser les travaux de réparation en pied de versant pour l'ensemble des partenaires.

Zone de travaux : partie supérieure (A, B et C) et partie médiane (D, E et F).

Travaux : purges, minages, grillages plaqués, grillage avaloir, ancrages -Nécessité de procéder de façon répétitive pour sécuriser les postes de travaux au fur et à mesure de leur avancement.

Organisation: Pilotage Département de la Savoie; entreprise CITEM, bureau d'études SAGE.

#### Travail 7 jours sur 7

(sous réserve des conditions météo - 2 jours d'intempéries seulement depuis le démarrage des travaux en falaise) Temps estimé : 360 jours de travail

Documents: DT AURA / CG73 / SNCF réseau

Fig. 2.6—Travaux de sécurisation de l'écroulement de la Brèche (Freney) du 27/08/2023



D'après vidéo du Dauphiné Libéré (2023).

Fig. 2.7— Aperçu d'un tir de sécurisation de la paroi de l'écroulement du Freney

# 3— Crues torrentielles du Charmaix et du St Antoine le 13 août 2023

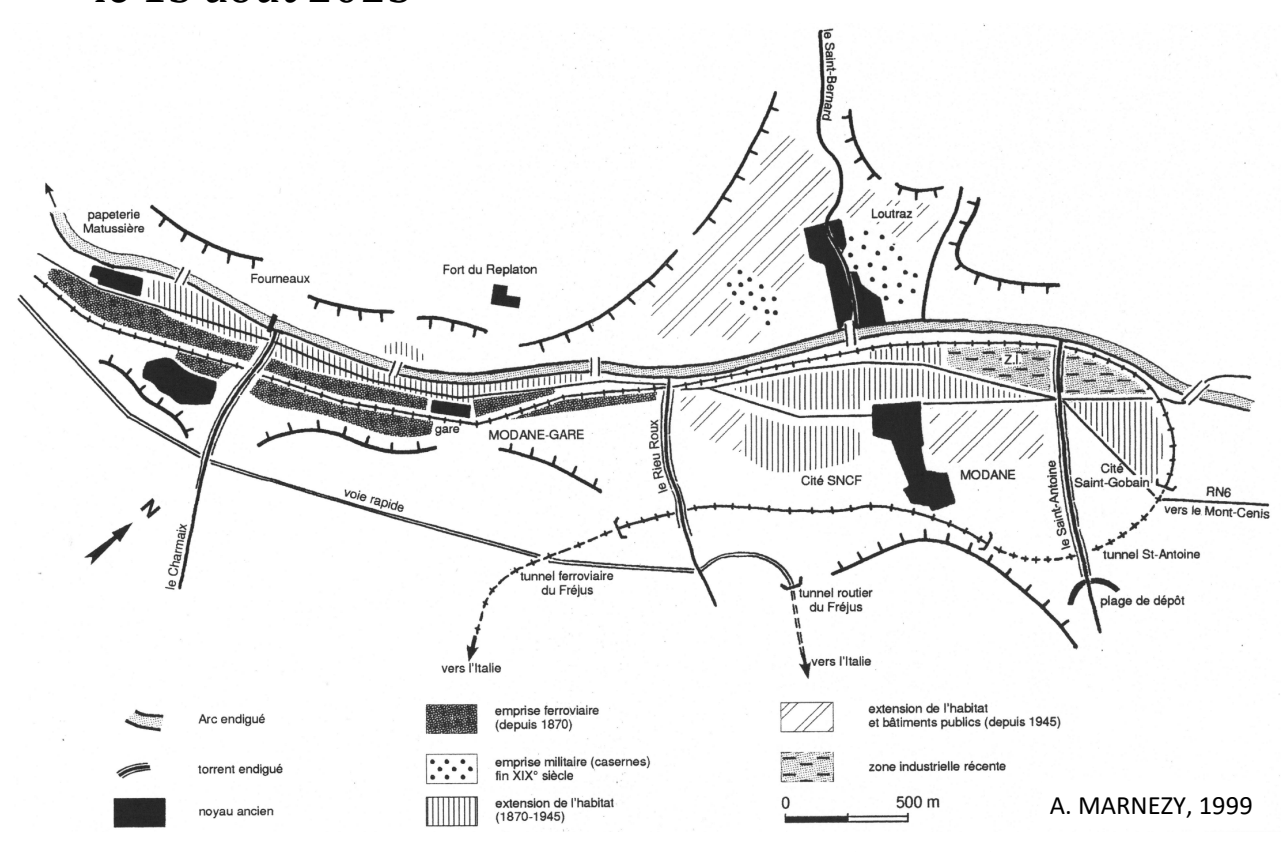


Fig. 3.1 — Le bassin de Modane-Fourneaux, les étapes de l'urbanisation

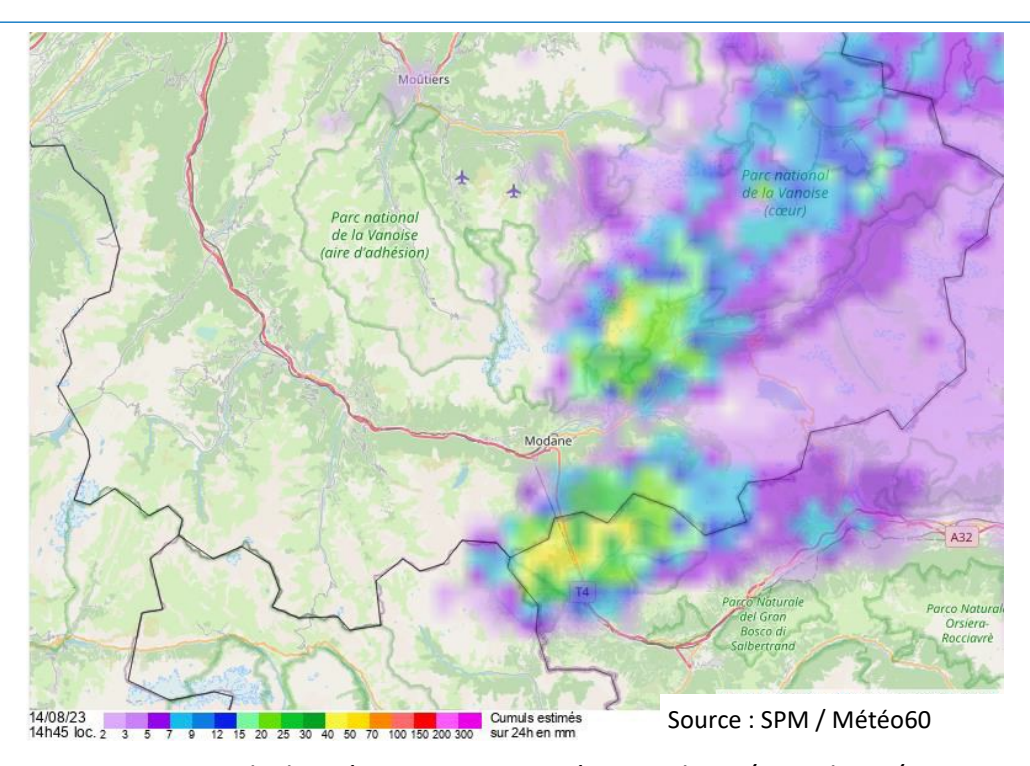


Fig. 3.2 — Cumuls de précipitations estimés entre le 13/08 et le 14/08

### 3.1— Le torrent du Charmaix (crue du 13 août 2023)

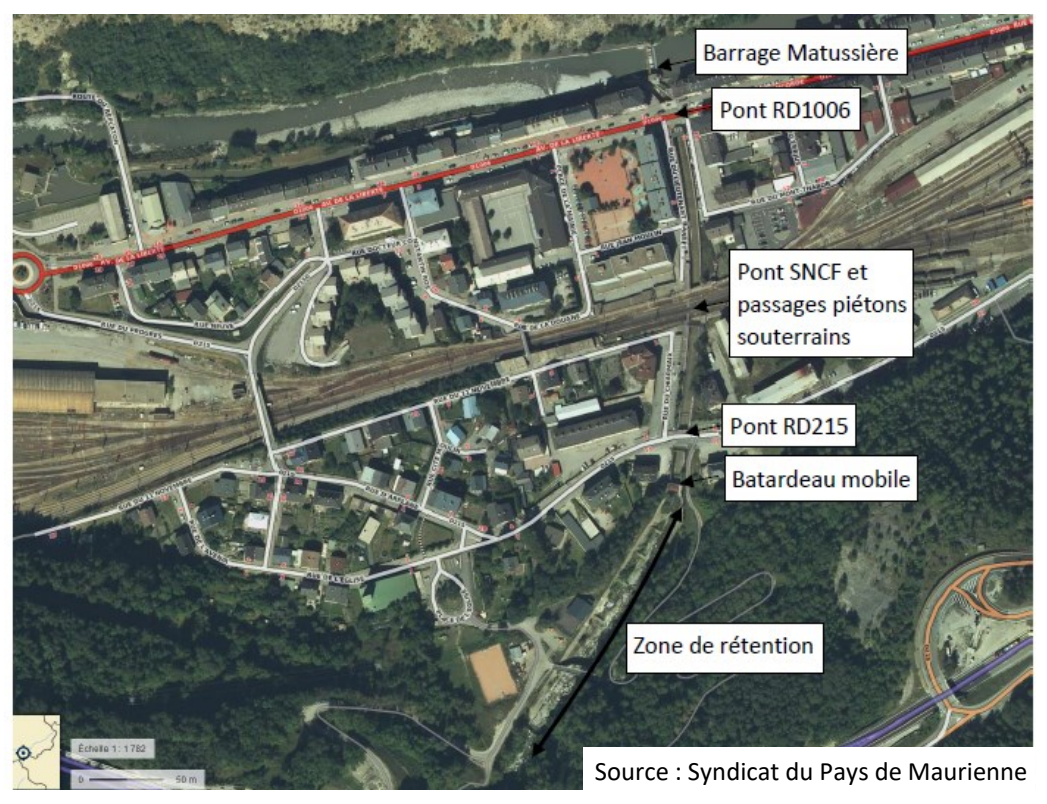
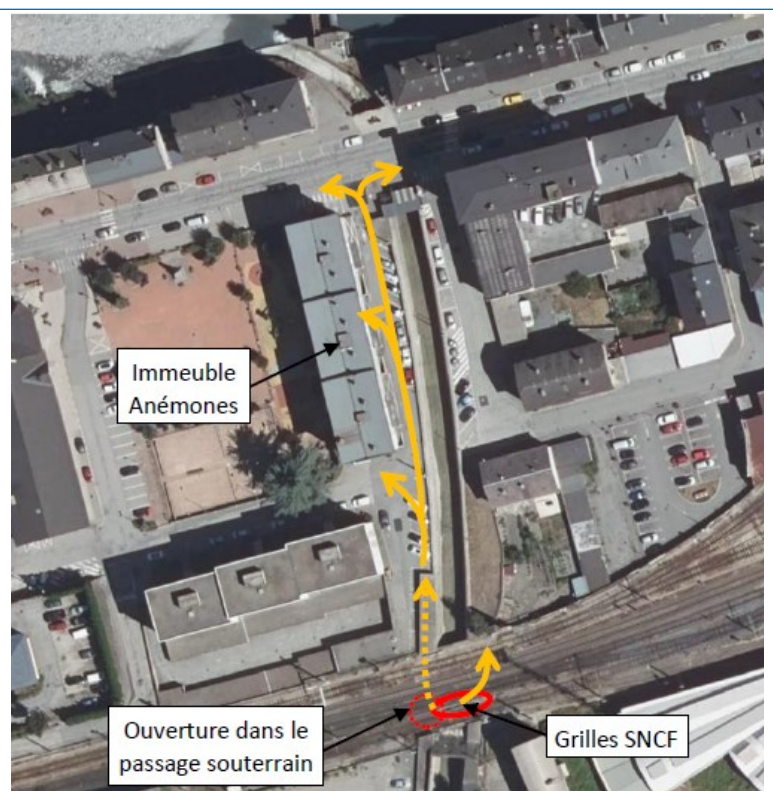


Fig. 3.3 — Localisation des ouvrages le long du Charmaix dans la traversée de Fourneaux



Source : Syndicat du Pays de Maurienne

Fig. 3.4 — Origine et cheminement des écoulements



Photos : Mariella V. (2023) Fig. 3.5—Photos du canal du Charmaix et des matériaux excavés

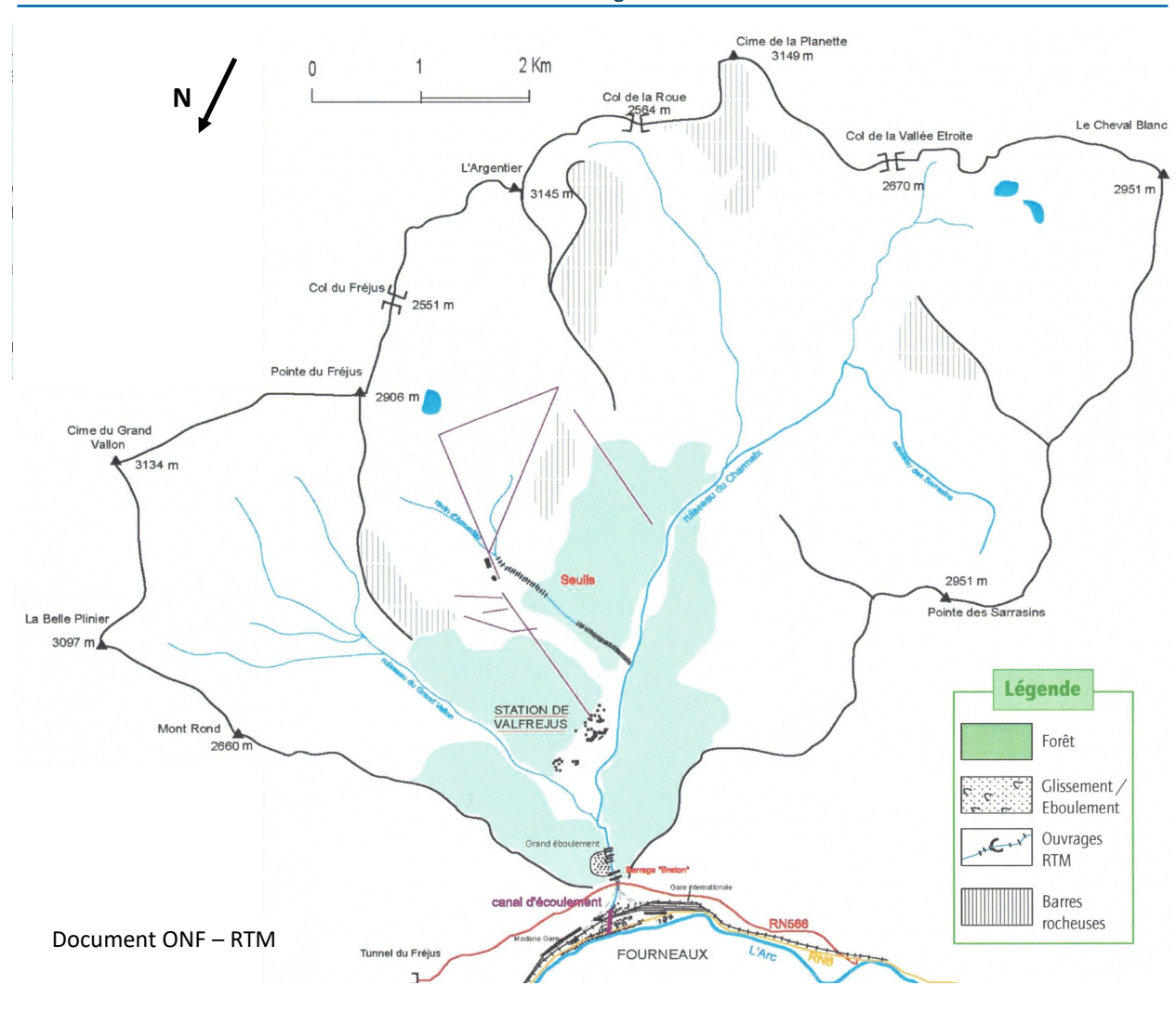
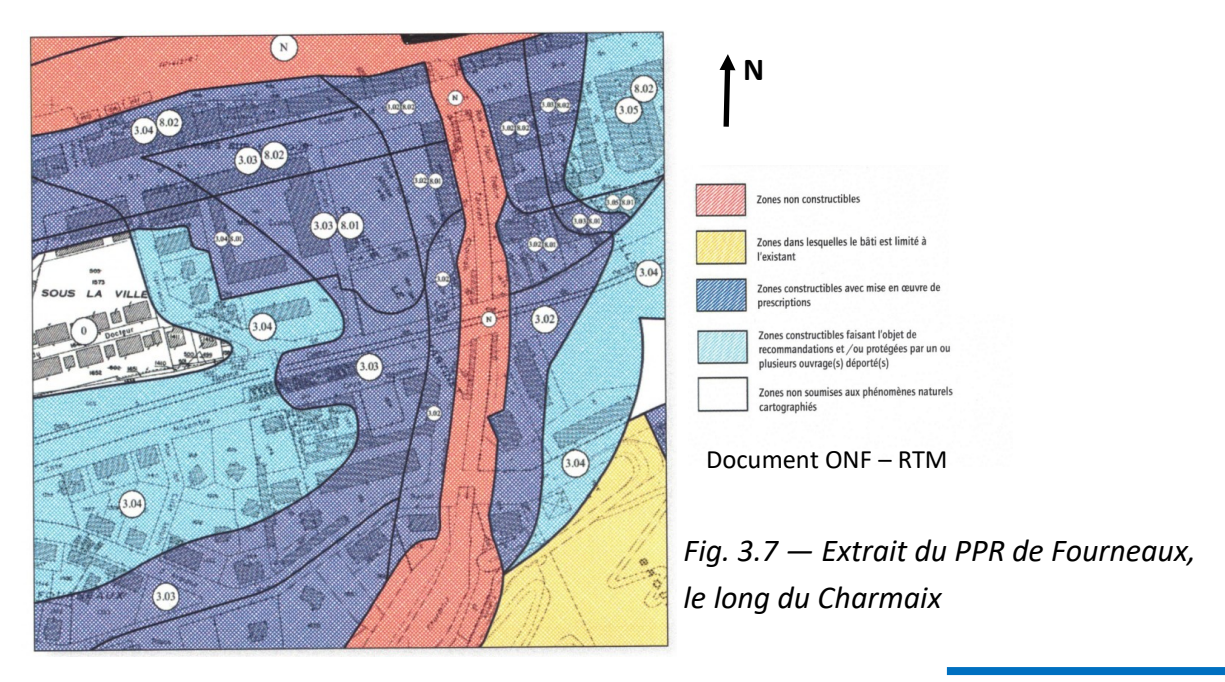


Fig. 3.6 — Le bassin versant du Charmaix et ses aménagements



# 3.2— Le torrent du St Antoine (crue du 13 août 2023)

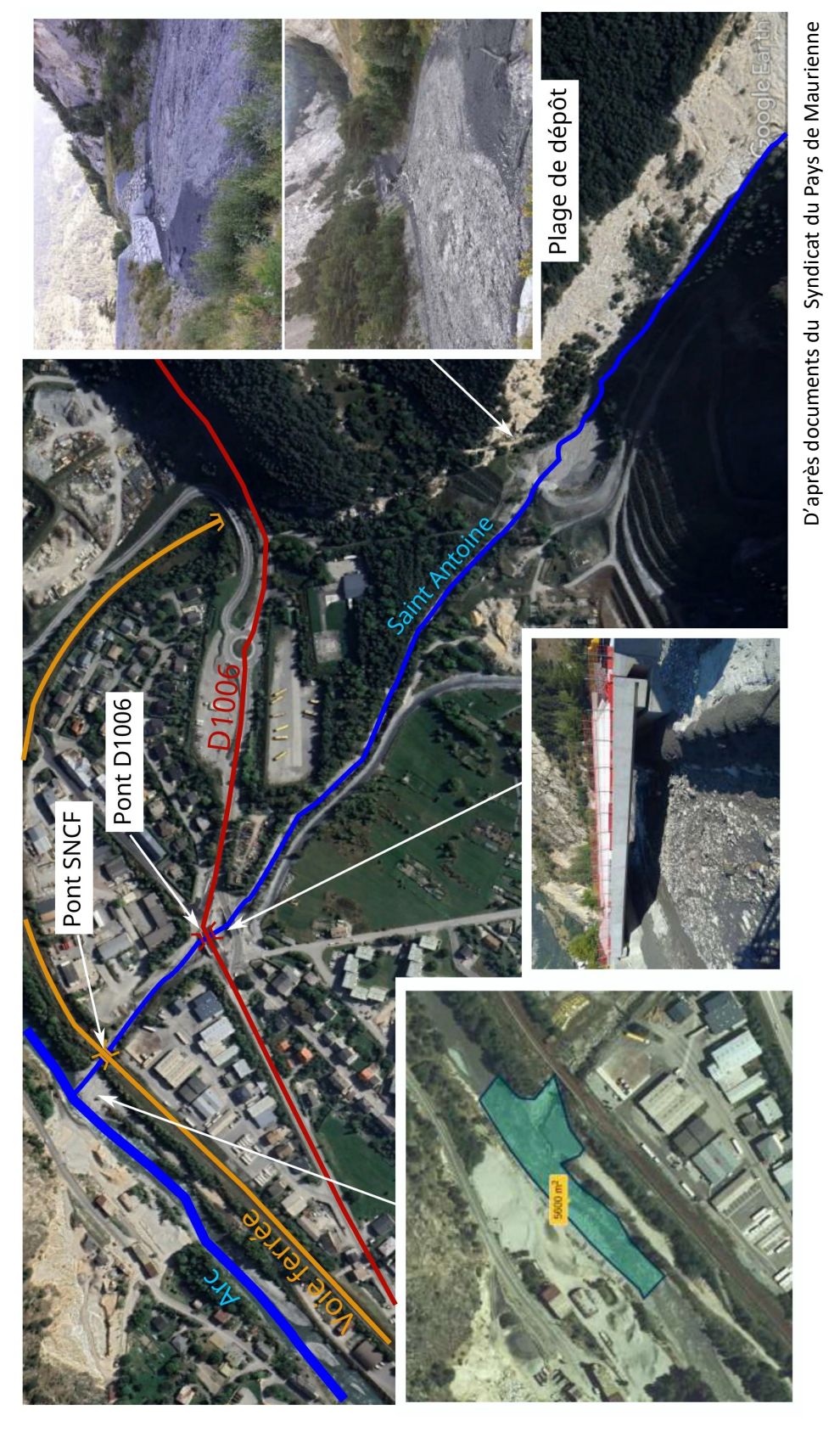


Fig. 3.8 — Impacts de la crue du 13 août 2023

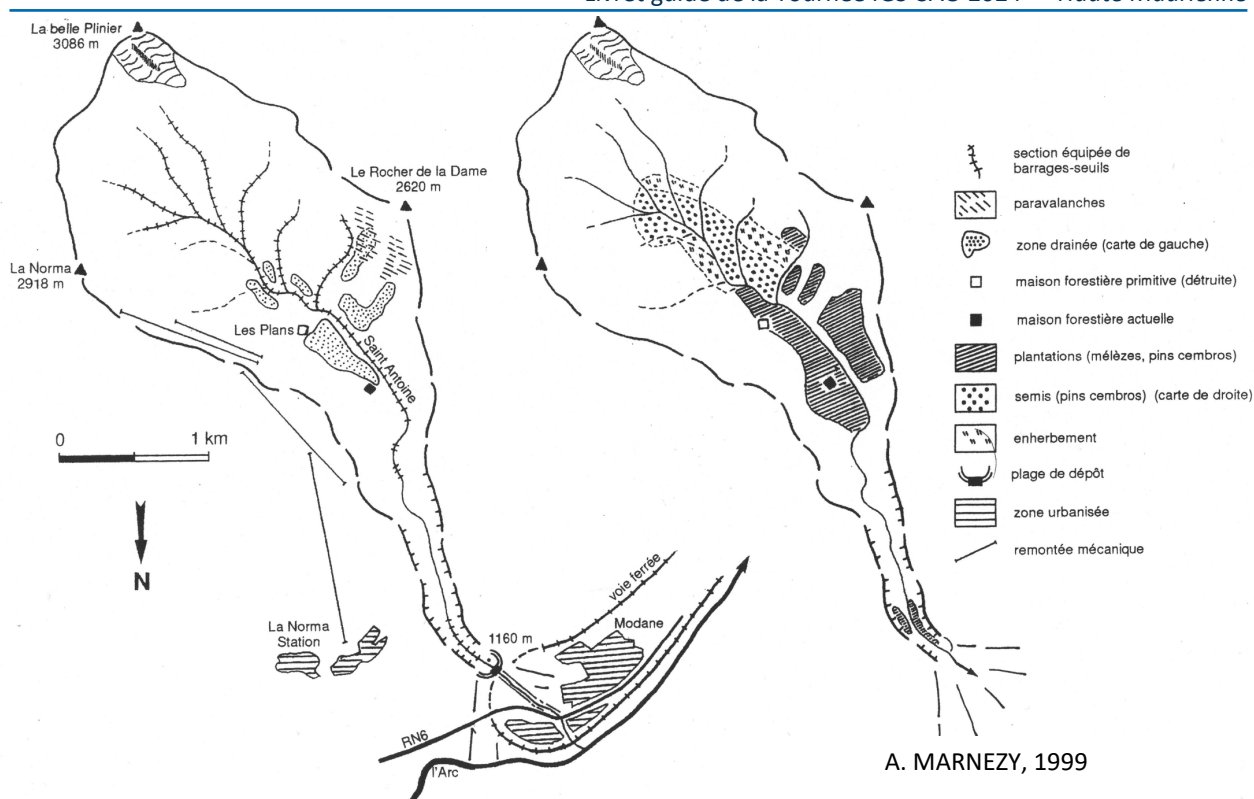


Fig. 3.9 — Le torrent du Saint Antoine : travaux de protection effectués de 1898 à 1998

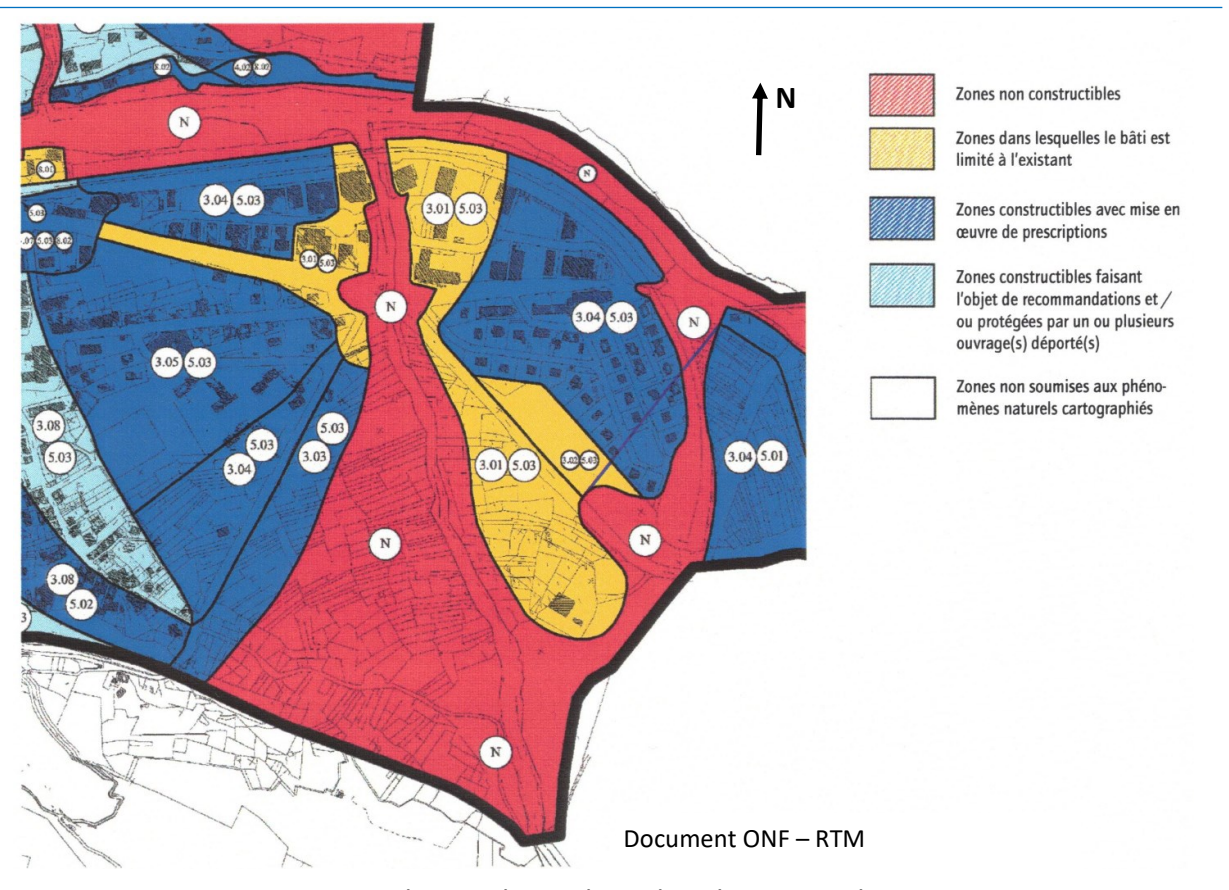
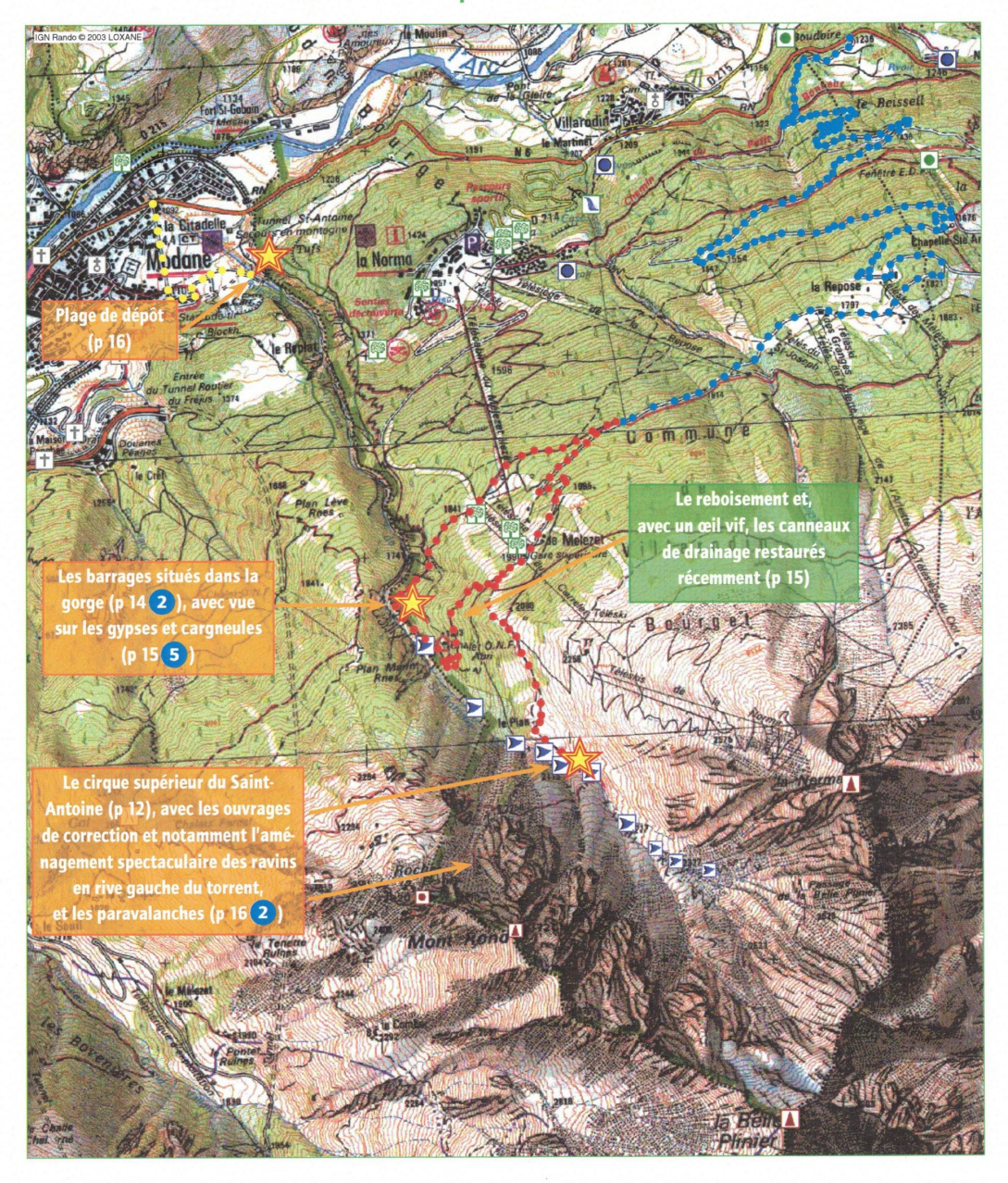


Fig. 3.10 — Extrait du PPR de Modane dans le secteur du Saint Antoine



# Découvrir le site : des indications pour visiter

Document ONF - RTM

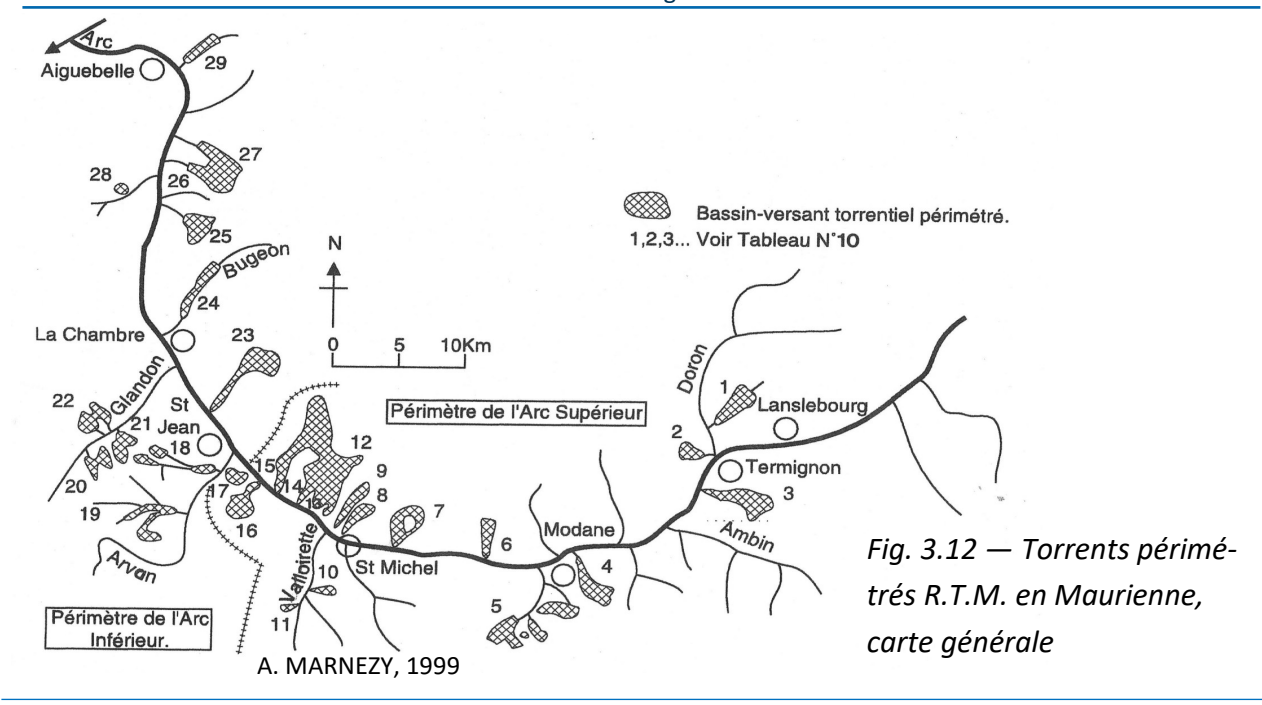


Pour comprendre l'aménagement du Saint-Antoine...
Rien ne vaut la visite du site. Quelques idées pour découvrir ce bel endroit :

Accès en voiture jusqu'à la télécabine
Parcours pédestre, 2 h, à silloner après plusieurs jours de temps sec. On peut y observer le milieu naturel propre au Saint-Antoine et l'ensemble des aménagements de correction torrentielle et de stabilisation des versants.

Accès en voiture à la plage de dépôt avec vue sur les parois gypseuses en rive droite du torrent.

Fig. 3.11 — Découvrir les aménagements du Saint Antoine



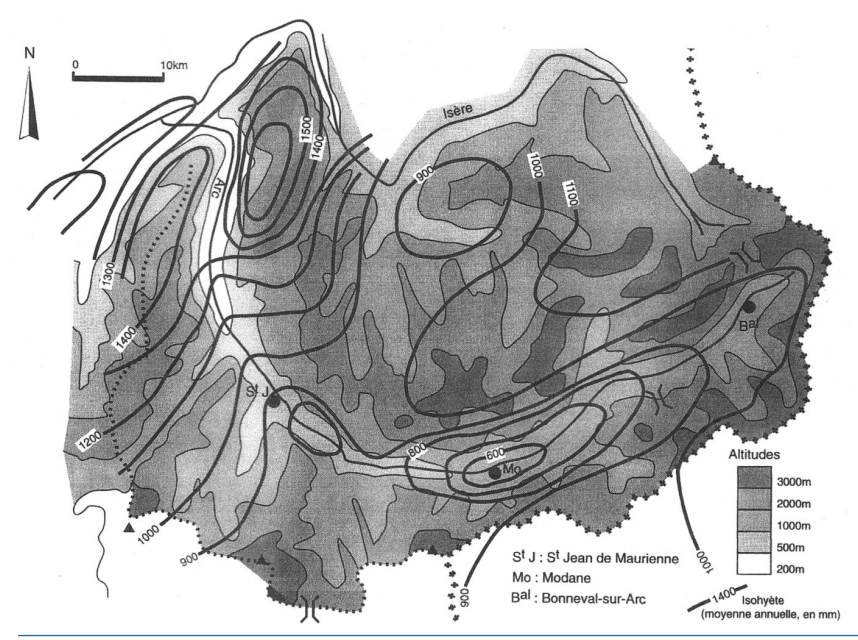


Fig. 3.13 — Carte des précipitations moyennes annuelles en Maurienne et Vanoise

D'après données du Centre Départemental Météorologique de la Savoie

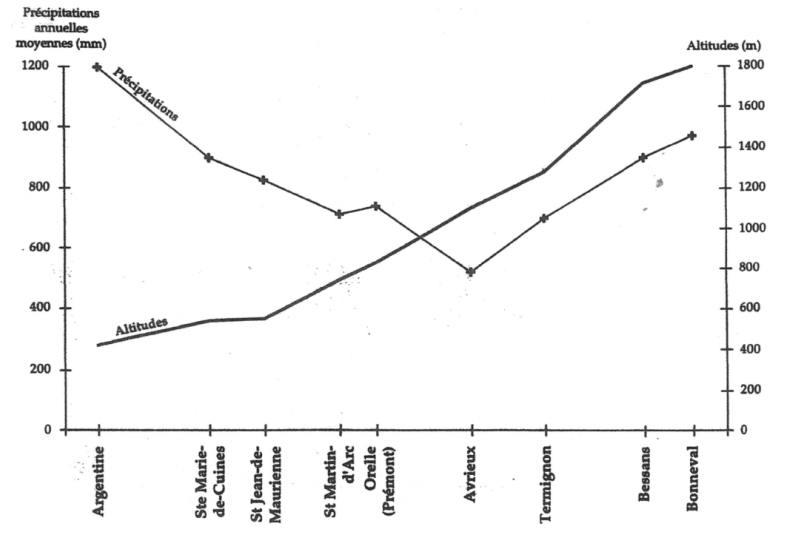


Fig. 3.14 — Evolution des précipitations annuelles moyennes le long de la vallée de la Maurienne

D'après données du Centre Départemental Météorologique de la Savoie

# 4— Lac proglaciaire de la Fournache

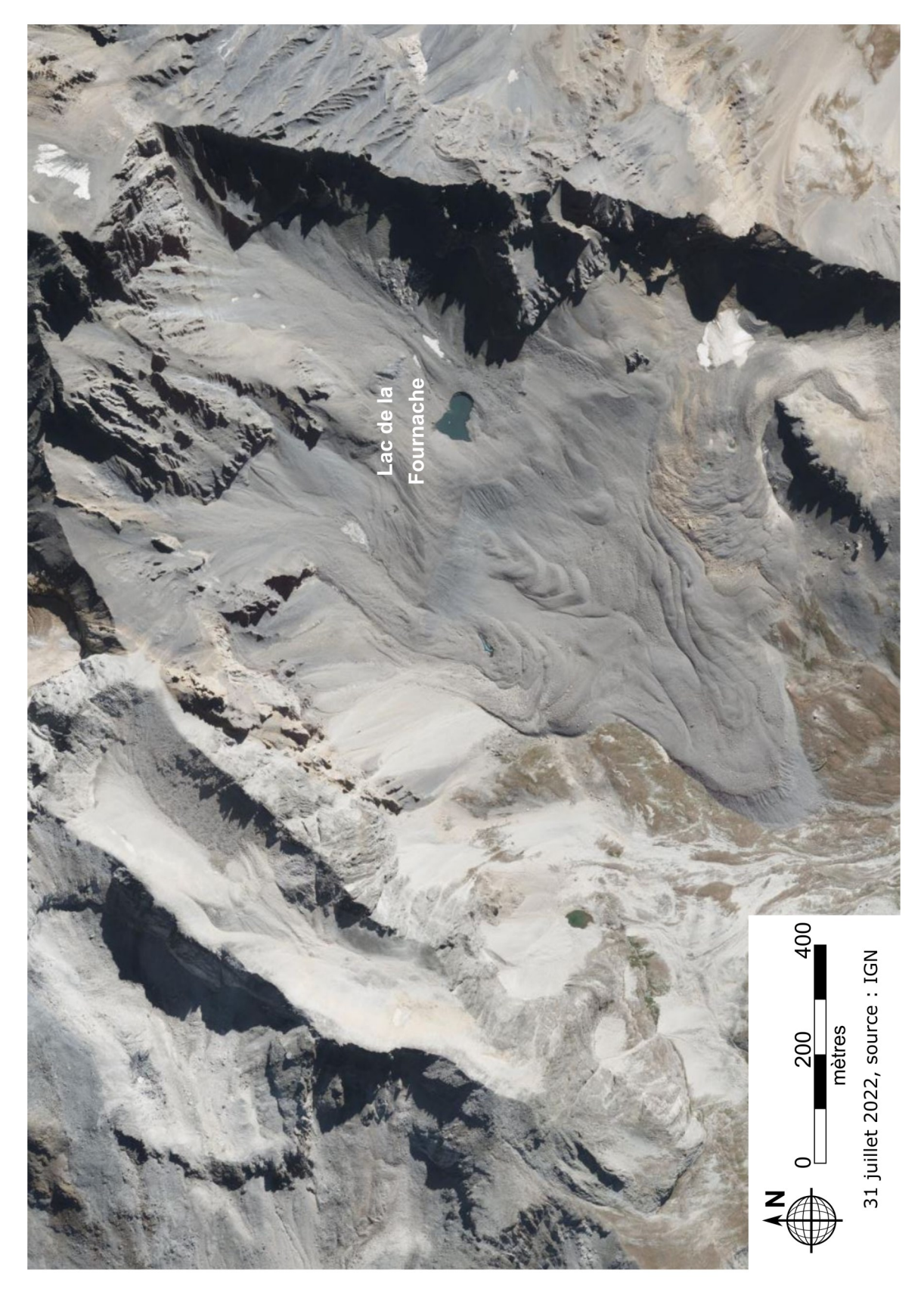
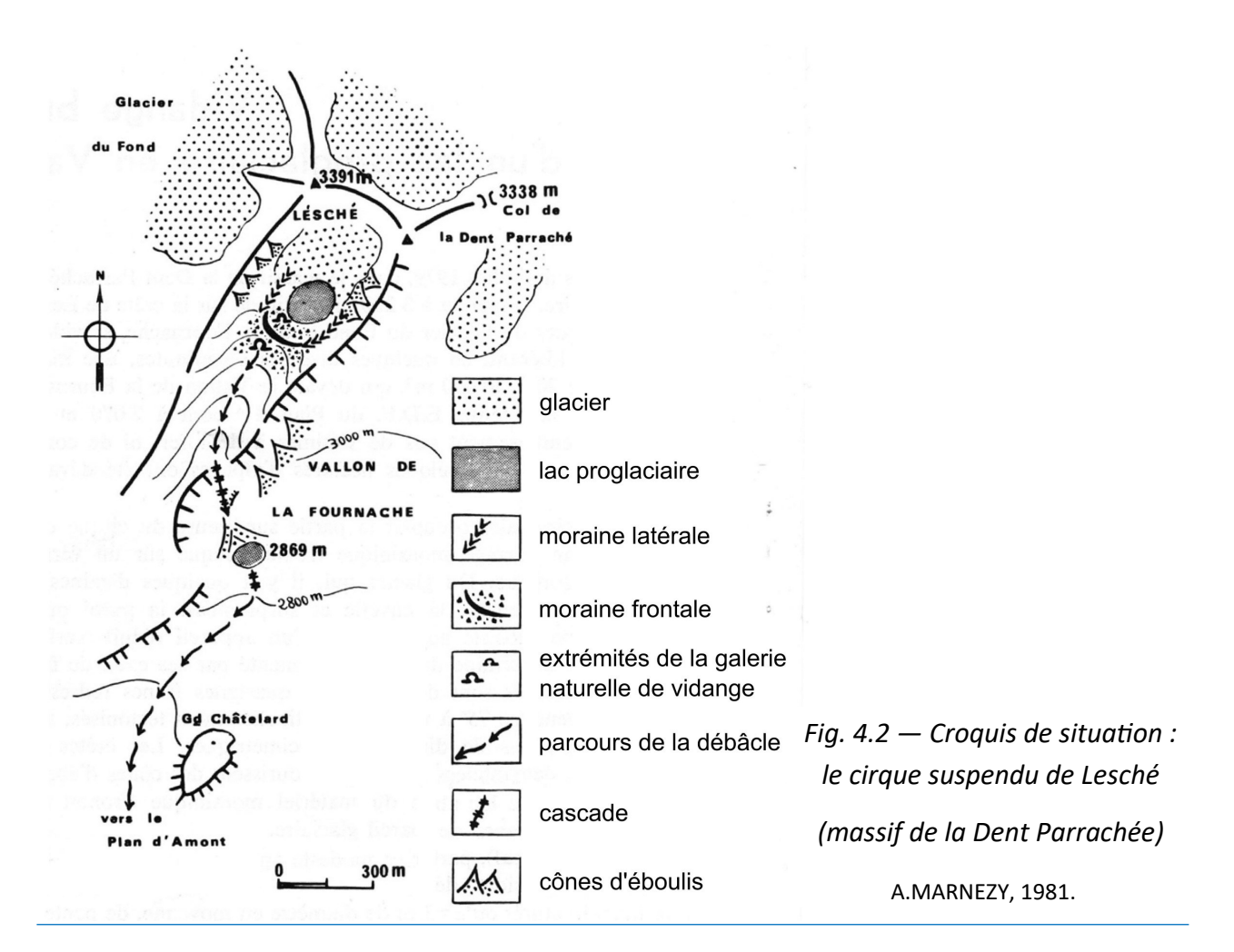


Fig. 4.1 — Photo aérienne ortho-rectifiée du glacier rocheux et du lac de la Fournache (2022)



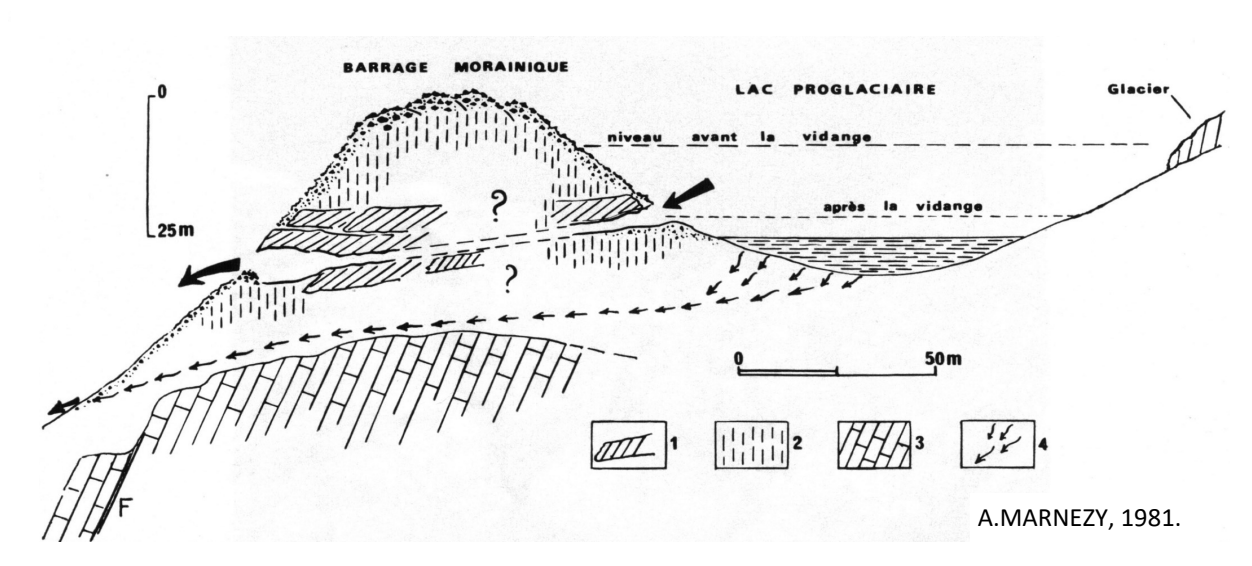
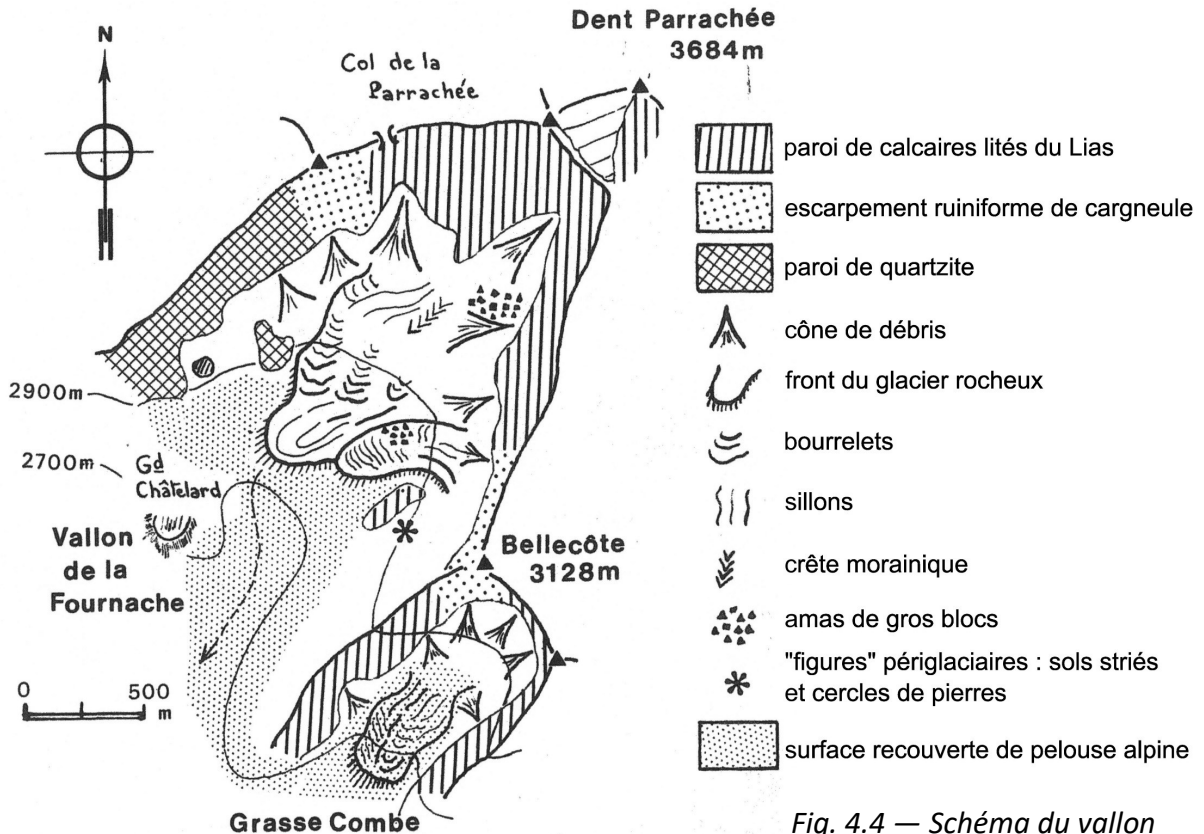


Fig. 4.3 — Coupe du barrage morainique et lac proglaciaire de Lesché

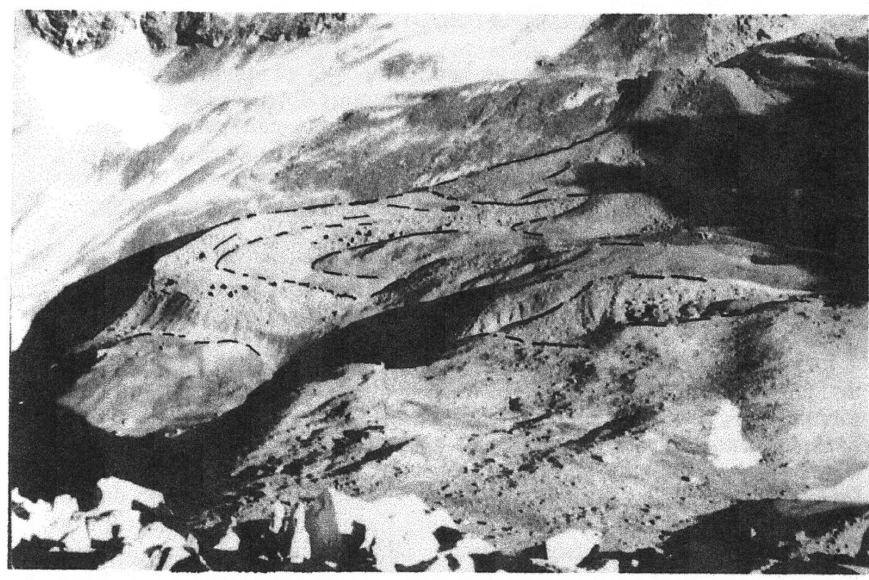
Légende: 1, banc de glace « de glacier » (« glaces mortes »); 2, agglomérat de débris rocheux soudés par de la glace de regel; 3, substratum (quartzites francs); 4, pertes, infiltrations, sous-écoulements.



Le Vallon de la Fournache. Un épais glacier rocheux, modelé de bourrelets et de sillons, s'est formé au pied des parois déchiquetées de la Dent Parrachée; une petite langue affluente descend des crêtes de Bellecôte. Un autre glacier rocheux, probablement plus ancien, recouvert de pelouse, se niche dans le cirque Sud Est de Bellecôte.

Fig. 4.4 — Schéma du vallon de la Fournache

A.MARNEZY, 1982.



Le glacier rocheux de la Fournache, vu de Bellecôte. Masse sombre de pierrailles recouvrant les résidus d'un glacier (du XIX<sup>e</sup> siècle?). Un lent déplacement vers l'aval a déterminé la création de bourrelets et de sillons à sa surface. Le front, sous l'effet de la poussée, se maintient raide; des traces noirâtres trahissent les suintements issus de la fusion interne (Cliché Alain Marnézy).

Fig. 4.5 — Le glacier rocheux de la Fournache

A.MARNEZY, 1982.

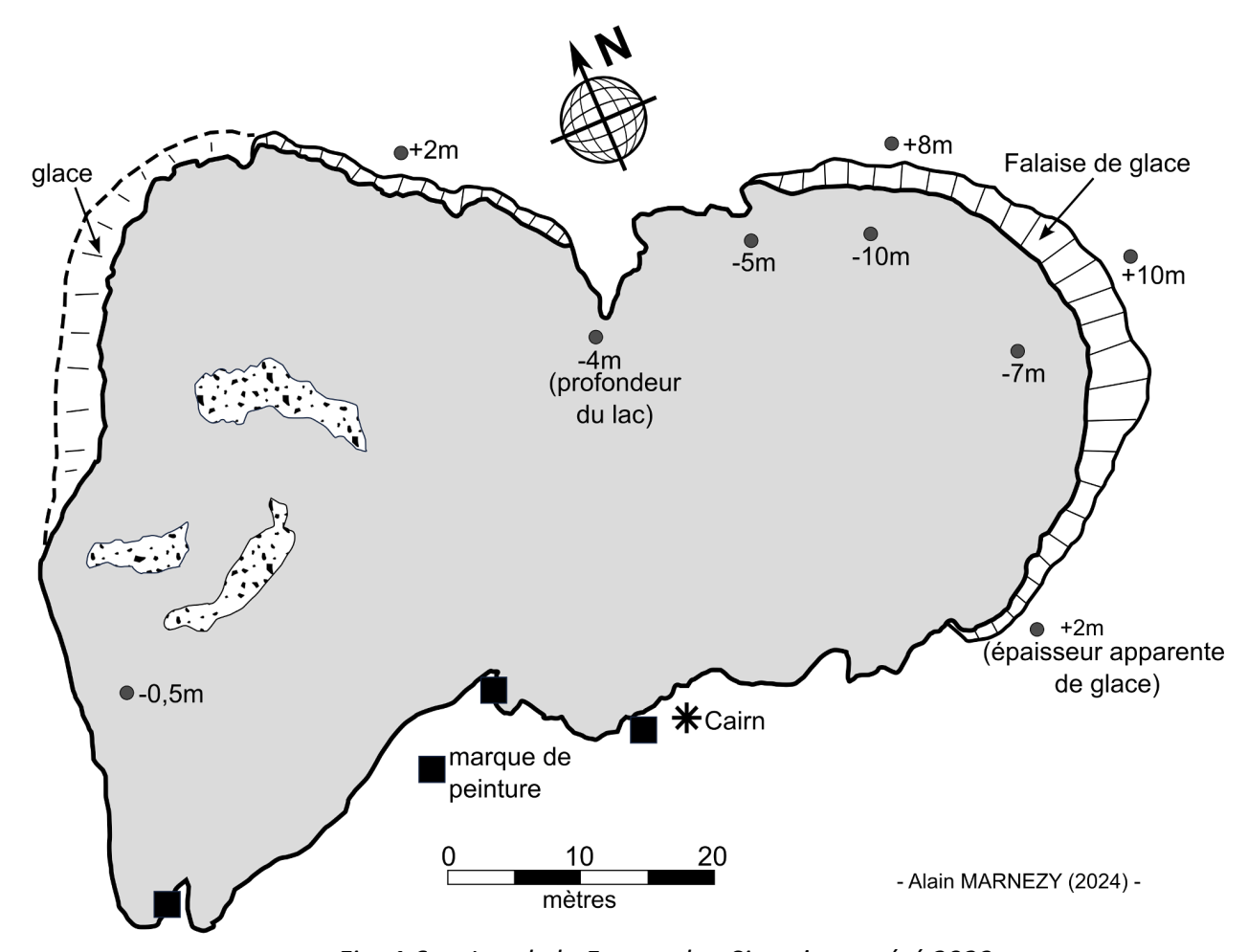


Fig. 4.6 — Lac de la Fournache. Situation en été 2023

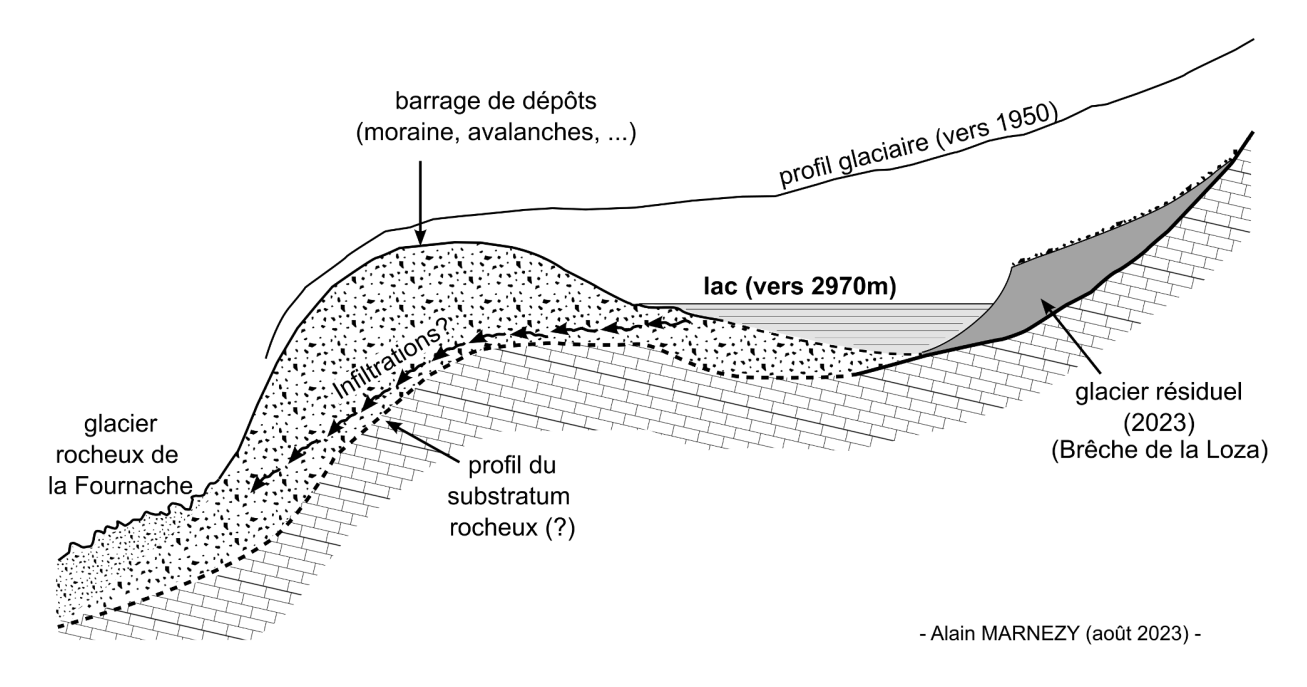


Fig. 4.7— Lac de la Fournache (2023). Schéma d'interprétation

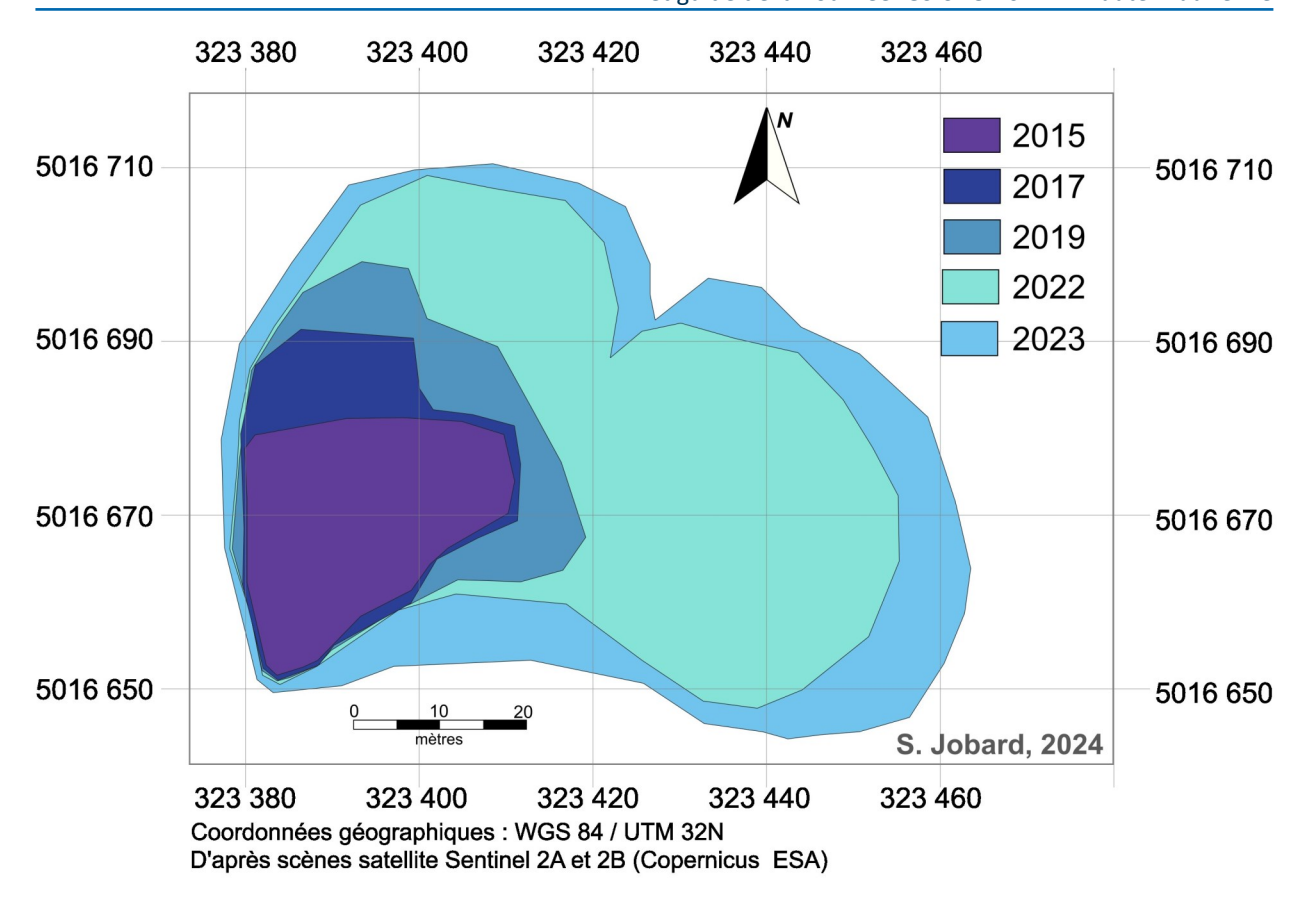


Fig. 4.8 — Carte de l'évolution du lac proglaciaire de la Fournache

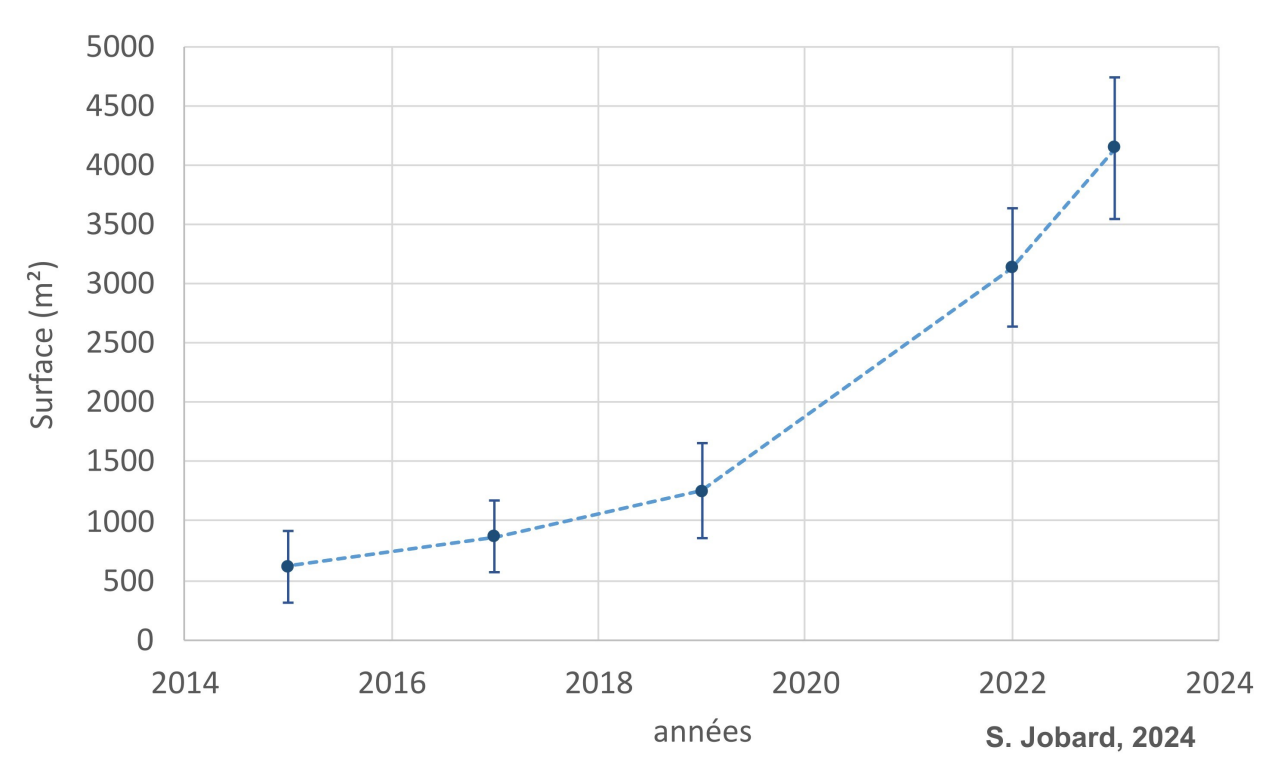
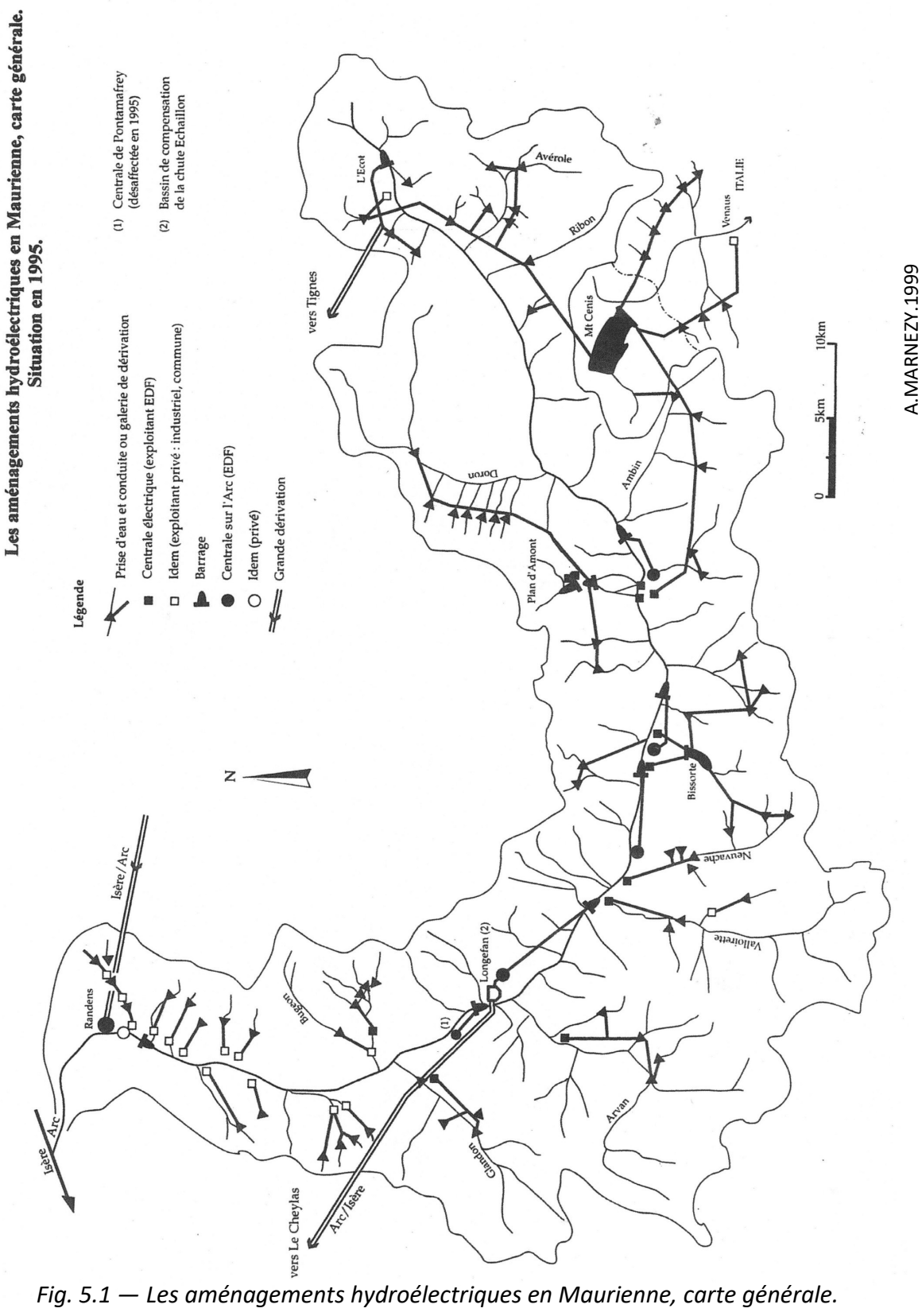


Fig. 4.9 — Variations de surface du lac proglaciaire de la Fournache

# 5- Hydroélectricité et colmatage sédimentaire d'origine glaciaire



Situation en 1995

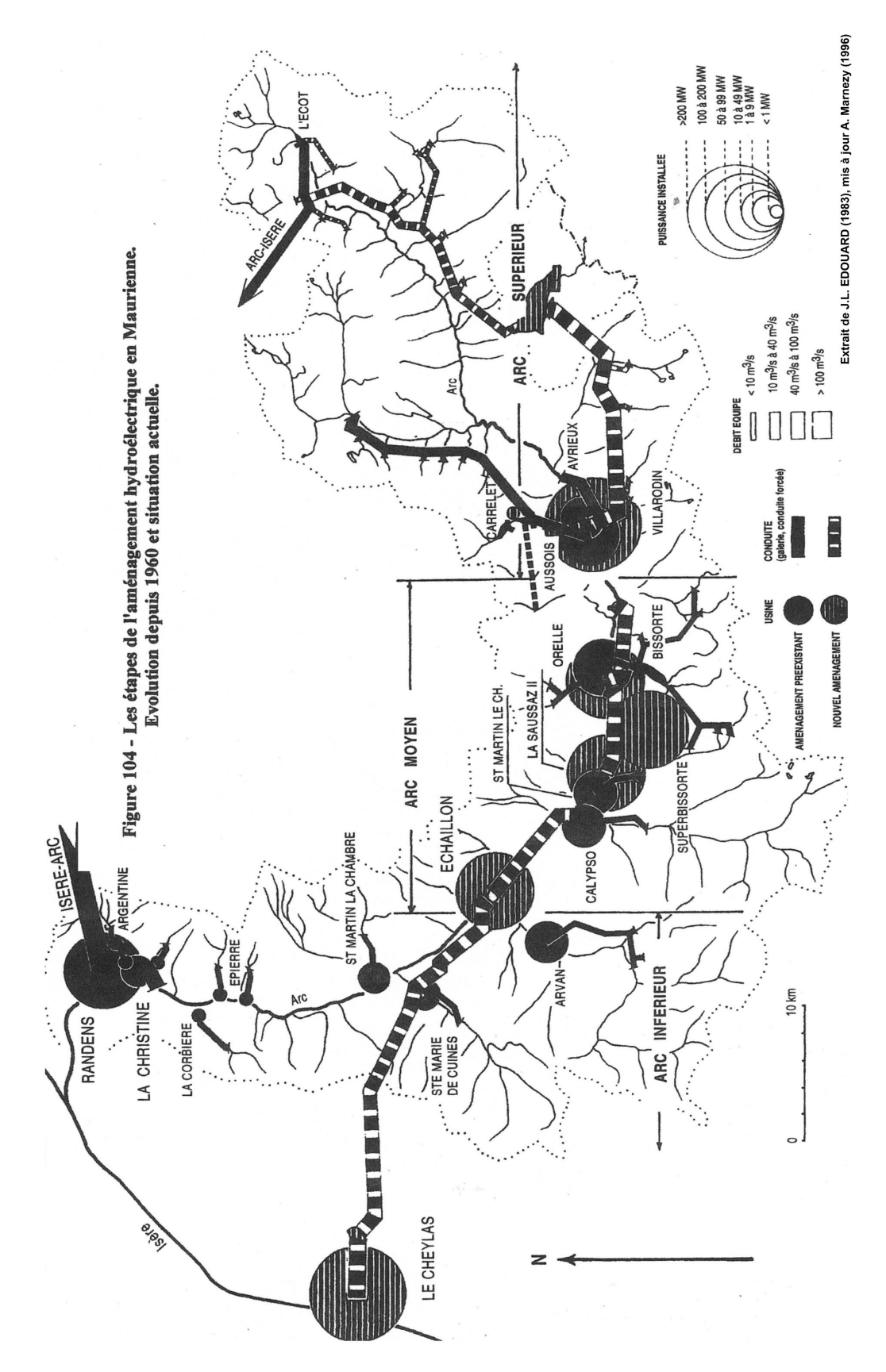


Fig. 5.2 — Les étapes de l'aménagement hydroélectrique en Maurienne. Evolution depuis 1960 et situation actuelle

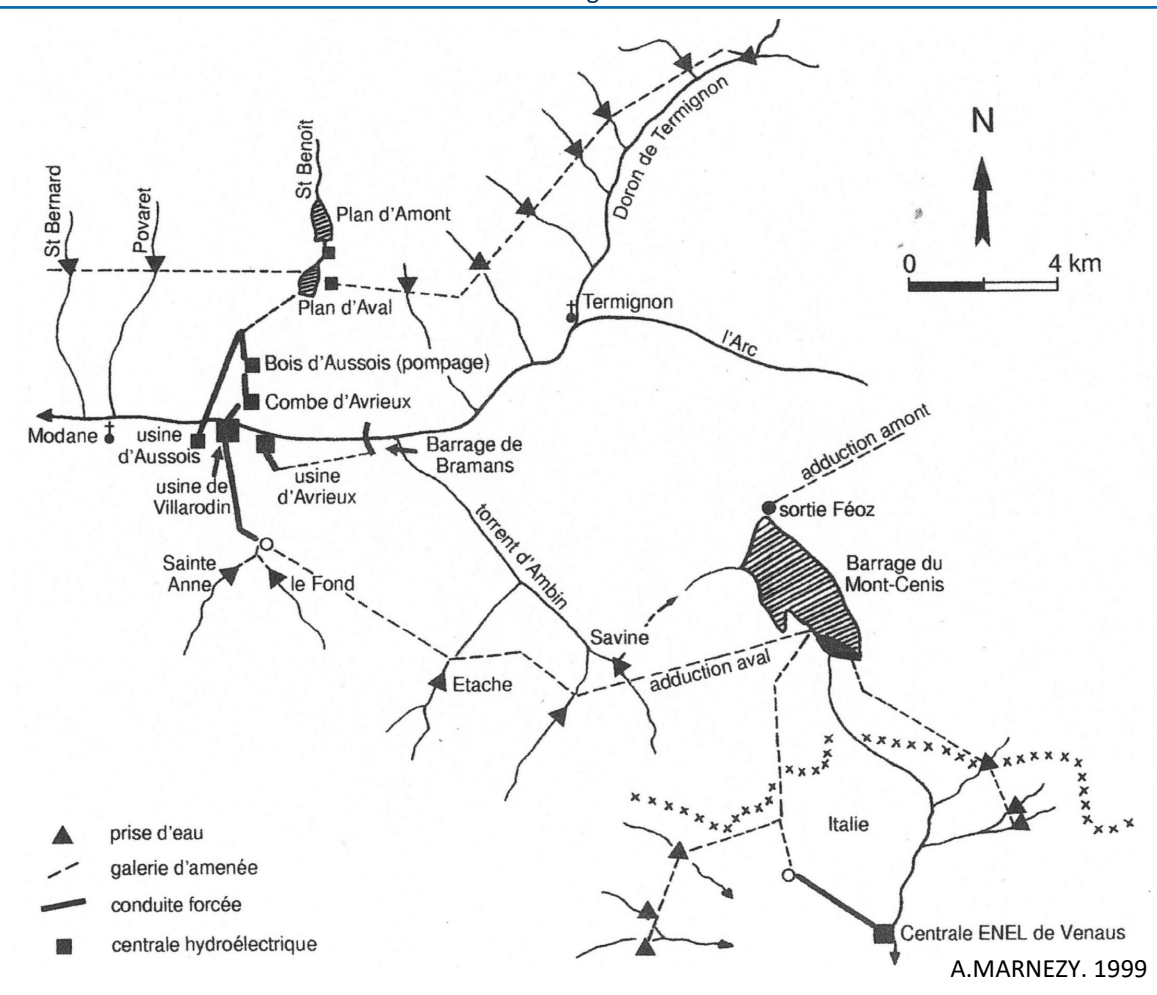


Fig. 5.3 — Le complexe Mont-Cenis / barrages d'Aussois. Plan de Situation.

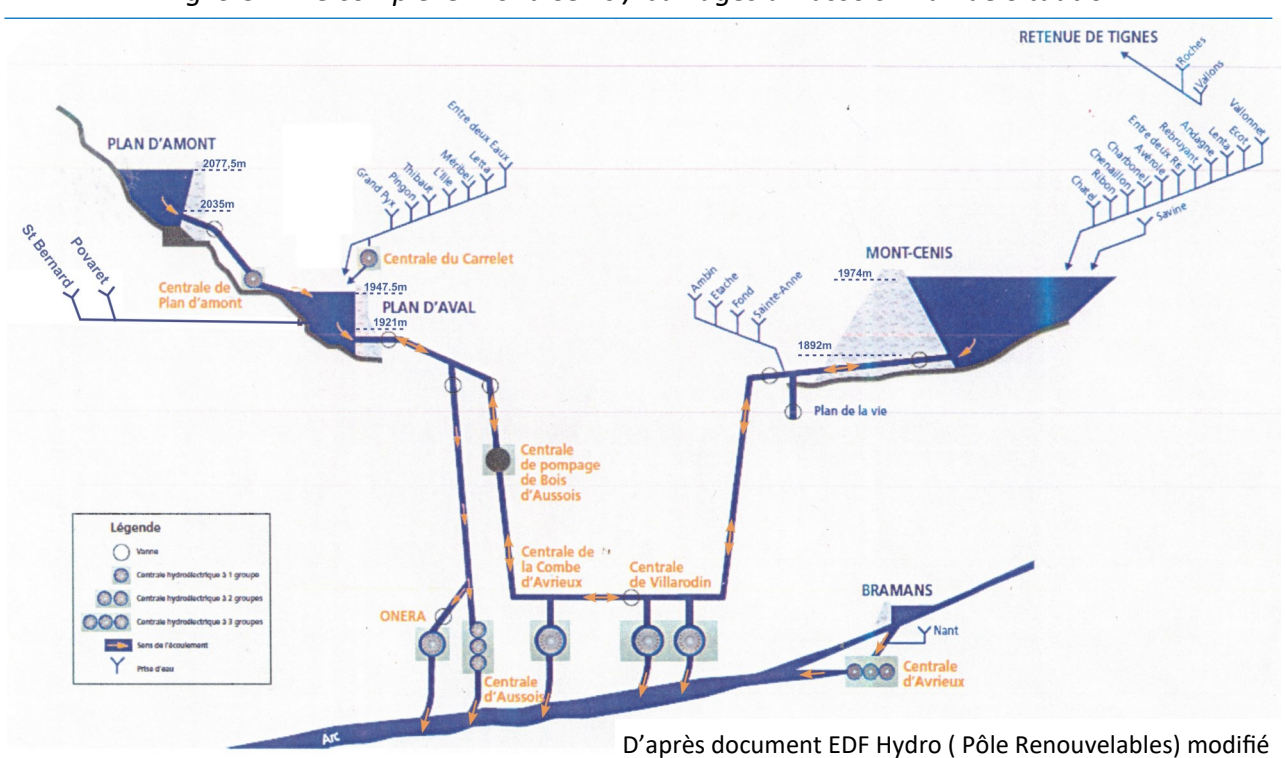


Fig. 5.4 — Schéma de fonctionnement du complexe hydroélectrique Mont-Cenis / barrages d'Aussois.

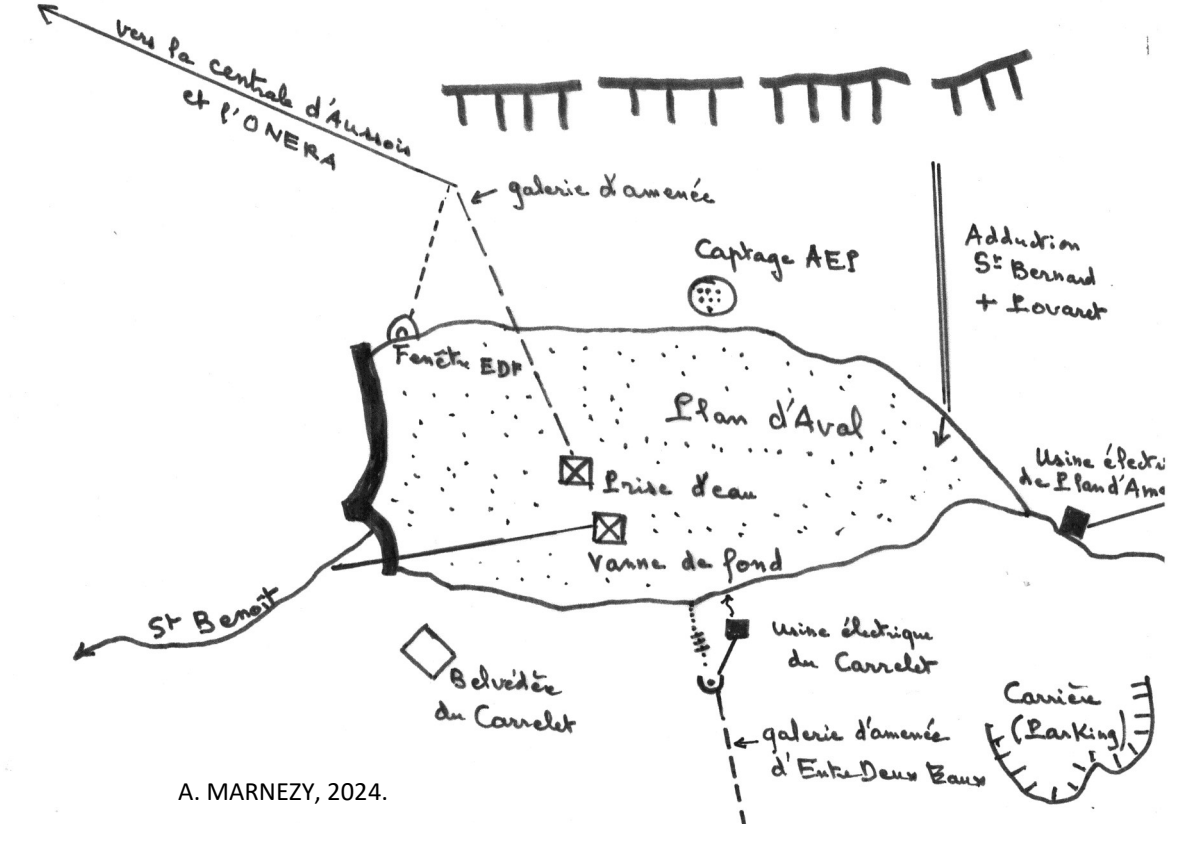


Fig. 5.5 — Le barrage de Plan d'Aval et ses équipements

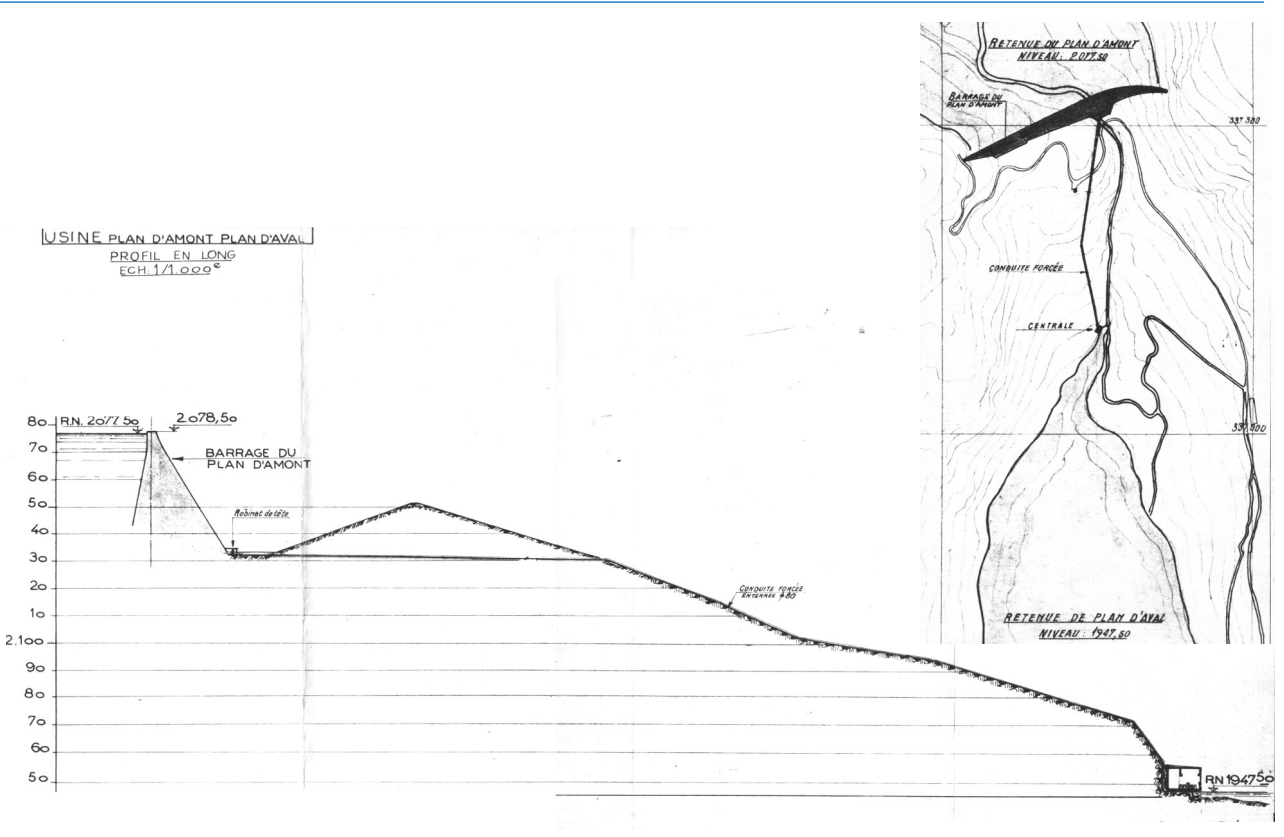


Fig. 5.6 — Usine hydroélectrique de Plan d'Amont-Plan d'Aval

Documents EDF, 1953.

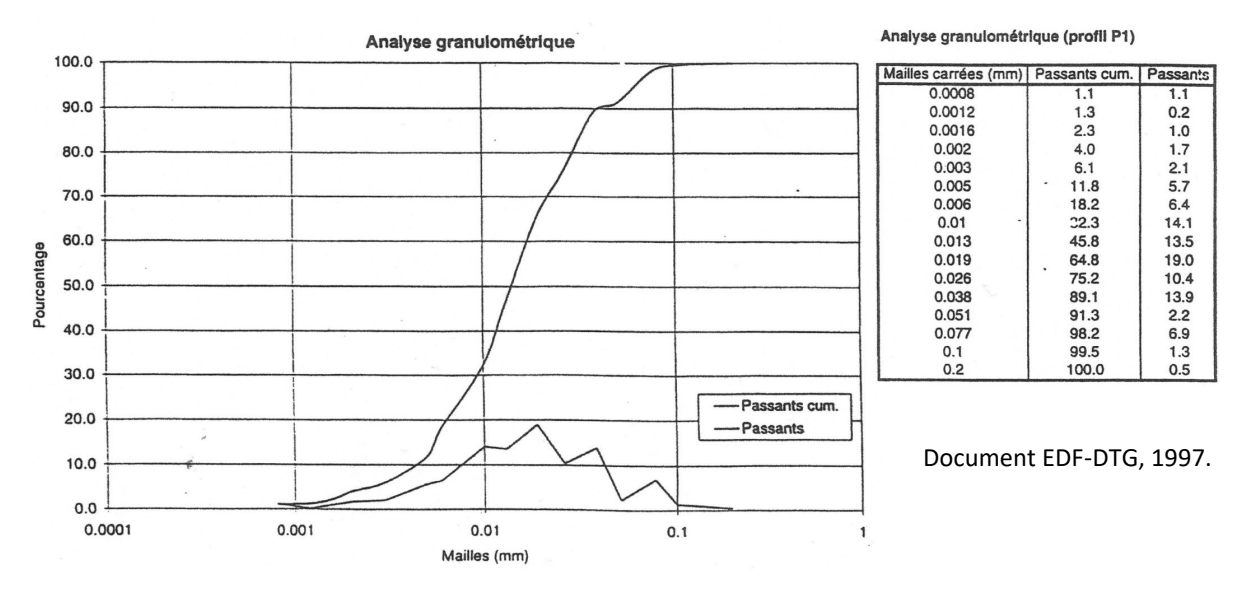


Fig. 5.7— Analyse granulométrique des dépôts de la retenue de Plan d'Aval.

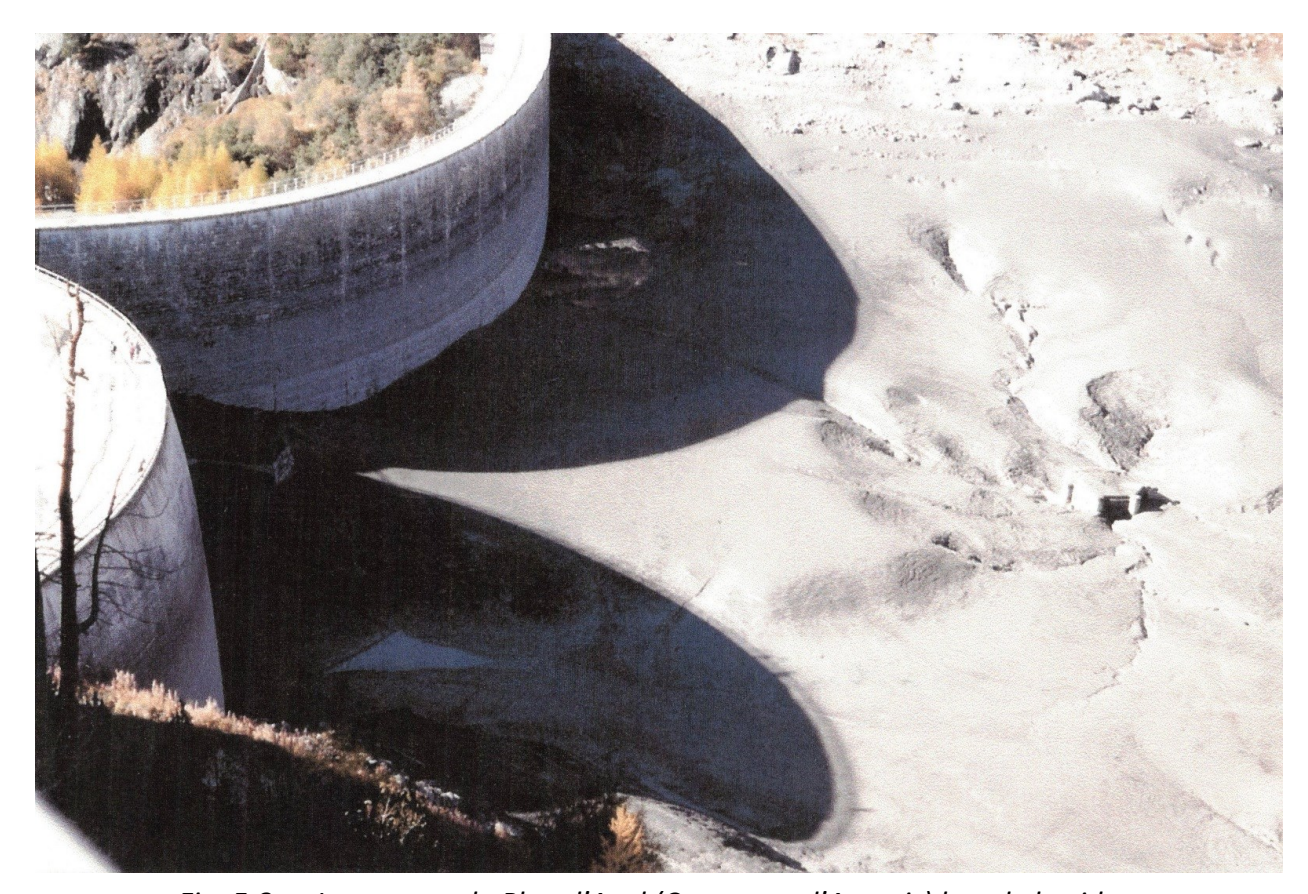


Fig. 5.8 — La retenue du Plan d'Aval (Commune d'Aussois) lors de la vidange décennale de sécurité, automne 1997

Accumulation de vase en provenance, pour l'essentiel, de la dérivation du Doron de Termignon (captage des torrents glaciaires du massif de la Vanoise). A droite, la vanne de fond permettant la vidange. (Photo A.MARNEZY. 1997)

### - En coupe -

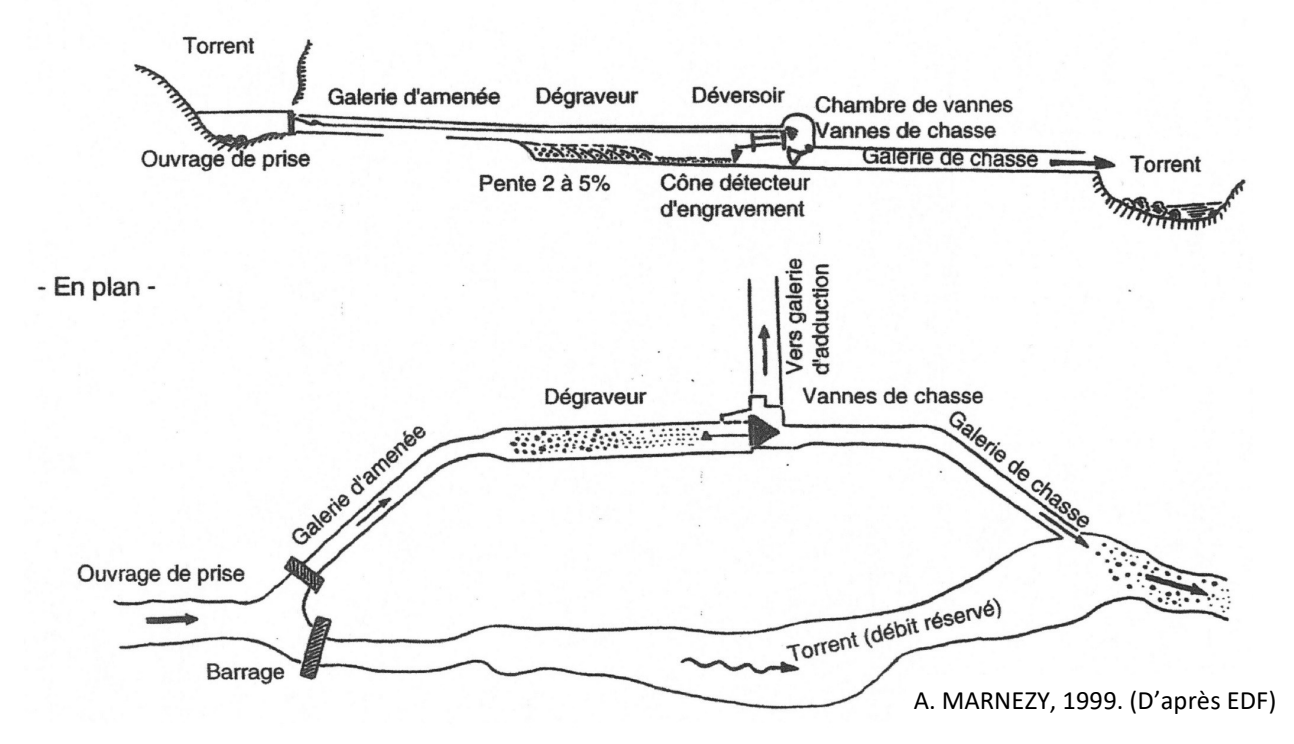


Fig. 5.9 — Schéma d'une prise d'eau automatique sur les torrents.

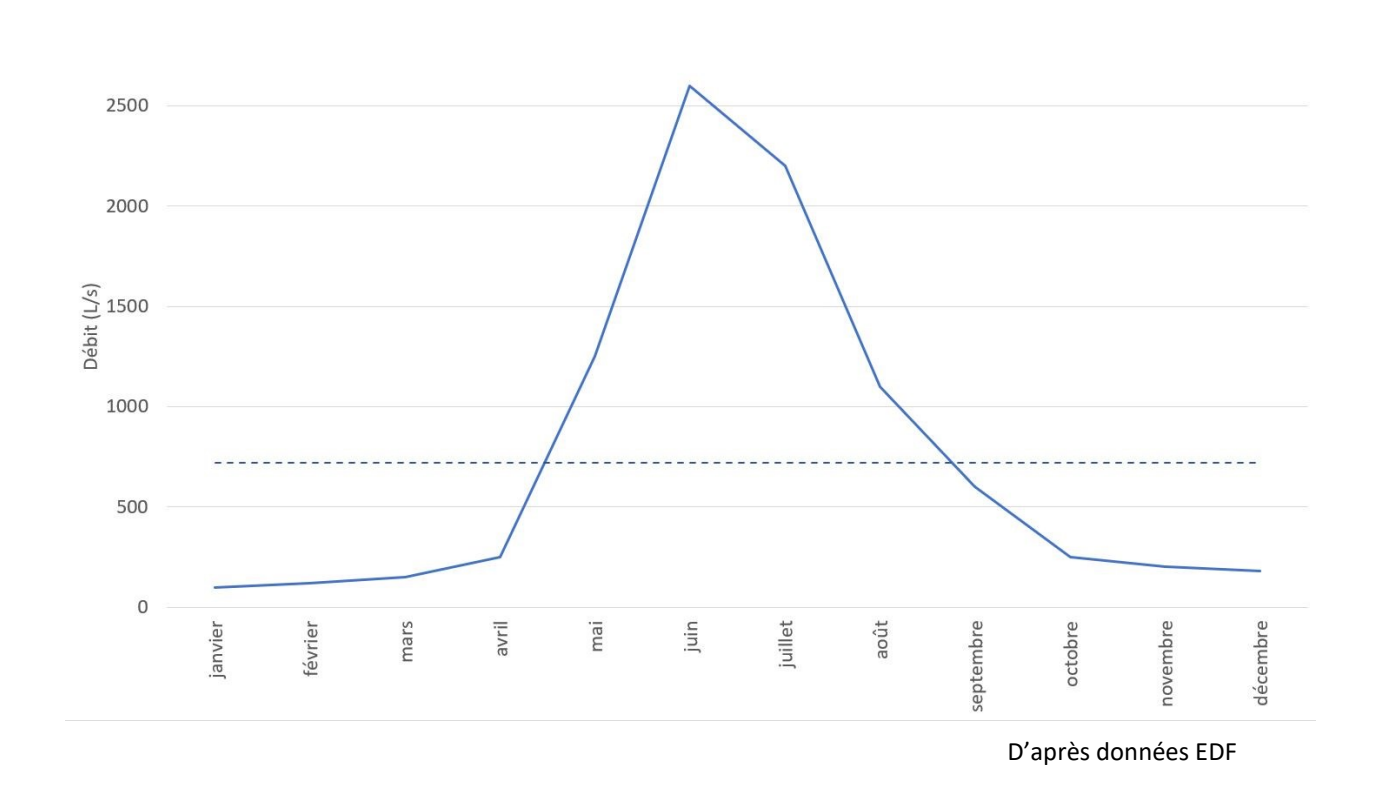


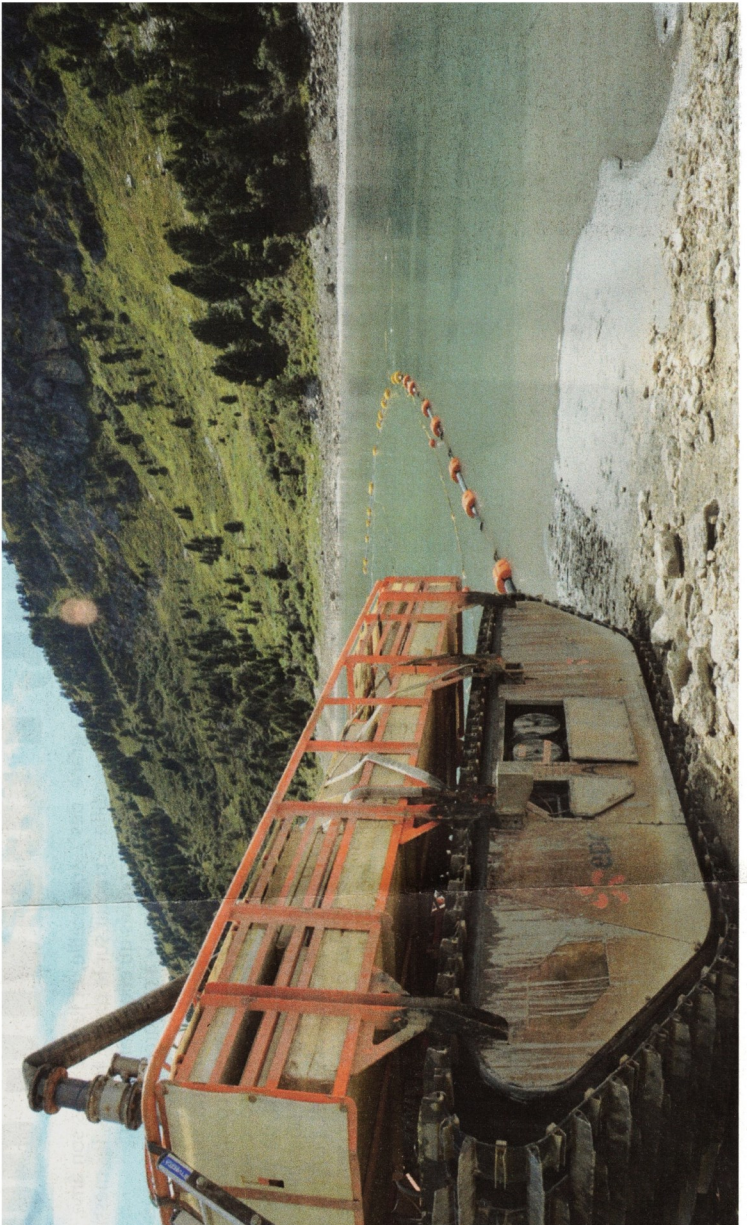
Fig. 5.10 — Débits moyens mensuels du ruisseau de St Benoît (au Plan d'Amont) - (1956 - 1980)

# e plan d'Aval à Aussois... ue dans les eaux

par semaine lors de sa maintenance. Sa de vidange de fond de la retenue. Les epuis le mois de juillet, une Contrairement aux légendes, celle-ci existe bien, elle est faite d'électronique et de capteurs. Ce robot subaquatique, développé par EDF et WATERTRACKS®, est le plus souvent immergé. Il ne sort de l'eau que 2 jours mission est d'aspirer près de 15 000 m³ de sédiments ciblés près de la tour sédiments sont une matière naturelle, provenant de la roche des montagnes, ransportés par les ruisseaux de l'amont vers l'aval et qui s'accumulent dans les retenues. L'enjeu est de sécuriser cette vanne afin d'éviter un colmatage lors Plan d'Aval d'Aussois : NESSIE® créature a élu domicile d'une vidange ou en cas d'urgence.

# Pendant ce temps-là, les centrales turbinent

cm, il lui faut faire plusieurs passages L'utilisation de NESSIE® permet de ne pas vider le barrage durant l'opération et donc aux centrales de continuer à turbiner. Dirigé depuis le poste de pilotage, il doit par endroit retirer 30 cm de sédiments. Sa capacité étant de 5 pour parvenir aux côtes cibles. Avec un avancement de 10 cm/s, l'intervention ments aspirés sont ensuite amenés via les canalisations jusqu'à un groupe de production de l'usine d'Aussois pour être turbinés et dilués avant d'être restitués à l'Arc. Olivier Gonzalez, chargé d'opérations génie civil, explique que va durer jusqu'en septembre. Les sédi



le taux de sédiments est maitrisé tout le long du processus avec des capteurs embarqués sur NESSIE®, au niveau du canal de fuite vers l'usine d'Aussois et dans la conduite vers l'Arrier

Camille HAULET

NESSIE® (New Environmental System for Sediment Innovative Evacuation)

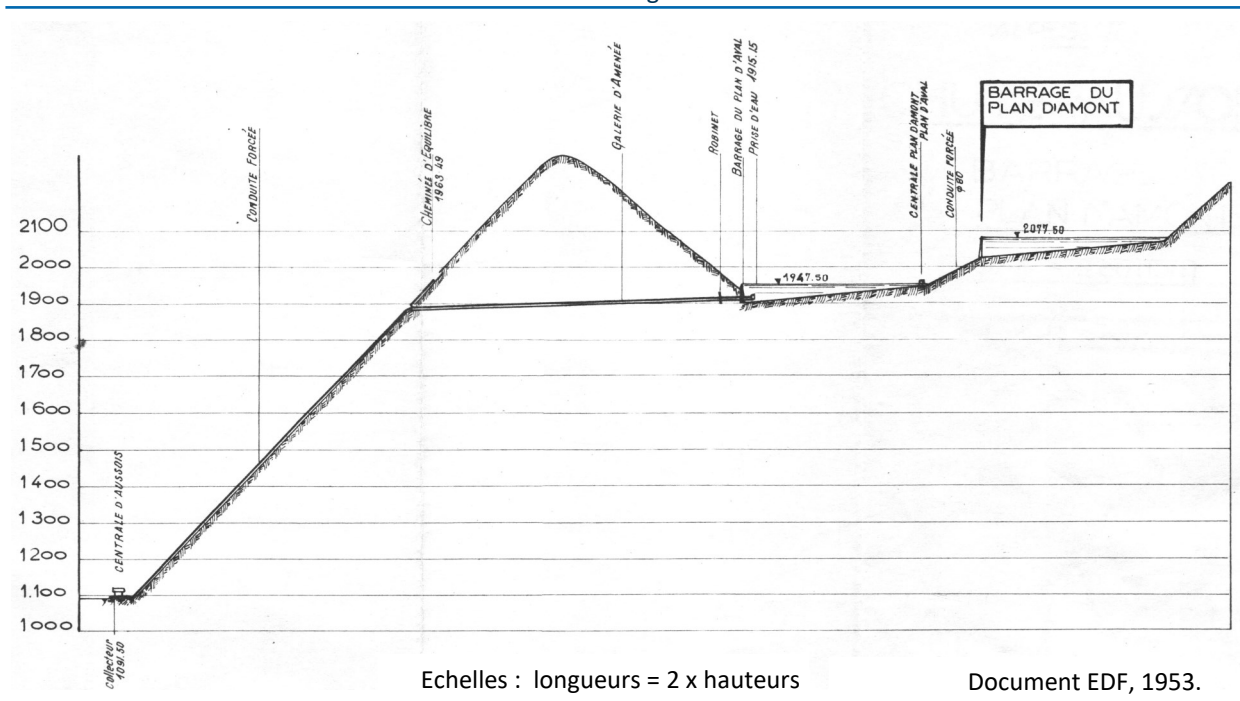


Fig. 5.12 — Profil en long de la chute d'Aussois

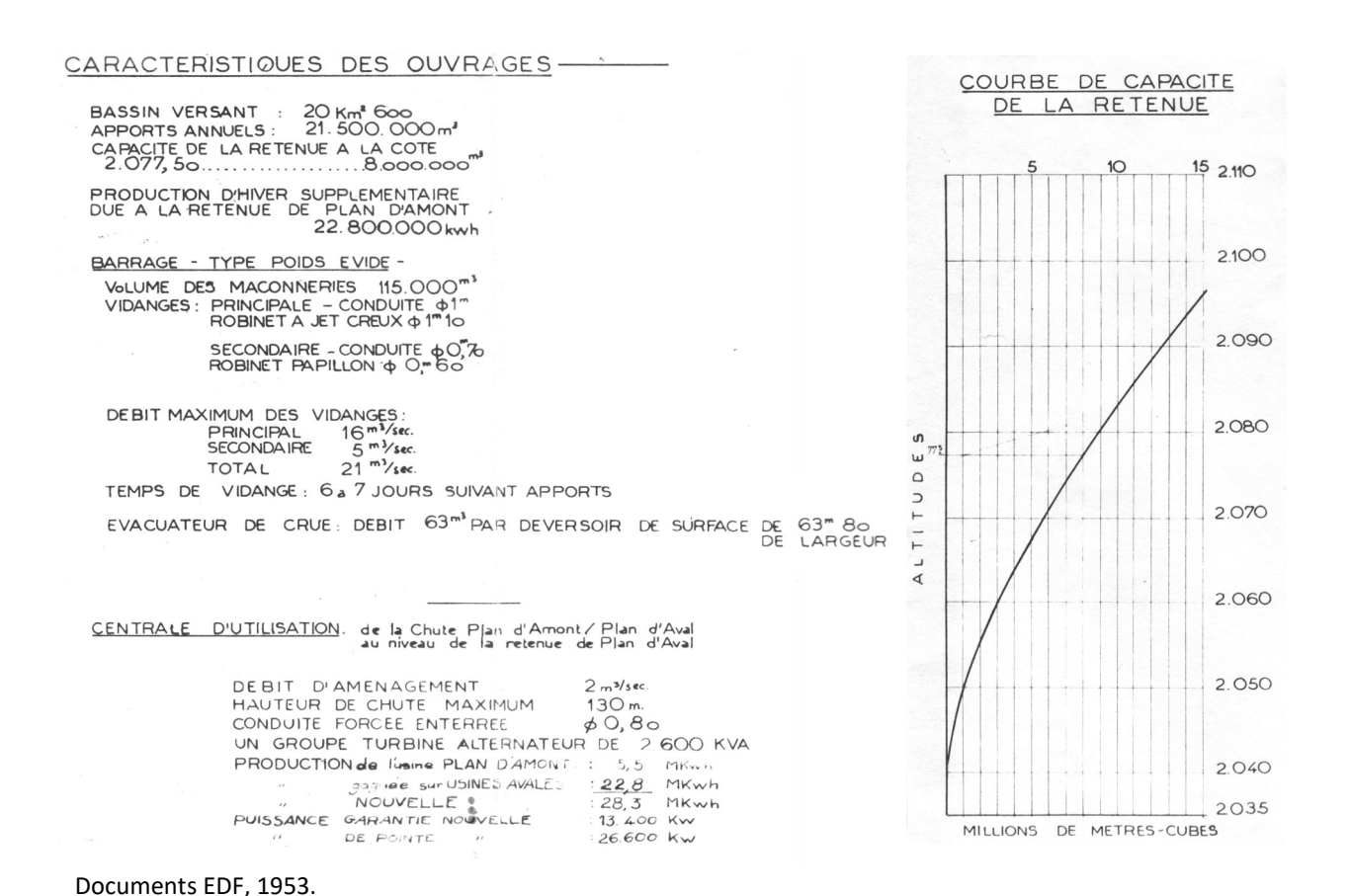
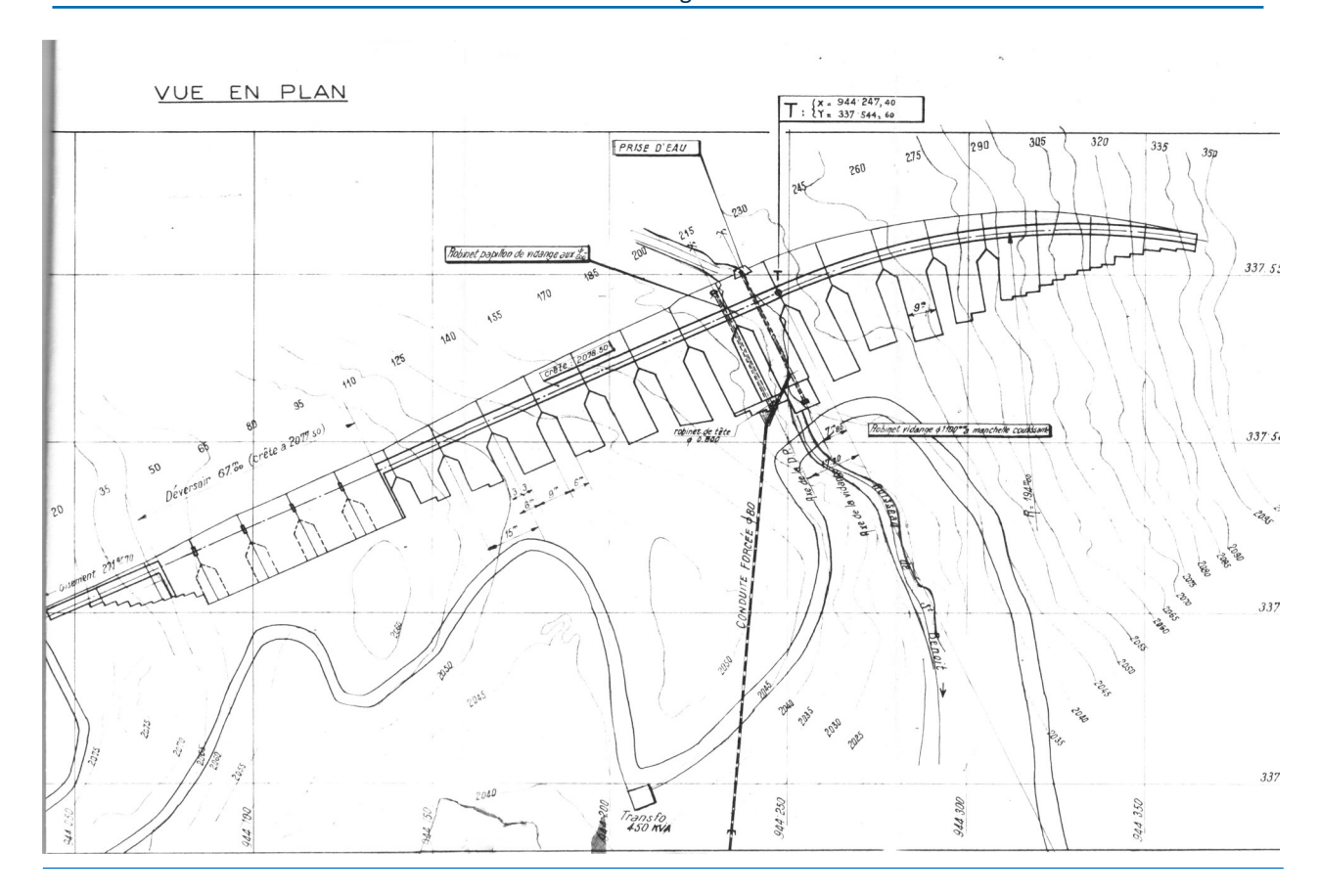


Fig. 5.13 — Caractéristiques du barrage de Plan d'Amont



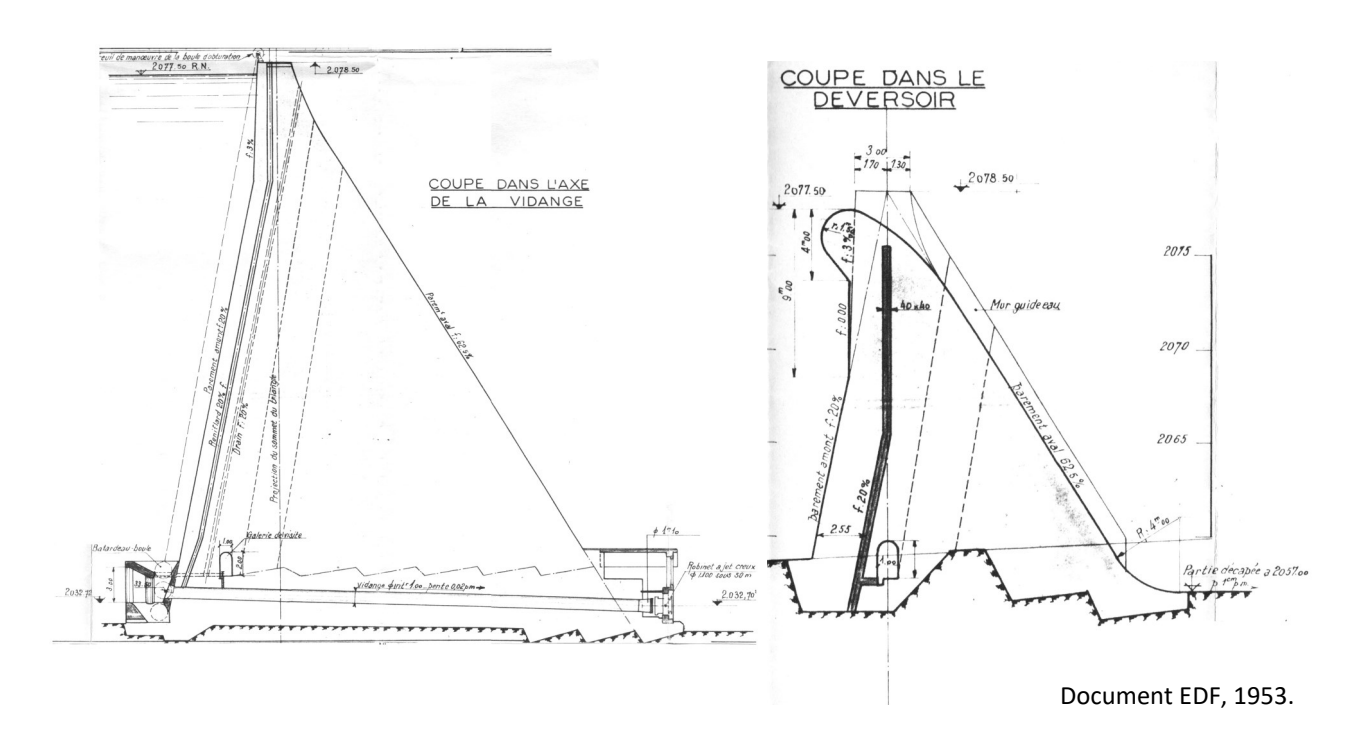


Fig. 5.14 — Vue en plan et en coupes du barrage de Plan d'Amont

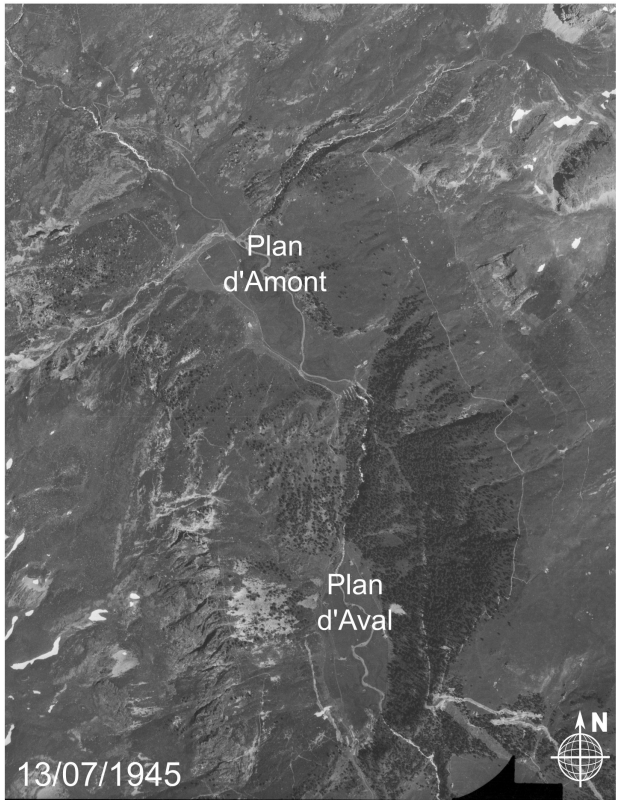


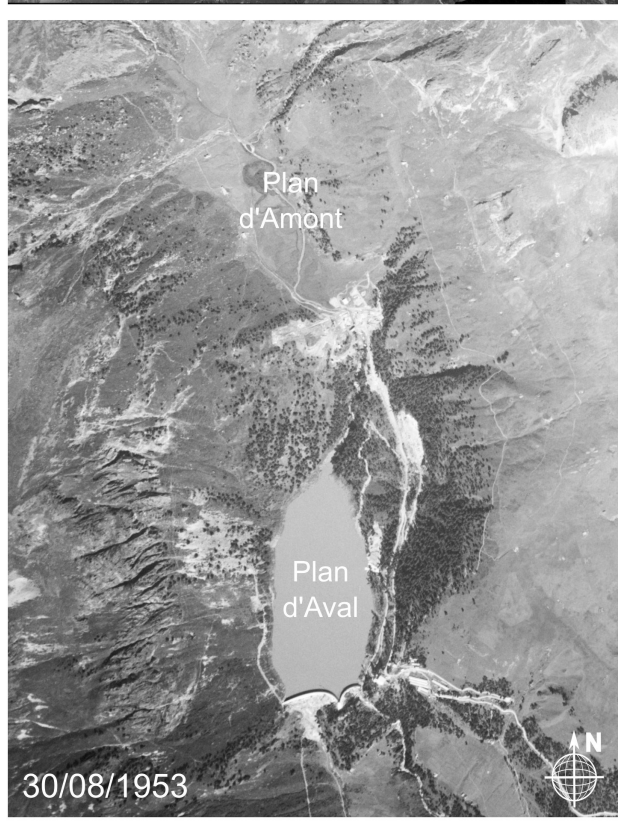
Fig. 5.15 — Photos aériennes historiques et actuelle des barrages d'Aussois

### Photographies aériennes IGN

1945 : IGNF\_PVA\_1-0\_\_1945-07-13\_\_C3840-0101\_1945\_MISSIONALPES13\_5024

1953: IGNF\_PVA\_1-0\_\_1952-08-22\_\_C3534-0091\_1952\_F3534\_0008

2022 : Capture d'écran Géoportail (https://www.geoportail.gouv.fr/)





# 6- Usages locaux de l'eau (Aussois et alentours)

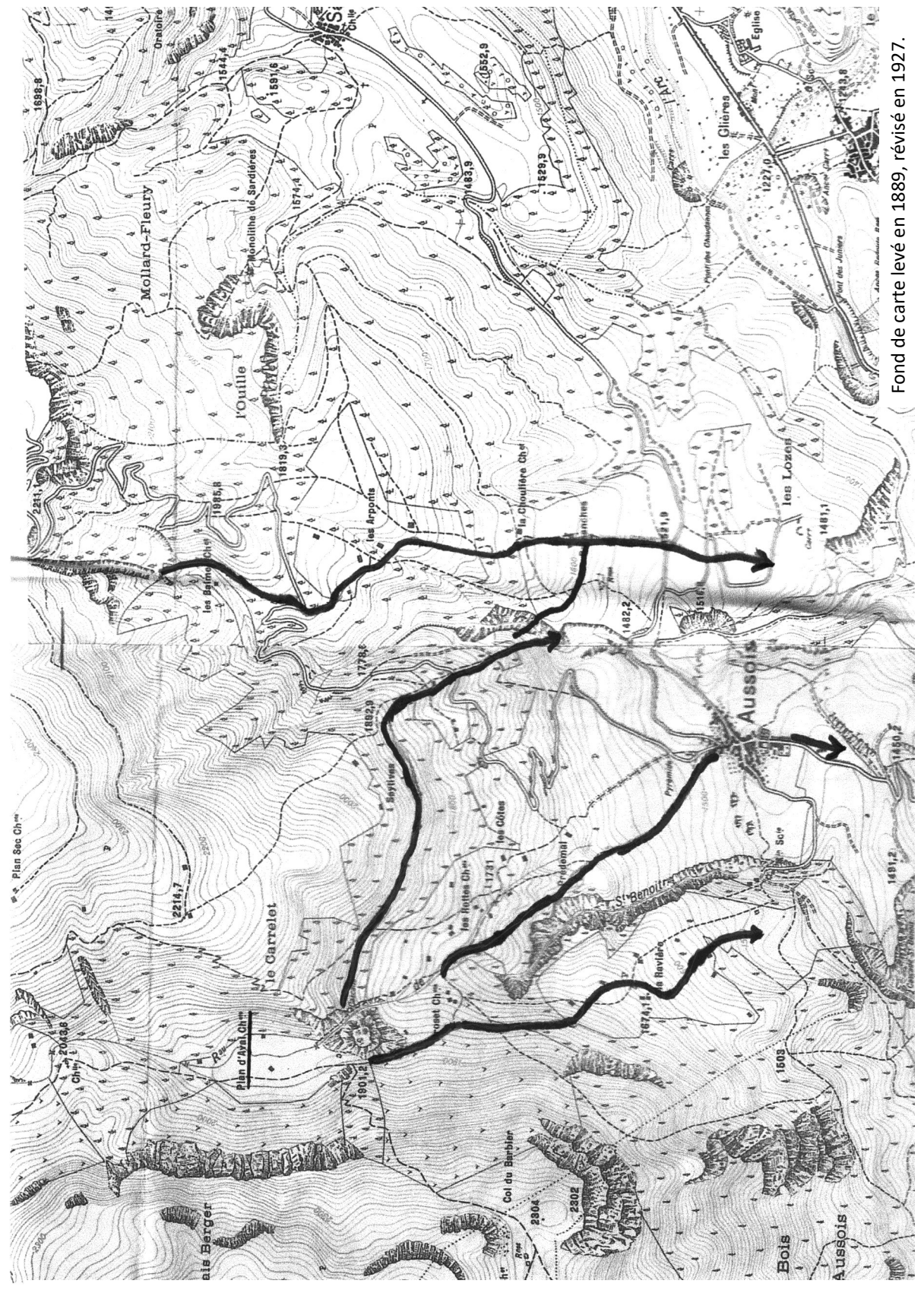


Fig. 6.1— Réseau d'irrigation traditionnel.

Principaux canaux de dérivation des torrents du St Benoît et du St Pierre

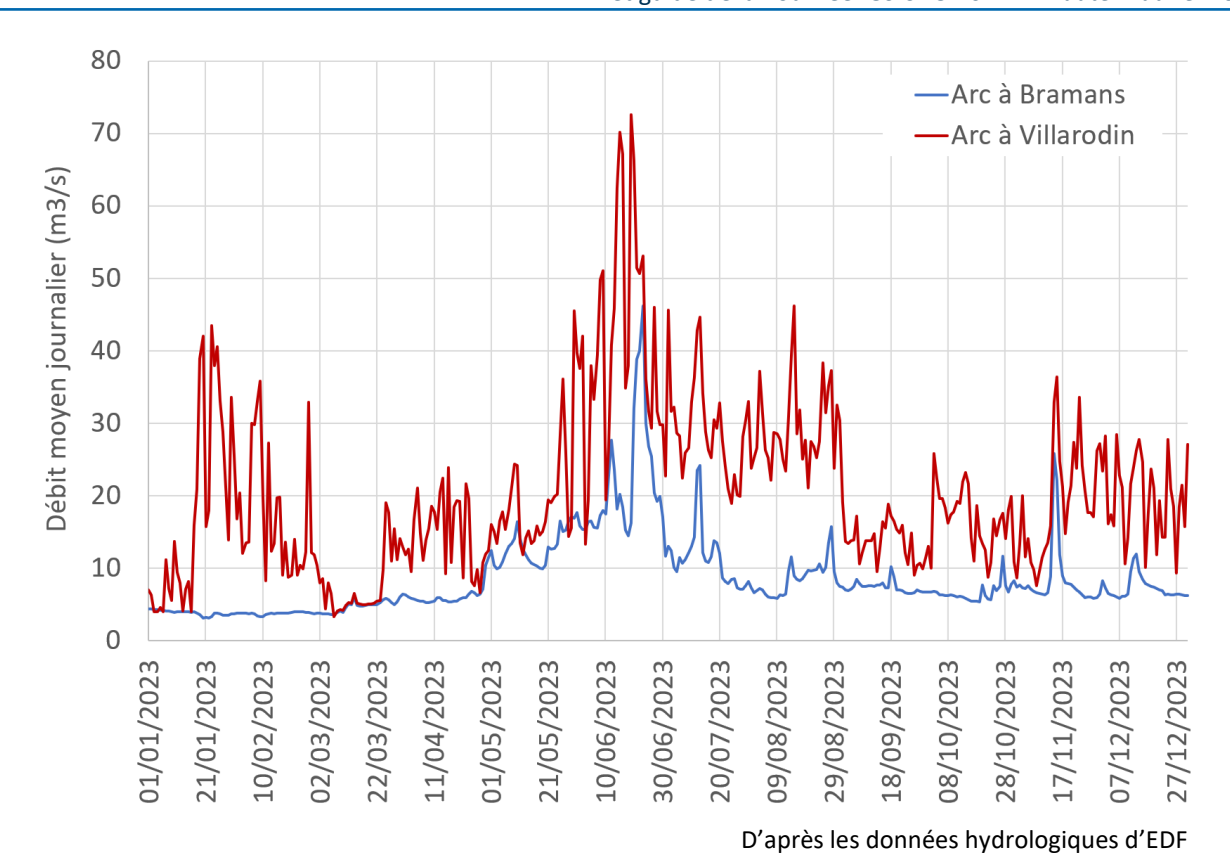


Fig. 6.2 — Les débits moyens journaliers de l'Arc à Bramans et à Villarondin

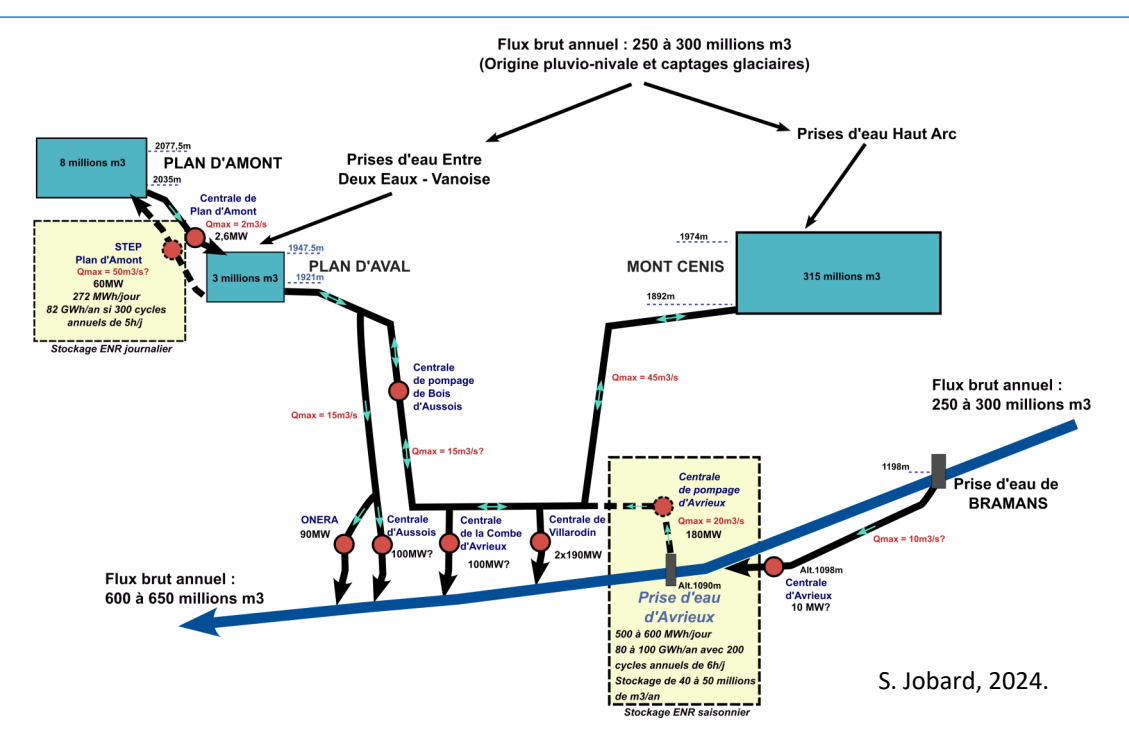


Fig. 6.3— Prospectives d'évolution du complexe hydro-électrique Mt Cenis-Aussois pour le stockage gravitaire

Ce système permettrait de stocker des excédents de production d'énergie renouvelable (grand éolien, photovoltaïque industriel), ou de production électro-nucléaire inutilisée

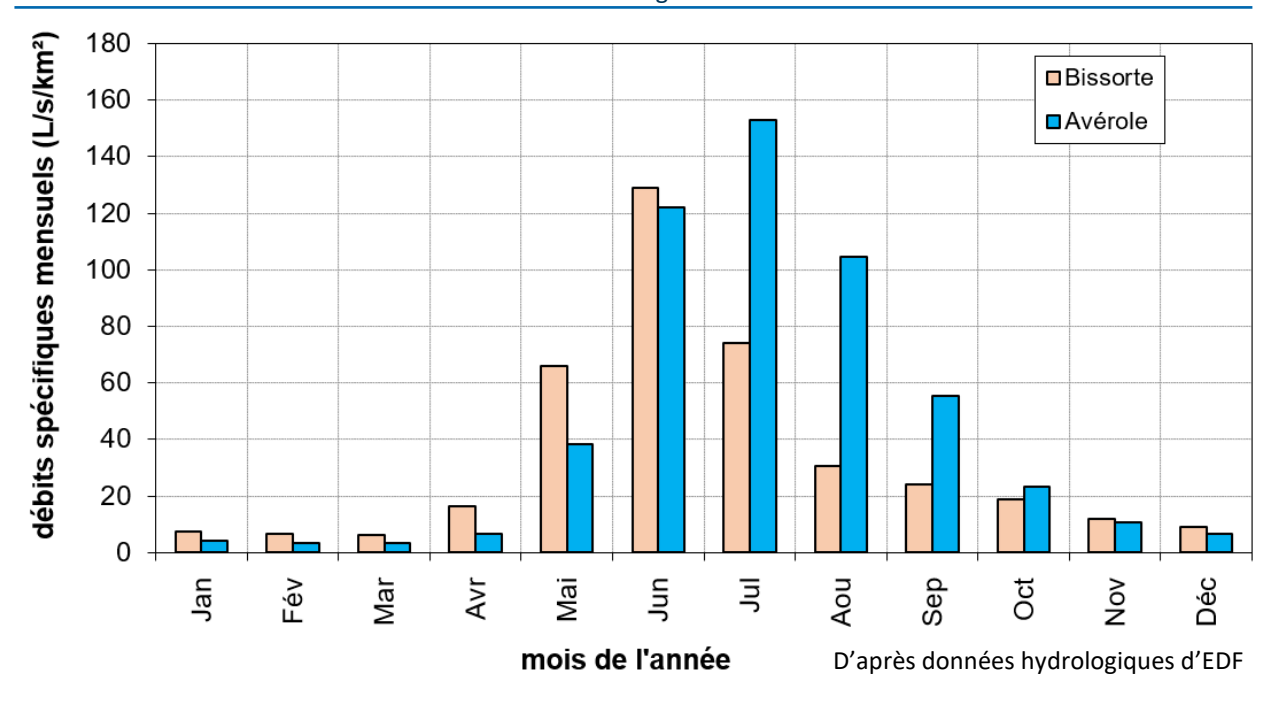


Fig. 6.4— Illustration des régimes hydrologiques nivo-glaciaire (Avérole) et nival pur (Bissorte)

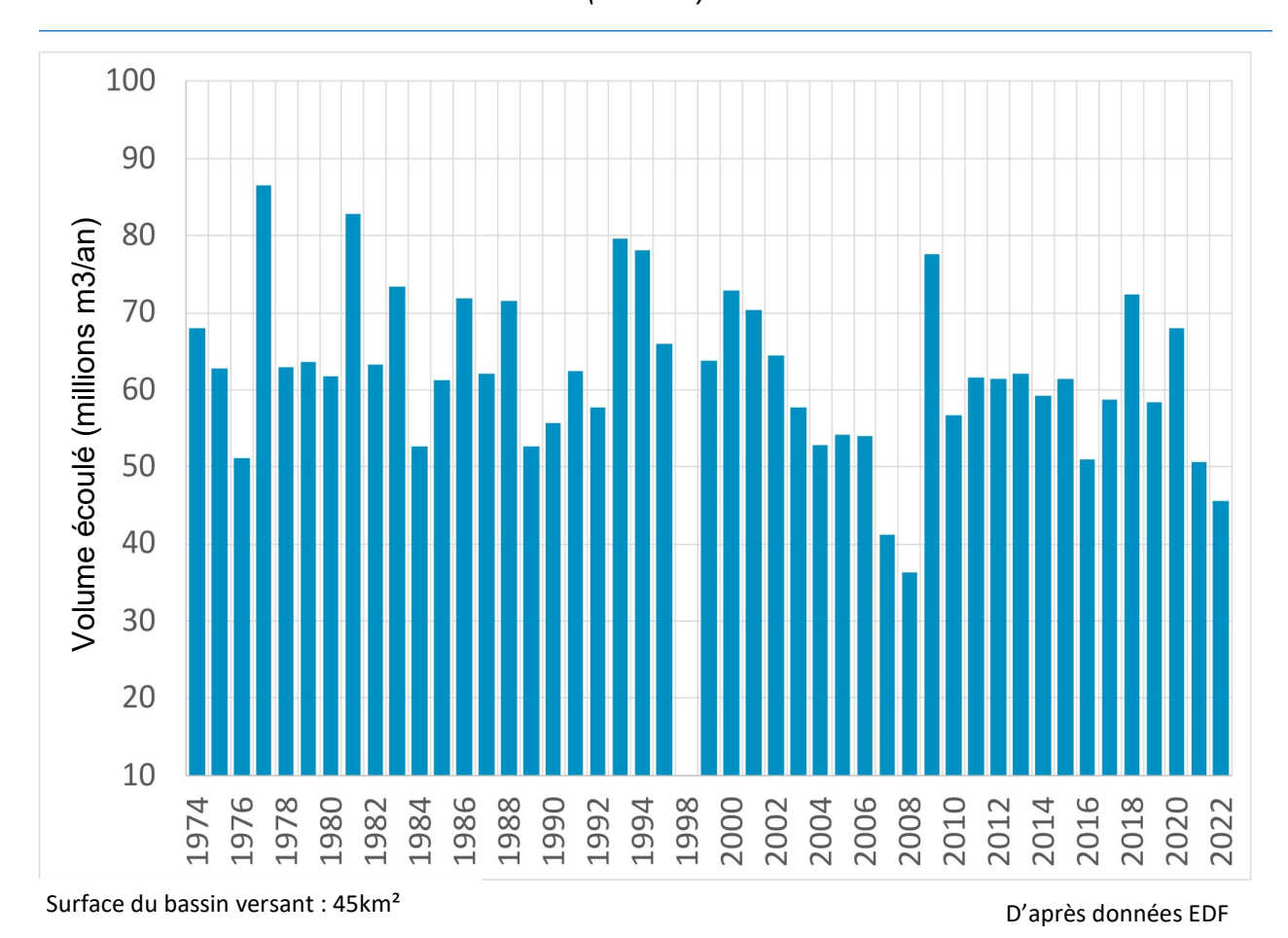


Fig. 6.5 - Débits annuels (volume écoulé reconstitué) à la prise d'eau d'Avérole.

# 7- Suivi glaciologique en Haute Maurienne

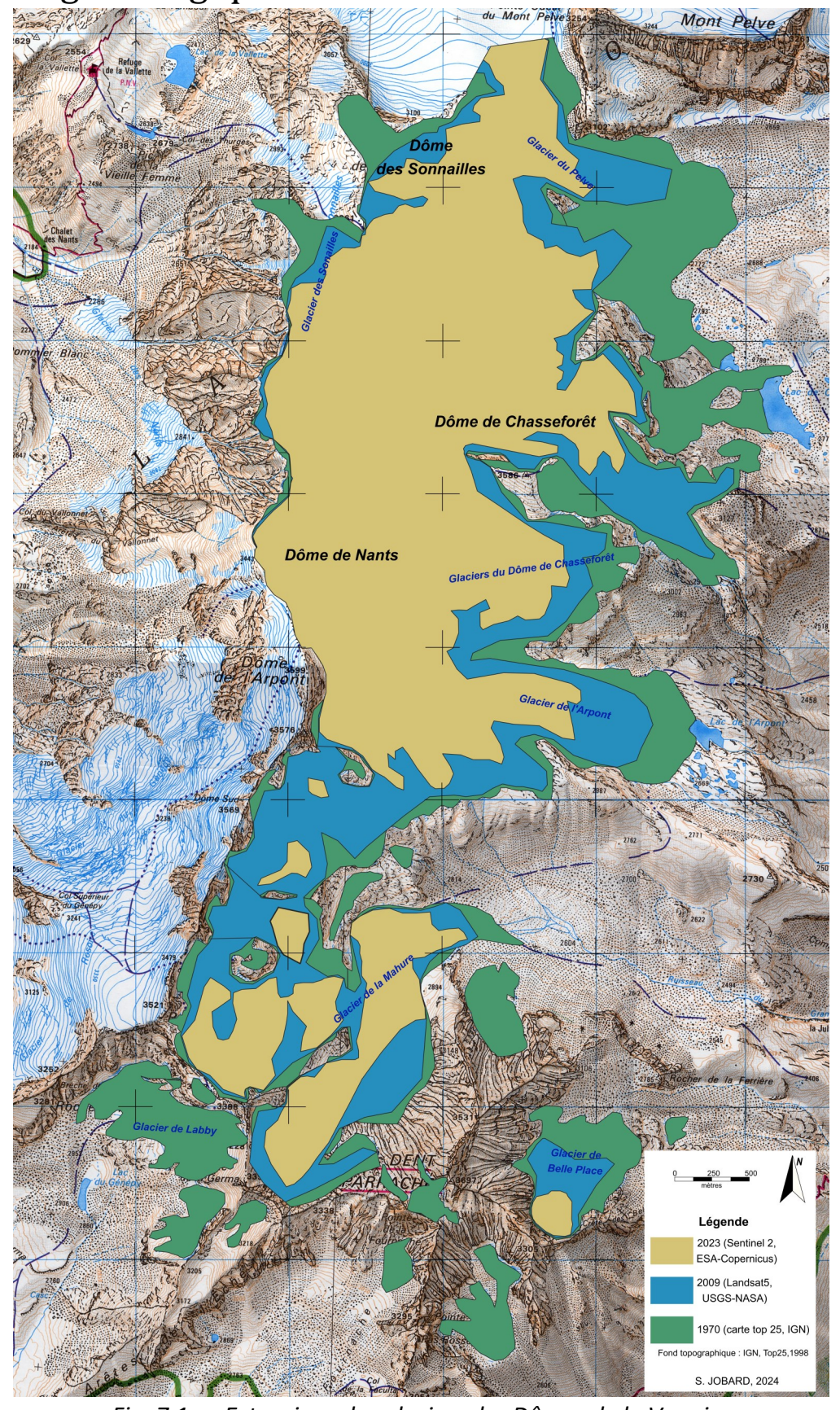


Fig. 7.1 — Extensions des glaciers des Dômes de la Vanoise

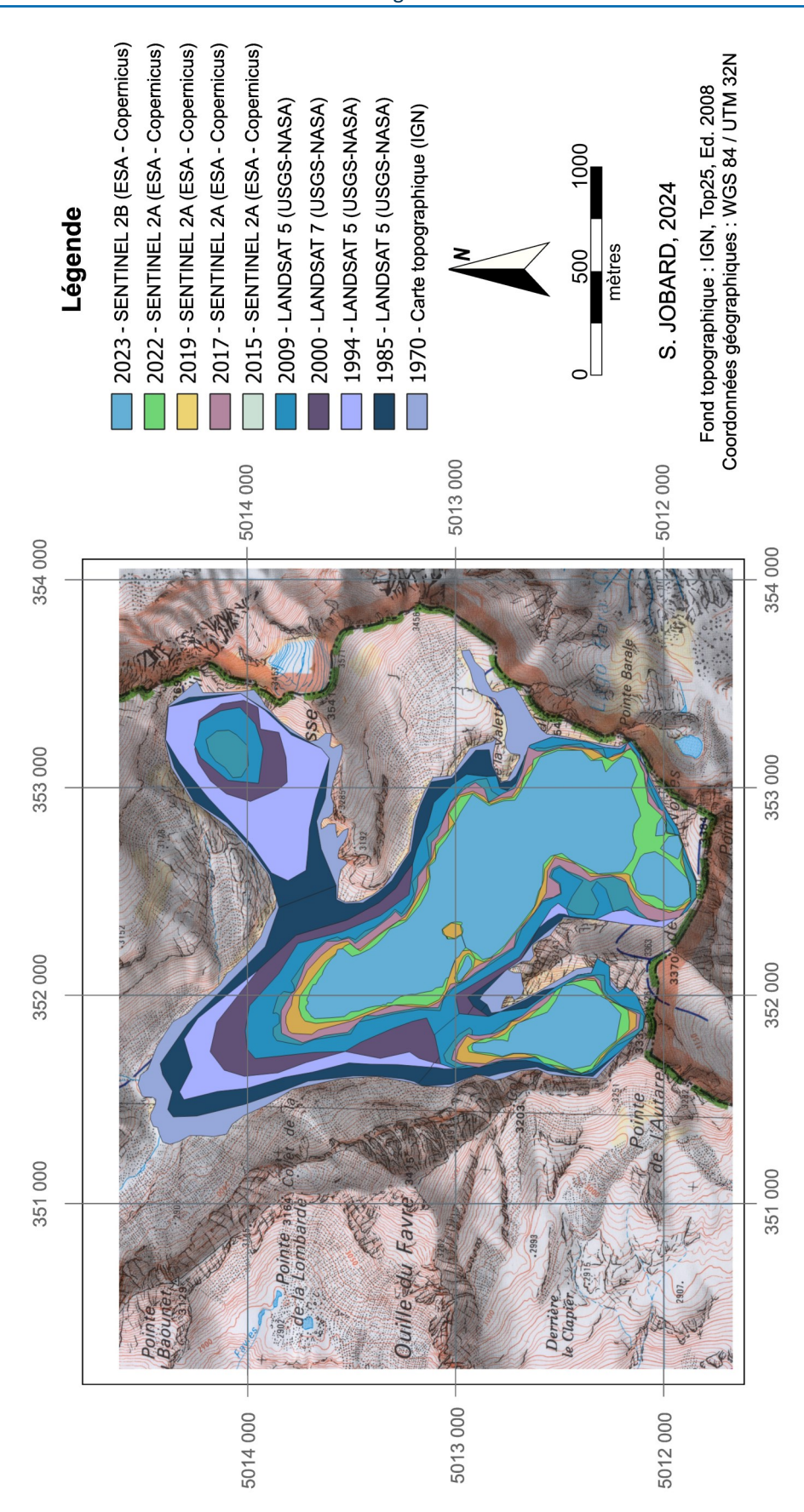


Fig. 7.2— Extensions du glacier du Baounet

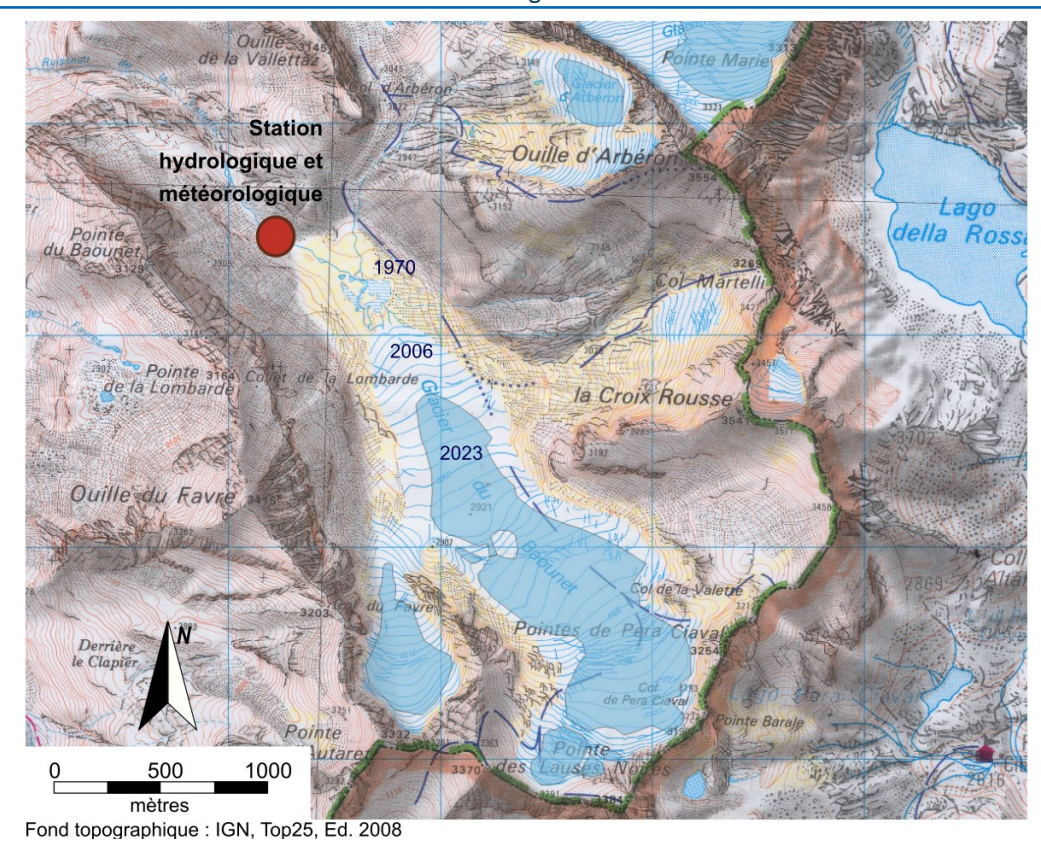


Fig. 7.3— Localisation de la station de mesure du glacier du Baounet

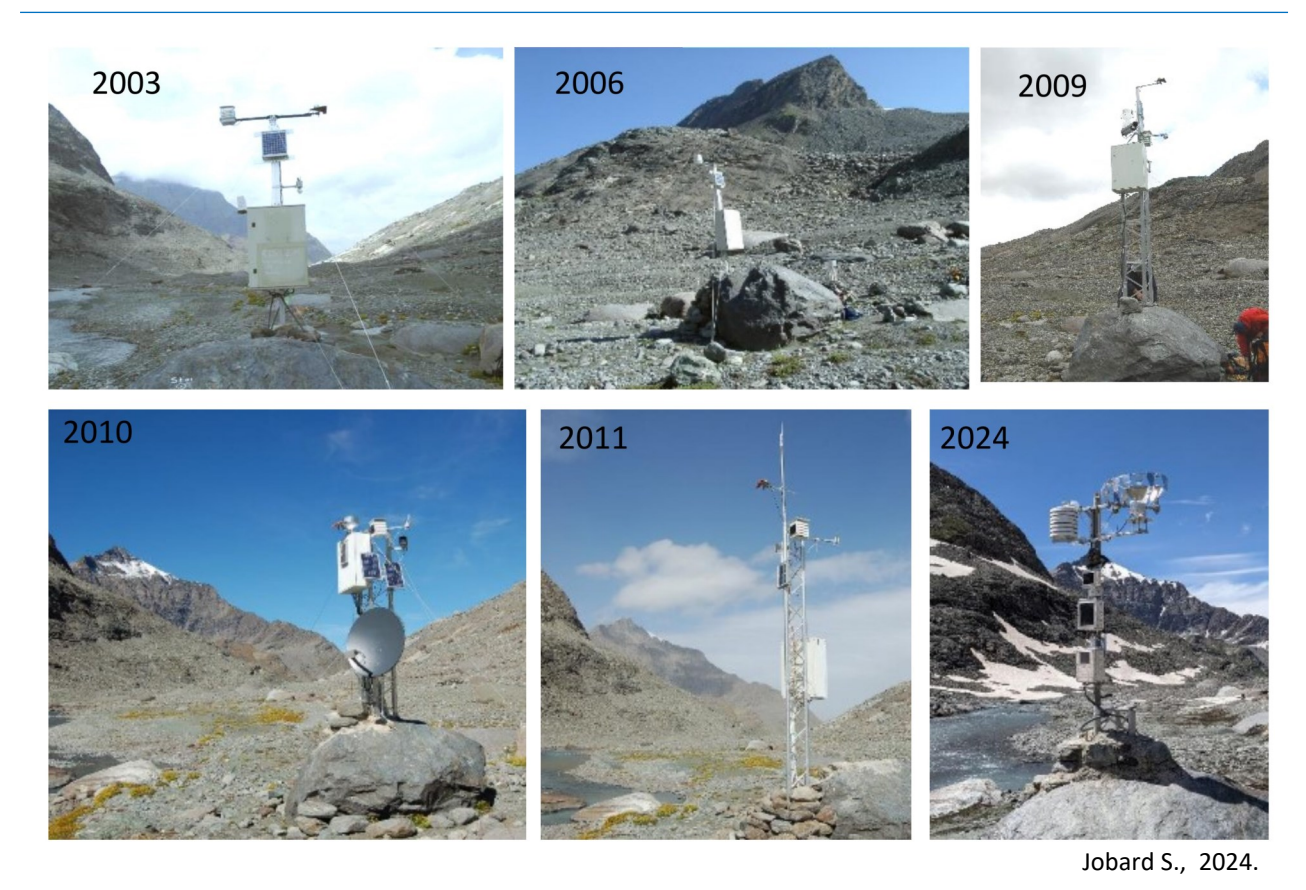
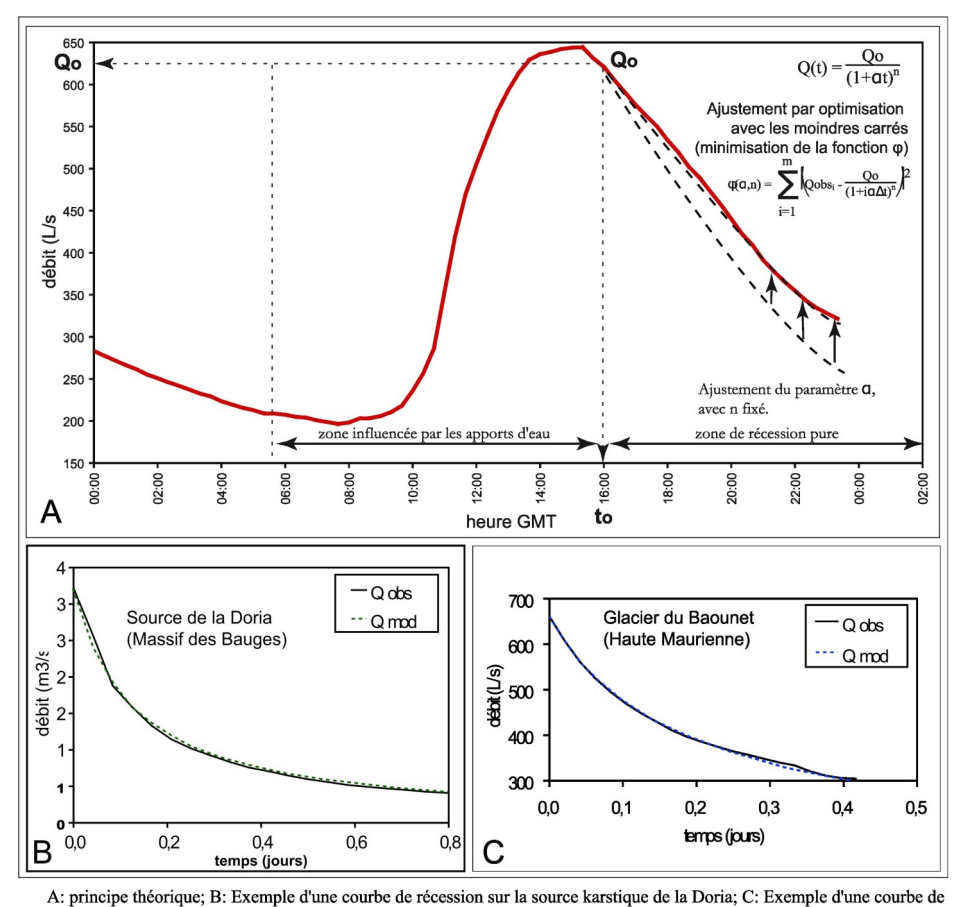


Fig. 7.4— Evolution de la station de mesure du glacier du Baounet



récession sur le torrent émissaire du glacier du Baounet

Jobard S. et Dzikowski M., 2008.

Fig. 7.5 - Principe de la modélisation des hydrogrammes glaciaires

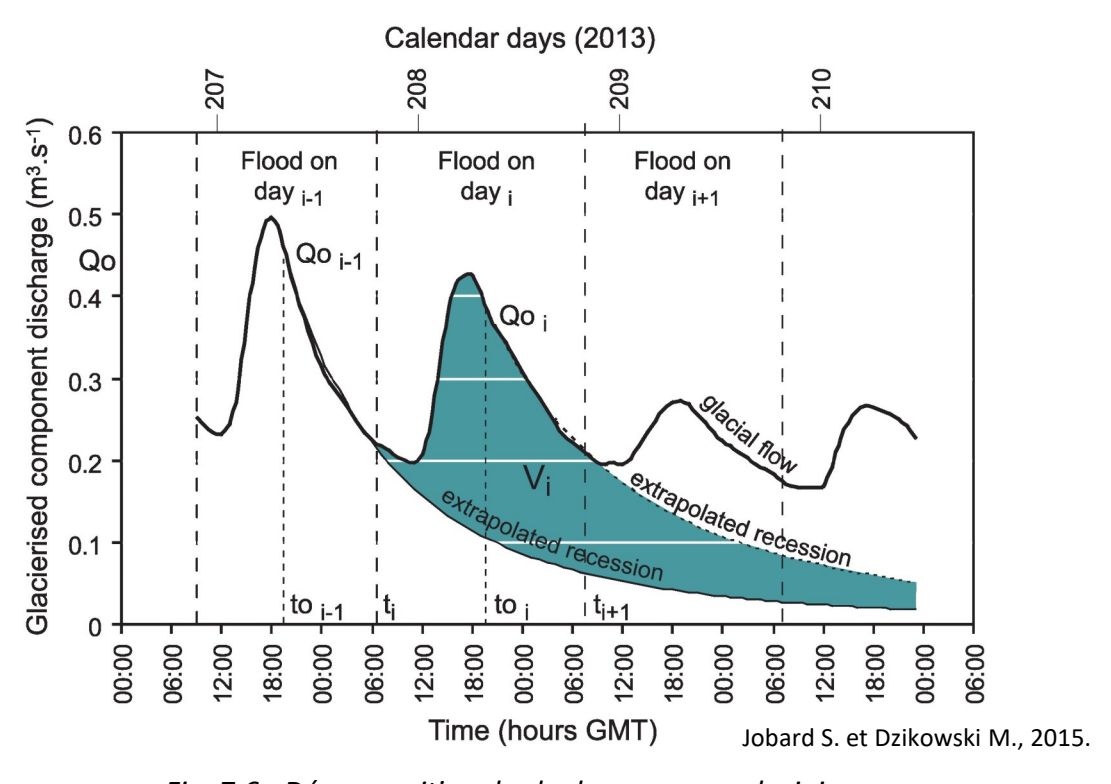
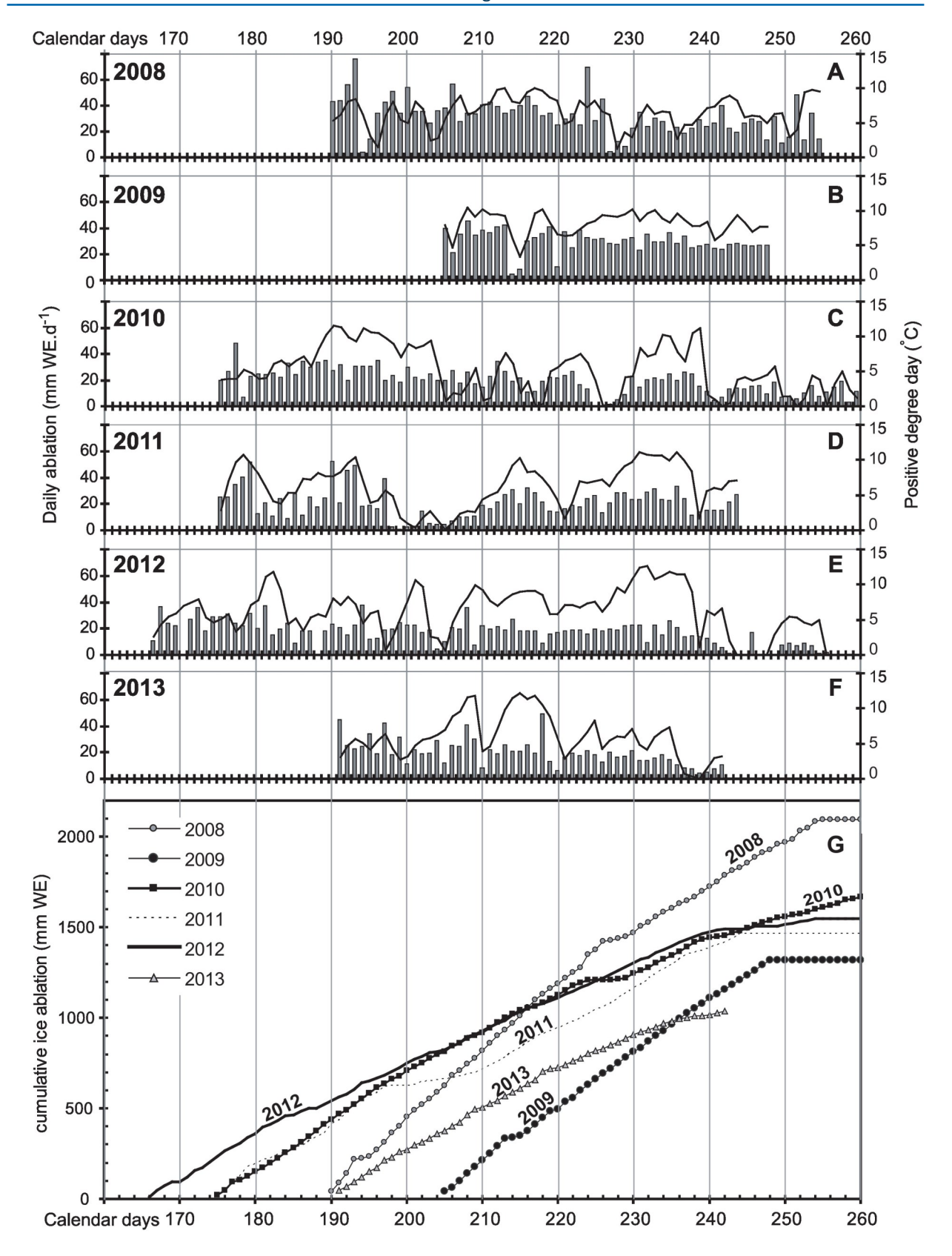


Fig. 7.6 - Décomposition des hydrogrammes glaciaires



A to F: Daily ablation and PDD for individual years, 8G: Comparison with cumulative ablation

A to F: Solid line: PDD; bar graph: daily ablation

Jobard S. et Dzikowski M., 2015.

Fig. 7.7— Ablation estivale journalière entre 2008 et 2013 sur le glacier du Baounet

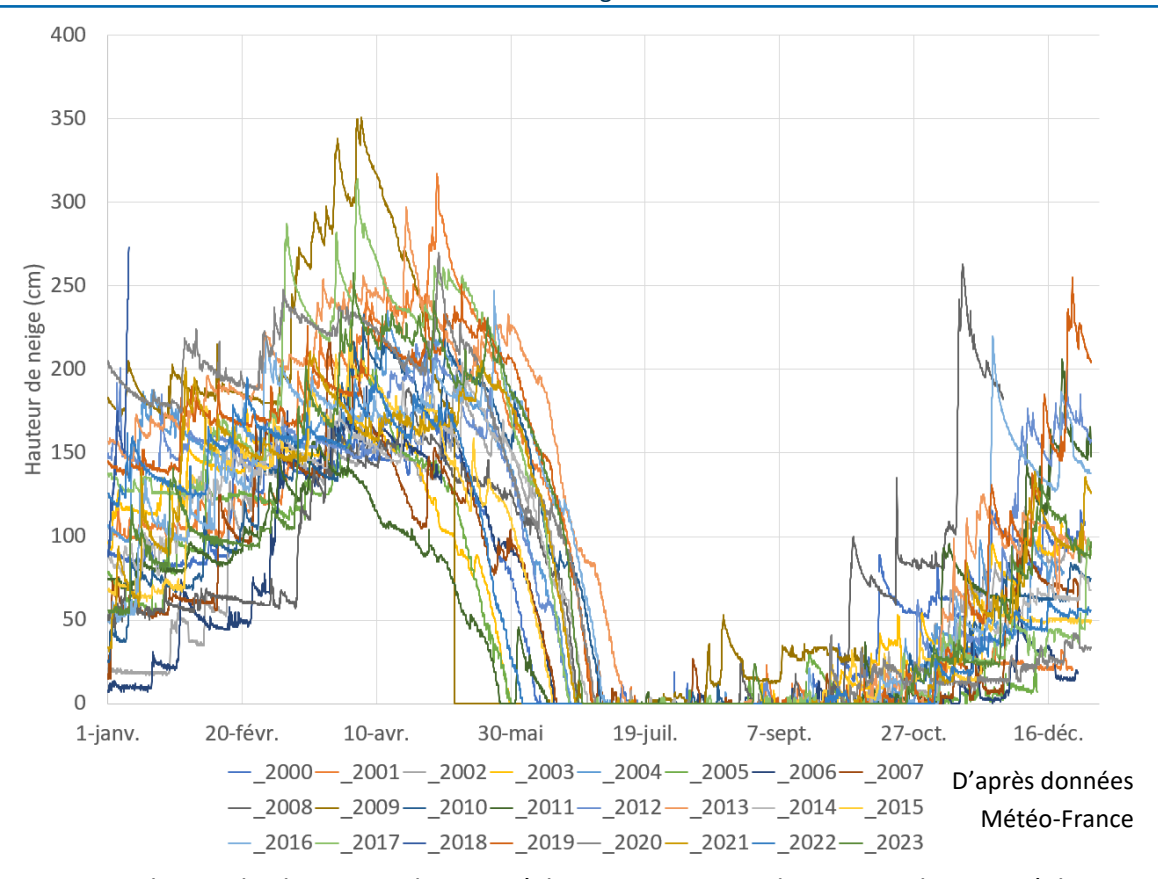


Fig. 7.8 — Evolution des hauteurs de neige à la station Nivose de Bonneval sur Arc (alt. 2720m)

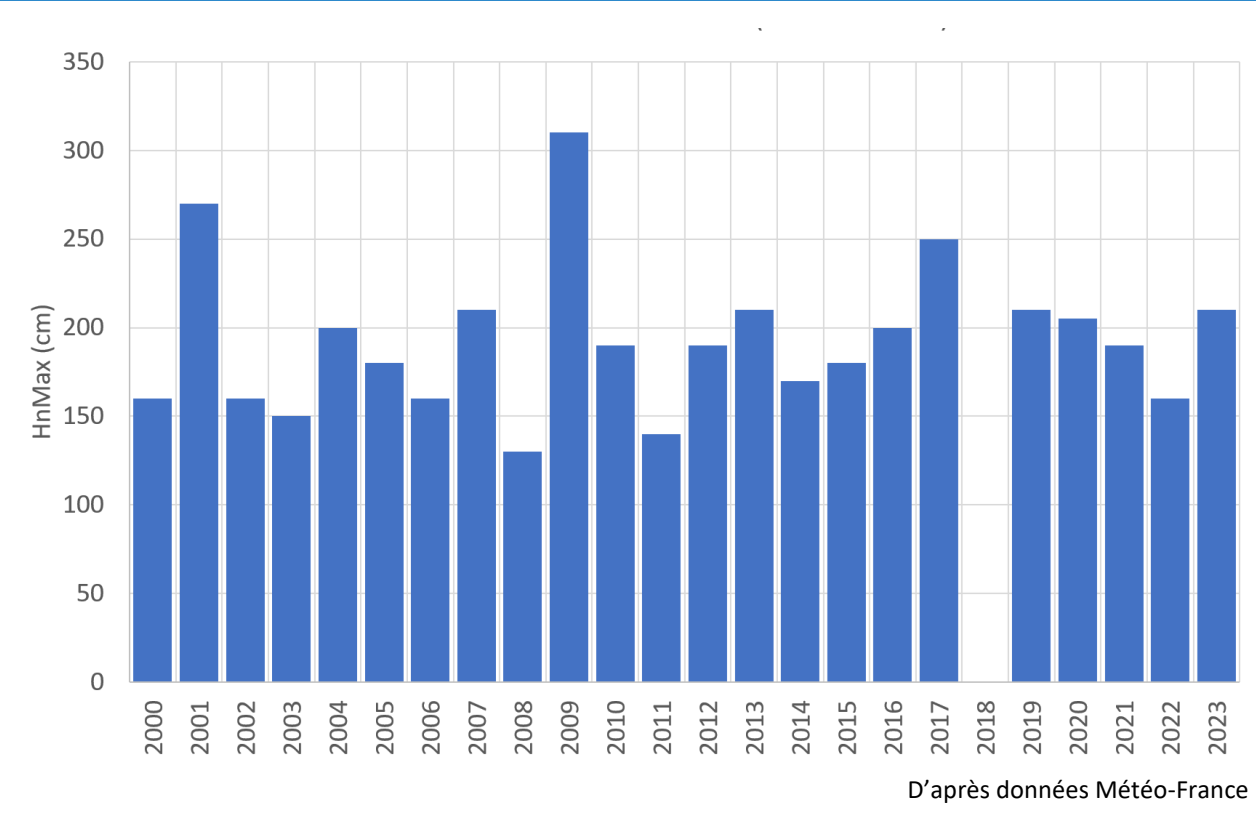
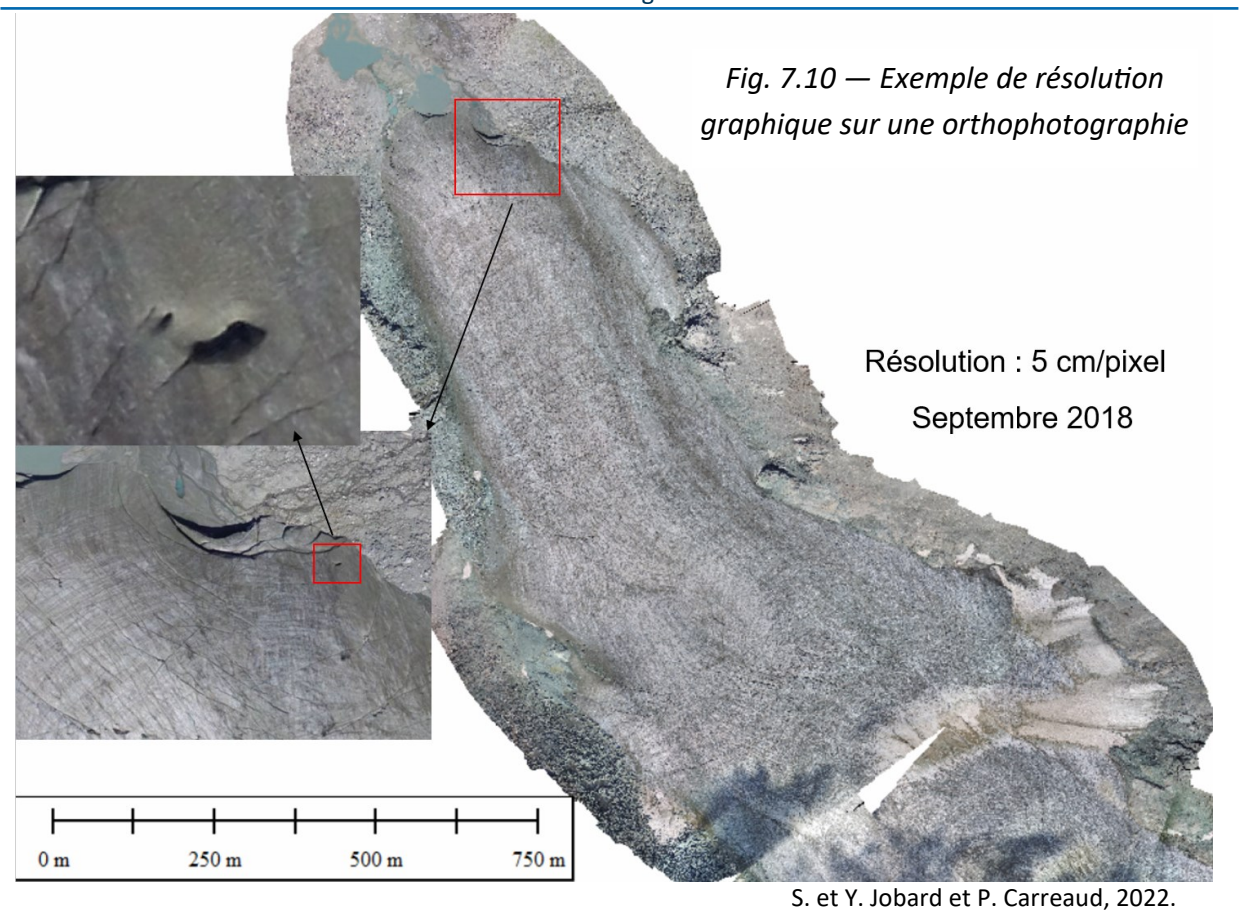


Fig. 7.9 — Evolution des hauteurs de neige maximales à la station Nivose de Bonneval sur Arc (altitude : 2720m)



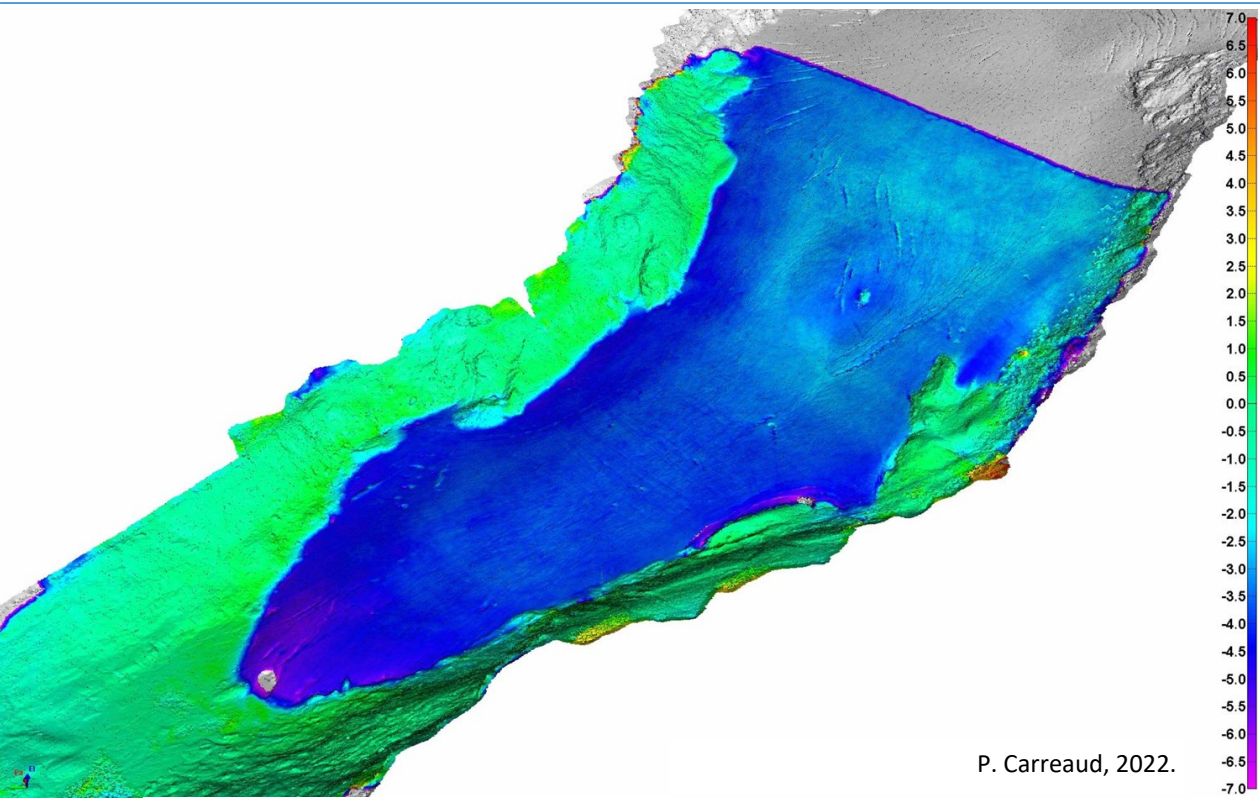


Fig. 7.11 — Variations de volume du glacier du Baounet entre septembre 2020 et septembre 2021

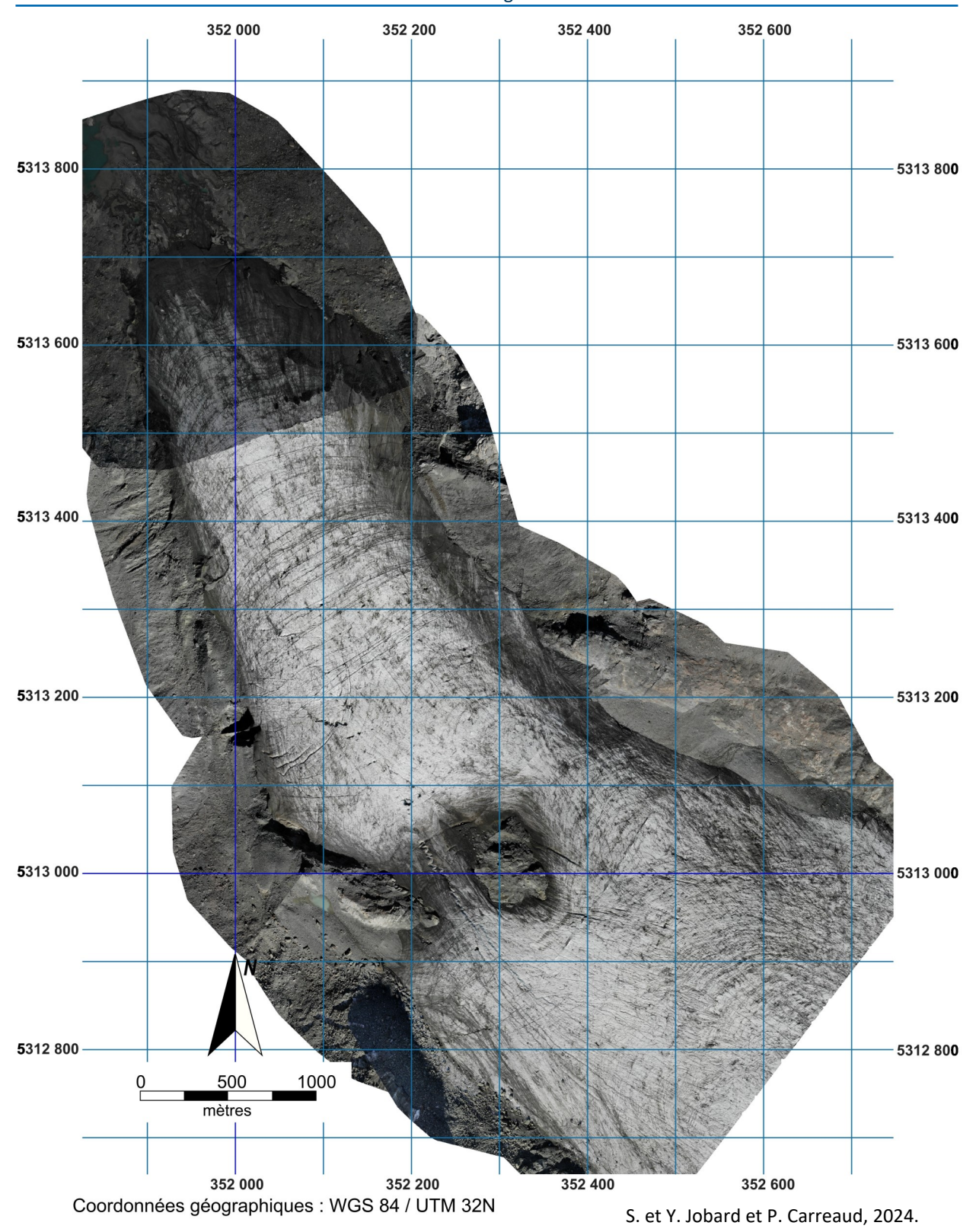


Fig. 7.12— Orthophotographie du glacier du Baounet en septembre 2023.

Le pointement rocheux apparu au milieu du glacier en 2020 préfigure une coupure prochaine du glacier au niveau d'une rupture de pente dans le profil longitudinal. La surface du glacier est très peu crevassée par rapport aux années 2000, ce qui indique une très forte diminution des vitesses.

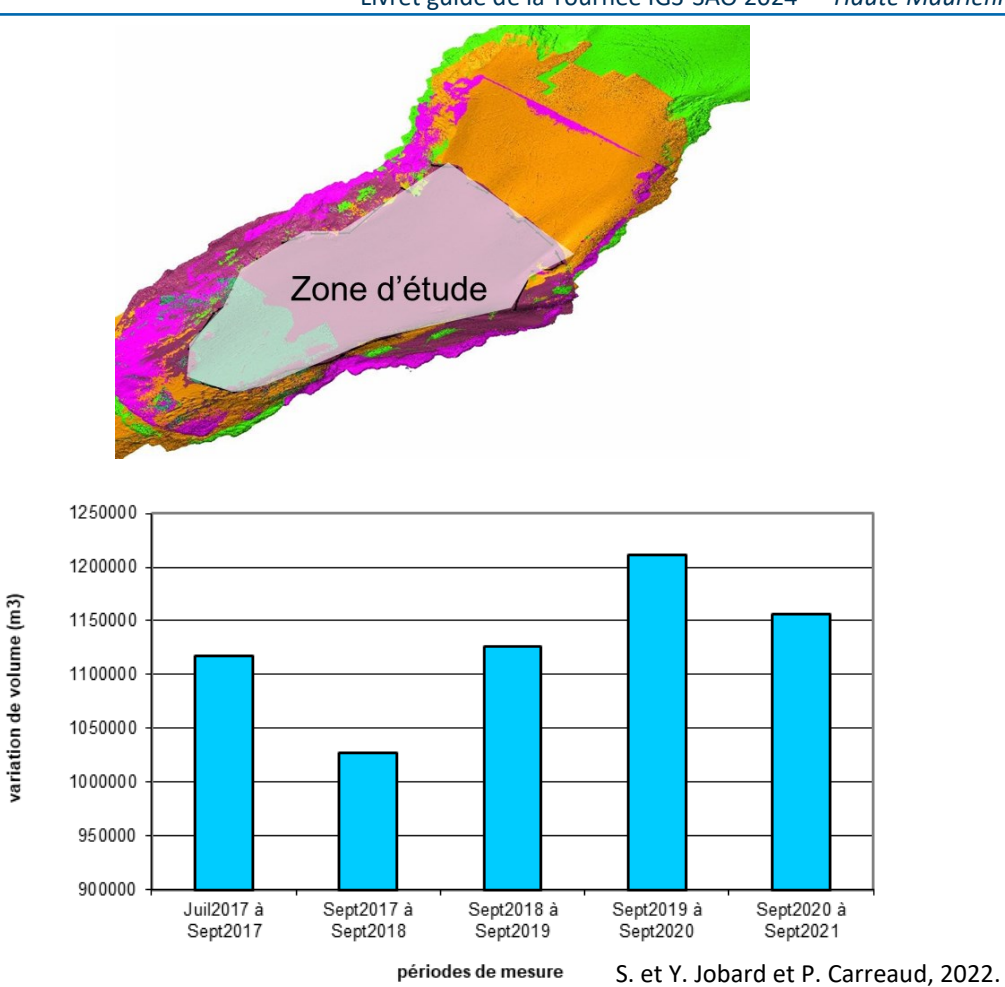
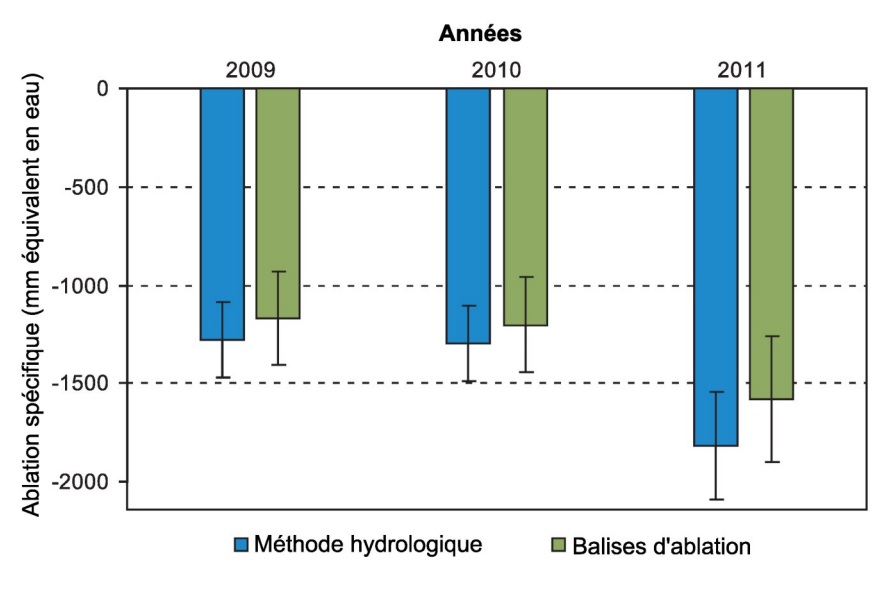


Fig. 7.13 — Variations de volume du glacier du Baounet à partir des reconstitutions photogrammétriques



D'après S. Jobard et M. Dzikowski, 2015.

Fig. 7.14 — Comparaison des estimations de l'ablation estivale sur le glacier du Baounet par une méthode hydrologique et glaciologique.

### **ANNEXES**

# A1- La zone des gypses et la Zone Spéciale de Carrière (ZSC)

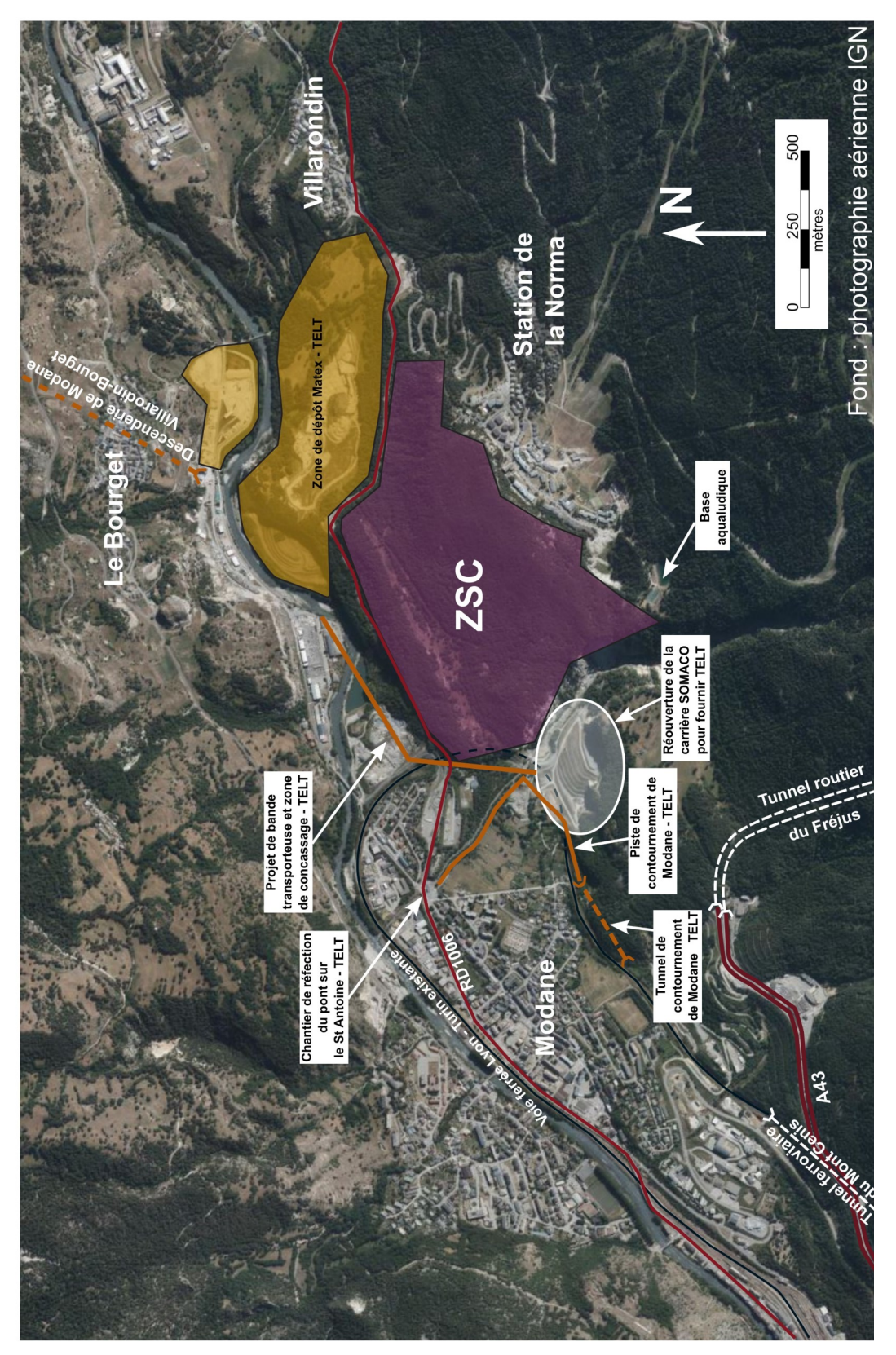


Fig. A1— La zone des gypses (ZSC) de Villarodin-Bourget-Modane

### A2- Le Sentier des Sculptures

**Période :** Toute l'année (en raquettes l'hiver)

Plan de la Croix, à la sortie d'Aussois en direction de Sollières-Sardières

Plan de la Croix (GPS: 45.231459, 6.752462) Accès au départ du Sentier des Sculptures Environ 40 minutes & Monolithe (GPS: 45.246355, 6.767822) Stationnements

Arrêt de la navette gratuite depuis le village d'Aussois. uniquement en hiver **Transport** 

Accessible aux poussettes uniquement sur la route du Monolithe, prévoir un porte-bébé pour le sentier des Pas de point d'eau potable sculptures.

Toilettes sèches au Plan de la Croix

D+: 200 mètres / D-: 200 mètres Distance: 5,67 km 2h30

Alt mini: 1522 m / Alt maxi: 1745 m Descriptif:

Serge Couvert, sculpteur local, donne libre court à sa Des sculptures en pleine forêt sur le thème de la Famille créativité en utilisant sur place des essences naturelles. Le sentier évolue au fil des saisons

Les sculptures sont numérotées sur le tracé ci-contre. Des bancs jalonnent le parcours et permettent des temps

A partir de la sculture n°10, vous avez la possibilité de faire un détour au Monolithe (Durée : 30 min A/R). de pause très appréciables.

Détour au Monol en A/R (30 mln) Monolithe Chemin de descente Et retour au PKG ateau des Arponts Plan de la Crob Sentler des sculptures Arponts 20. Des papas des mamans 15. Pas lassés d'être enlacés 22. Protection rapprochée 13 Panique au sommet Un Moaï en hiver 3. Demain là-haut 7. Danse nuptiale 8. Hermaphrodite 1. Liens distants 14. Réparation 17. Envole moi 18. Le rêveur 21. Le noeud 4. Fraternité 10. Refuge 11. Un bec 19. Croc'leu 16. Tototte 9. en cours 12. Orage 5. Liberté

Fig. A2 — Le sentier des Sculptures en forêt (S. COUVERT)



Plus d'infos sur : https://www.aussois.com/ equipement/sentier-des-sculptures-land-artmontagne-aussois/

Fiche rando, trace gpx, ...



### Références

- BORELLA L. 2023. Vidéo de l'écroulement du Freney du 27août 2023. Youtube.
- BRGM, 1988. Carte géologique de la France au 1/50 000-Feuille de Modane
- DAUPHINE LIBERE, 2023. Vidéo d'un tir de sécurisation de la paroi de l'écroulement du Freney. Site web du journal.
- DEBELMAS J., 1982. Guides géologiques régionaux, Alpes de Savoie. Ed. Masson, 182p.
- DZIKOWSKI M., JOBARD S., 2011. Mixing law versus discharge and electrical conductivity relationships: application to an alpine proglacial stream, Hydrological Processes, Hydrological Processes, Vol.26, 2724-2732
- EDF, 1953. Plans et cartes du barrage de la chute d'Aussois et du barrage de Plan d'Amont (stade exécution). Non publié.
- ESA—Copernicus, 2015. Satellite Sentinel 2A, scène S2A\_MSIL1C\_20150829T103026\_N0204\_R108\_T32TL R\_20150829T103705
- ESA—Copernicus, 2016. Satellite Sentinel 2A, scène S2A MSIL1C 20160902T103022 N0204 R108 T32TL R 20160902T103228
- ESA—Copernicus, 2017. Satellite Sentinel 2A, scène S2A\_MSIL1C\_20170907T103021\_N0205\_R108\_T32TL R 20200806T193119
- ESA—Copernicus, 2018. Satellite Sentinel 2B, scène S2B MSIL2A 20180927T103019 N0208 R108 T32TL R 20180927T155848
- ESA—Copernicus, 2019. Satellite Sentinel 2A, scène S2A MSIL1C 20190917T103021 N0208 R108 T32TL R 20190917T124452
- ESA—Copernicus, 2021. Satellite Sentinel 2A, scène S2A\_MSIL2A\_20211016T103031\_N0500\_R108\_T32TL MARNEZY A., 1981. Vidange brutale d'un lac proglaciaire en R 20230107T181945
- ESA—Copernicus, 2022. Satellite Sentinel 2A, scène S2A\_MSIL1C\_20220911T102621\_N0400\_R108\_T32TL R\_20220911T141033
- ESA—Copernicus, 2023. Satellite Sentinel 2B, scène S2B\_MSIL2A\_20231011T102849\_N0509\_R108\_T32TL R\_20231011T133218
- GOGUEL J., PACHOUD A., 1979. Géologie pour le randonneur du Parc National de la Vanoise – BRGM et Association des Amis du Parc de la Vanoise, 71p.
- IGN, 1945. Photographie aérienne N°: PVA 1-0 1945-07-13 C3840-0101 1945 MISSIONALPES13 5024

- IGN, 1953. Photographie aérienne N°: PVA\_1-0\_\_1952-08-22\_\_C3534-0091\_1952\_F3534\_0008
- IGN, 1998. Carte topographique 1/25 000. Les Trois Vallées -3534OT.
- IGN, 2008. Carte topographique 1/25 000. Les Trois Vallées -
- IGN, 2008. Carte topographique 1/25 000. Tignes Val d'Isère Haute Maurienne - 3633ET
- IGN, 2008. Carte topographique 1/25 000. Val Cenis— Charbonnel - 3634OT
- JAIL M., La mise en service du « complexe » hydro-électrique du Mont-Cenis. Revue de géographie alpine, tome 59,n°4, 1971. pp. 589-592
- JOBARD S., DZIKOWSKI M., 2008. Les réseaux de drainage glaciaire et les milieux karstiques : analogies morphologiques et modélisations hydrologiques. Karstologia, No.51, p45-50.
- JOBARD S., DZIKOWSKI M., 2016. A hydrological approach to estimating daily glacier ablation. Canadian Journal of Earth Sciences, Vol.53(1), p.1-9.
- JOBARD S., JOBARD, Y., CARREAUD P., 2022. Auscultations photogrammétriques sur le glacier du Baounet (Savoie, France). Premiers résultats et retours d'expérience. Résumé de la communication à la rencontre annuelle de la SHF « Glaciologie, Nivologie, Hydrologie et Permafrost », 5p.
- MARNEZY A., 1977. Glaciers rocheux et phénomènes périglaciaires dans le Vallon de la Rocheure (Massif de la Vanoise). Revue de Géographie Alpine, tome 65, n°2. p. 147-167
- Vanoise Revue de Géographie Alpine, tome 69, n°3, p. 489-494.
- MARNEZY A. et BRAVARD Y., 1982. La Vanoise en marchant. Editions Trésors de la Savoie, 311p.
- MARNEZY A., 1999. L'Arc et sa vallée. Anthropisation et géodynamique d'une rivière alpine dans son bassin versant – Thèse de doctorat d'Etat en géographie à l'Université Joseph Fourier, Grenoble, Institut de Géographie Alpine, 682p
- PACHOUD A., 1975. Chutes de blocs rocheux à La Pra (Savoie), commune du Freney. Conditions géologiques et prévention. Rapport BRGM pour la préfecture de Savoie. 17p.

### Quelques références en accès libre



JAIL M., La mise en service du « complexe » hydro-électrique du Mont-Cenis. *Revue de géographie alpine*, tome 59,n°4, 1971. pp. 589-592

https://www.persee.fr/doc/rga 0035-1121 1971 num 59 4 1457

JOBARD S., JOBARD, Y., CARREAUD P., 2022. Auscultations photogrammétriques sur le glacier du Baounet (Savoie, France). Premiers résultats et retours d'expérience. Résumé de la communication à la rencontre annuelle de la SHF « Glaciologie, Nivologie, Hydrologie et Permafrost », 5p.

https://veilleursduclimat.ovh/wp-content/ uploads/2022/01/SHF-2022\_auscultation-photogrammetriebaounet.pdf





MARNEZY A., 1977. Glaciers rocheux et phénomènes périglaciaires dans le Vallon de la Rocheure (Massif de la Vanoise). *Revue de Géographie Alpine*, tome 65, n°2. p. 147-167

https://www.persee.fr/doc/rga\_0035-1121\_1977\_num\_65\_2\_2080

MARNEZY A., 1981. Vidange brutale d'un lac proglaciaire en Vanoise – Revue de Géographie Alpine, tome 69, n°3, p. 489-494.



https://www.persee.fr/doc/rga\_0035-1121\_1981\_num\_69\_3\_2473



PACHOUD A., 1975. Chutes de blocs rocheux à La Pra (Savoie), commune du Freney. Conditions géologiques et prévention. Rapport BRGM pour la préfecture de Savoie. 17p.

https://infoterre.brgm.fr/rapports/75-SGN-043-JAL.pdf

Vidéo tir de sécurisation de l'écroulement du Freney

https://www.ledauphine.com/societe/2023/11/05/ autoroute-a-43-fermee-des-explosifs-en-mauriennepour-securiser-la-montagne-apres-l-eboulementspectaculaire-du-27-aout



## **Table des figures**

1- Introduction et généralités	3
Fig. 1.1 — Localisation et parcours de la tournée 2024	4
Fig. 1.2 — Localisations des arrêts du jeudi 05 septembre après-midi	5
Fig. 1.3 — Excursions du vendredi 6 et samedi 7 septembre 2024	6
Fig. 1.4 — Schéma de situation de la Vanoise	7
Fig. 1.5 — Schéma structural des Alpes franco-italiennes	8
Fig. 1.6 — Coupe géologique de la vallée de la Maurienne (rive droite)	8
Fig. 1.7 — Coupes géologiques dans la Vanoise	9
Fig. 1.8 — Carte géologique : secteur de Modane	10
Fig. 1.9 — Carte géologique : secteur de Aussois - Dent Parrachée	11
Fig. 1.10 — Carte géologique : secteur de Bramans - Termignon (zone des gypses)	12
Fig. 1.11 — Légende de la carte géologique	13
2- Ecroulement du Freney (la Brèche)	14
Fig. 2.1 — L'écroulement de Saint-André et le bassin du Freney	14
Fig. 2.2 — Coupe transversale du bassin du Freney, à l'amont de l'écroulement de St André	14
Fig. 2.3 — Aperçu de l'écroulement du 27 août 2023	15
Fig. 2.4 — Coupe géologique au droit de l'écroulement de la Brèche	16
Fig. 2.5 — Reconstitution volumétrique du grand écroulement de St André	16
Fig. 2.6 — Travaux de sécurisation de l'écroulement de la Brèche	17
Fig. 2.7 — Aperçu d'un tir de sécurisation de la paroi de l'écroulement du Freney	18
3- Crues torrentielles du Charmaix et du St Antoine le 13 août 2023	19
Fig. 3.1 — Le bassin de Modane-Fourneaux, les étapes de l'urbanisation	19
Fig. 3.2 — Cumuls de précipitations estimés entre le 13/08 et le 14/08	
Fig. 3.3 — Localisation des ouvrages le long du Charmaix dans la traversée de Fourneaux	20
Fig. 3.4 — Origine et cheminement des écoulements	20
Fig. 3.5 — Photos du canal du Charmaix et des matériaux excavés	20
Fig. 3.6 — Le bassin versant du Charmaix et ses aménagements	21
Fig. 3.7 — Extrait du PPR de Fourneaux, le long du Charmaix	21
Fig. 3.8 — Impacts de la crue du 13 août 2023	22
Fig. 3.9 — Le torrent du Saint Antoine : travaux de protection effectués de 1898 à 1998	23
Fig. 3.10 — Extrait du PPR de Modane dans le secteur du Saint Antoine	23
Fig. 3.11 — Découvrir les aménagements du Saint Antoine	24
Fig. 3.12 — Torrents périmétrés R.T.M. en Maurienne, carte générale	25
Fig. 3.13 — Carte des précipitations moyennes annuelles en Maurienne et Vanoise	25
Fig. 3.14 — Evolution des précipitations annuelles moyennes le long de la vallée de la Maurienne	25
4- Lac proglaciaire de la Fournache	26
Fig. 4.1 — Photo aérienne ortho-rectifiée du glacier rocheux et du lac de la Fournache (2022)	26
Fig. 4.2 — Croquis de situation : le cirque suspendu de Lesché (massif de la Dent Parrachée)	27
Fig. 4.3 — Coupe du barrage morainique et lac proglaciaire de Lesché	27
Fig. 4.4 — Schéma du vallon de la Fournache	
Fig. 4.5 — Le glacier rocheux de la Fournache	
Fig. 4.6 — Lac de la Fournache. Situation en été 2023	29
Fig. 4.7— Lac de la Fournache (2023). Schéma d'interprétation	29
ig. 4.5 — Le glacier rocheux de la Fournache	28 29

Fig. 4.8 — Carte de l'évolution du lac proglaciaire de la Fournache	30
Fig. 4.9 — Variations de surface du lac proglaciaire de la Fournache	30
5- Hydroélectricité et colmatage sédimentaire d'origine glaciaire	31
Fig. 5.1 — Les aménagements hydroélectriques en Maurienne, carte générale. Situation en 1995	
Fig. 5.2 — Les étapes de l'aménagement hydroélectrique en Maurienne	
Fig. 5.3 — Le complexe Mont-Cenis / barrages d'Aussois. Plan de Situation	
Fig. 5.4 — Schéma de fonctionnement du complexe hydroélectrique Mont-Cenis / barrages d'Aussois	
Fig. 5.5 — Le barrage de Plan d'Aval et ses équipements	
Fig. 5.6 — Usine hydroélectrique de Plan Amont-Plan Aval	
Fig. 5.7 — Analyse granulométrique des dépôts de la retenue de Plan d'Aval	
Fig. 5.8 — La retenue du Plan d'Aval (Commune d'Aussois) lors de vidange décennale de sécurité de 1997.	
Fig. 5.9 — Schéma d'une prise d'eau automatique sur les torrents	
Fig. 5.10 — Débits moyens mensuels du ruisseau de St Benoît (au Plan d'Amont) - (1956 - 1980)	
Fig. 5.11 — Le robot NESSIE	
Fig. 5.12 — Profil en long de la chute d'Aussois	
Fig. 5.13 — Caractéristiques du barrage de Plan d'Amont	
Fig. 5.14 — Vue en plan et en coupes du barrage de Plan d'Amont	
Fig. 5.15 — Photos aériennes historiques des barrages d'Aussois	
6- Usages locaux de l'eau (Aussois et alentours)	41
Fig. 6.1 — Réseau d'irrigation traditionnel	41
Fig. 6.2 — Les débits moyens journaliers à Bramans et Villarondin	42
Fig. 6.3 — Prospectives d'évolution du complexe hydro-électrique Mt Cenis-Aussois pour le stockage	42
Fig. 6.4 — Illustration des régimes hydrologiques nivo-glaciaire et nival pur	43
Fig. 6.5 — Débits annuels (volume écoulé reconstitué) à la prise d'eau d'Avérole	43
7– Suivis glaciologiques en Haute Maurienne	
Fig. 7.1 — Extensions des glaciers des Dômes de la Vanoise	
Fig. 7.2 — Extensions du glacier du Baounet	
Fig. 7.3 — Localisation de la station de mesure du glacier du Baounet	
Fig. 7.4 — Evolution de la station de mesure du glacier du Baounet	
Fig. 7.5 — Principe de la modélisation des hydrogrammes glaciaires	
Fig. 7.6 — Décomposition des hydrogrammes glaciaires	
Fig. 7.7 — Ablation estivale journalière entre 2008 et 2013 sur le glacier du Baounet	
Fig. 7.8 — Evolution des hauteurs de neige à la station Nivose de Bonneval sur Arc	
Fig. 7.9 — Evolution des hauteurs de neige maximales à la station Nivose de Bonneval sur Arc	
Fig. 7.10 — Exemple de résolution graphique sur une orthophotographie	
Fig. 7.11 — Variations de volume du glacier du Baounet entre septembre 2020 et septembre 2021	
Fig. 7.12 — Orthophotographie du glacier du Baounet en septembre 2023	
Fig. 7.13 — Variations de volume du glacier du Baounet à partir des reconstitutions photogrammétriques	
Fig. 7.14 — Comparaison des estimations de l'ablation estivale sur le glacier du Baounet	52
Annexes	54
Fig. A1— La zone des gypses (ZSC) de Villarodin-Bourget-Modane	
Fig. A2 — Le sentier des Sculptures en forêt	

### Notes

